

YILDIZ TEKNİK ÜNİVERSİTESİ

34714

FEN BİLİMLERİ ENSTİTÜSÜ

34714

**SUBSTITUE FENİLHİDRAZİNLERDEN
PIRAZOL TÜREVLERİNİN SENTEZİ**

Kimyager Mohammed Reza Shirmohammadi

**F.B.E. Kimya Anabilim Dalı Organik Kimya Programında
hazırlanan**

YÜKSEK LİSANS TEZİ

Tez Danışmanı : Yrd.Doç.Dr. Yıldız BAL

İSTANBUL, 1994

İÇİNDEKİLER

	Sayfa
1. PİRAZOLLER HAKKINDA GENEL BİLGİ	1
1.1. GİRİŞ	1
1.2. ADLANDIRMA	2
1.3. ÖZELLİKLERİ	2
1.3.1. Fiziksel ve Kimyasal Özellikleri	2
1.3.2. Tautomerlik	4
1.4. ELDE EDİLME REAKSİYONLARI	4
1.4.1. Genel Bilgi ve Özel Reaksiyonlar	4
1.4.2. β -1,3-Dikarbonil Bileşikleri ve Substitue Hidrazinlerden	7
1.4.3. Heteroçiklik Bileşiklerin Pirazole Dönüşümünden	10
1.4.4. Alifatik Diazo Bileşiklerinden	12
1.4.5. Pirazolinlerden	13
1.5. PİRAZOLLERİN REAKSİYONLARI	14
1.5.1. Elektrofilik Substitusyon Reaksiyonları	14
1.5.2. Nükleofilik Substitusyon Reaksiyonları	18
1.5.3. Azot Atomuna Bağlanması Reaksiyonları	18
1.5.4. Pirazollerin Diğer Reaksiyonları	19
2. MATERİYAL	22
2.1. KULLANILAN KİMYASAL MADDELER	22
2.2. KULLANILAN CİHAZ VE YARDIMCI GEREÇLER	23
3. DENEYSEL ÇALIŞMA VE BULGULAR	24
3.1. GENEL BİLGİ	24
3.2. KULLANILAN SUBSTRATLARIN ÖZELLİKLERİ	25
3.2.1. 2,4-Pentandion	25
3.2.2. 3-Kloro-2,4-pentandion	28
3.2.3. 1,3-Difenil-1,3-propandion	31
3.3. REAKTİFLERİN HAZIRLANMASI VE ÖZELLİKLERİ	34
3.3.1. 5-Bromo-2-nitrofenil Hidrazinin Hazırlanması	34
3.3.2. 5-Kloro-2-nitrofenil Hidrazinin Hazırlanması	38
3.3.3. 2,4-Dimetil Fenilhidrazin hidroklorür hidrat	43
3.4. PİRAZOL TÜREVLERİNİN SENTEZİ İÇİN YAPILAN DENEYSEL ÇALIŞMALAR	46
3.5. YENİ BILEŞİKLERİN ELDE EDİLME YÖNTEMLERİ VE BULGULAR	48
3.5.1. Bileşik A-1'in Elde Edilmesi	48
3.5.1.1. Bileşik A-1'in Spektroskopik ve Elementel Analiz Sonuçları	49
3.5.2. Bileşik A-2'nin Elde Edilmesi	54
3.5.2.1. Bileşik A-2'nin Spektroskopik ve Elementel Analiz Sonuçları	55
3.5.3. Bileşik A-3'ün Elde Edilmesi	60
3.5.3.1. Bileşik A-3'ün Spektroskopik ve Elementel Analiz Sonuçları	61

3.5.4.	Bileşik B-1'in Elde Edilmesi	67
3.5.4.1.	Bileşik B-1'in Spektroskopik ve Elementel Analiz Sonuçları	68
3.5.5.	Bileşik B-2'nin Elde Edilmesi	73
3.5.5.1.	Bileşik B-2'nin Spektroskopik ve Elementel Analiz Sonuçları	74
3.5.6.	Bileşik B-3'ün Elde Edilmesi	79
3.5.6.1.	Bileşik B-3'ün Spektroskopik ve Elementel Analiz Sonuçları	80
3.5.7.	Bileşik C-1'in Elde Edilmesi	86
3.5.7.1.	Bileşik C-1'in Spektroskopik ve Elementel Analiz Sonuçları	87
3.5.8.	Bileşik C-2'nin Elde Edilmesi	92
3.5.8.1.	Bileşik C-2'nin Spektroskopik ve Elementel Analiz Sonuçları	93
3.5.9.	Bileşik C-3'ün Elde Edilmesi	98
3.5.9.1.	Bileşik C-3'ün Spektroskopik ve Elementel Analiz Sonuçları	99
4.	TARTIŞMA VE SONUÇ	104
	KAYNAKLAR	108
	TEŞEKKÜR	110
	ÖZGEÇMİŞ	111

ŞEKİL LİSTESİ

	Sayfa
Şekil 3.1. 2,4-Pentandionun IR Spektrumu	26
Şekil 3.2. 2,4-Pentandionun ^1H NMR Spektrumu	27
Şekil 3.3. 3-Kloro-2,4-pentandionun IR Spektrumu	29
Şekil 3.4. 3-Kloro-2,4-pentandionun ^1H NMR Spektrumu	30
Şekil 3.5. 1,3-Difenil-1,3-propandionun IR Spektrumu	32
Şekil 3.6. 1,3-Difenil-1,3-propandionun ^1H NMR Spektrumu	33
Şekil 3.7. 5-Bromo-2-nitrofenilhidrazinin IR Spektrumu	35
Şekil 3.8. 5-Bromo-2-nitrofenilhidrazinin ^1H NMR Spektrumu	36
Şekil 3.9. 5-Bromo-2-nitrofenilhidrazinin 1H NMR Detoryum Değişim Spektrumu	37
Şekil 3.10. 5-Kloro-2-nitrofenilhidrazinin IR Spektrumu	40
Şekil 3.11. 5-Kloro-2-nitrofenilhidrazinin ^1H NMR Spektrumu	41
Şekil 3.12. 5-Kloro-2-nitrofenilhidrazinin ^1H NMR Detoryum Değişim Spektrumu	42
Şekil 3.13. 2,4-Dimetilfenilhidrazin hidroklorür hidratın IR Spektrumu	44
Şekil 3.14. 2,4-Dimetilfenilhidrazin hidroklorür hidratın ^1H NMR Spektrumu	45
Şekil 3.15. 2,4-Pentandion ile genel reaksiyon denklemi	47
Şekil 3.16. Bileşik A-1'in kristal fotoğrafı	48
Şekil 3.17. Bileşik A-1'in UV Spektrumu	50
Şekil 3.18. Bileşik A-1'in IR Spektrumu	51
Şekil 3.19. Bileşik A-1'in ^1H NMR Spektrumu	52
Şekil 3.20. Bileşik A-1'in MS Spektrumu	53
Şekil 3.21. Bileşik A-2'nin kristal fotoğrafı	54
Şekil 3.22. Bileşik A-2'nin UV Spektrumu	56
Şekil 3.23. Bileşik A-2'nin IR Spektrumu	57
Şekil 3.24. Bileşik A-2'nin ^1H NMR Spektrumu	58
Şekil 3.25. Bileşik A-2'nin MS Spektrumu	59
Şekil 3.26. Bileşik A-3'ün UV Spektrumu	62
Şekil 3.27. Bileşik A-3'ün IR Spektrumu	63
Şekil 3.28. Bileşik A-3'ün ^1H NMR Spektrumu	64
Şekil 3.29. Bileşik A-3'ün MS Spektrumu	65
Şekil 3.30. 3-Kloroasetilaseton ile genel reaksiyon denklemi	66
Şekil 3.31. Bileşik B-1'in kristal fotoğrafı	67
Şekil 3.32. Bileşik B-1'in UV Spektrumu	69
Şekil 3.33. Bileşik B-1'in IR Spektrumu	70
Şekil 3.34. Bileşik B-1'in ^1H NMR Spektrumu	71
Şekil 3.35. Bileşik B-1'in MS Spektrumu	72
Şekil 3.36. Bileşik B-2'nin kristal fotoğrafı	73
Şekil 3.37. Bileşik B-2'nin UV Spektrumu	75
Şekil 3.38. Bileşik B-2'nin IR Spektrumu	76

Şekil 3.39.	Bileşik B-2'nin ^1H NMR Spektrumu	77
Şekil 3.40.	Bileşik B-2'nin MS Spektrumu	78
Şekil 3.41.	Bileşik B-3'ün kristal fotoğrafı	79
Şekil 3.42.	Bileşik B-3'ün UV Spektrumu	81
Şekil 3.43.	Bileşik B-3'ün IR Spektrumu	82
Şekil 3.44.	Bileşik B-3'ün ^1H NMR Spektrumu	83
Şekil 3.45.	Bileşik B-3'ün MS Spektrumu	84
Şekil 3.46.	Dibenzoilmetan ile genel reaksiyon denklemi	85
Şekil 3.47.	Bileşik C-1'in kristal fotoğrafı	86
Şekil 3.48.	Bileşik C-1'in UV Spektrumu	88
Şekil 3.49.	Bileşik C-1'in IR Spektrumu	89
Şekil 3.50.	Bileşik C-1'in ^1H NMR Spektrumu	90
Şekil 3.51.	Bileşik C-1'in MS Spektrumu	91
Şekil 3.52.	Bileşik C-2'nin kristal fotoğrafı	92
Şekil 3.53.	Bileşik C-2'nin UV Spektrumu	94
Şekil 3.54.	Bileşik C-2'nin IR Spektrumu	95
Şekil 3.55.	Bileşik C-2'nin ^1H NMR Spektrumu	96
Şekil 3.56.	Bileşik C-2'nin MS Spektrumu	97
Şekil 3.57.	Bileşik C-3'ün kristal fotoğrafı	98
Şekil 3.58.	Bileşik C-3'ün UV Spektrumu	100
Şekil 3.59.	Bileşik C-3'ün IR Spektrumu	101
Şekil 3.60.	Bileşik C-3'ün ^1H NMR Spektrumu	102
Şekil 3.61.	Bileşik C-3'ün MS Spektrumu	103

ABSTRACT

Pyrazol and it's derivatives are widely used in the organic synthesis as well as in the industry. Especially these compounds are used in the pharmaceutical industries as the starting materials. The biologically active compounds are said to have anti cancer effects.

For this reason, this research was carried out in order to add some more compounds in the pyrazol class of compounds, by preparing it's new derivatives.

In the first part of the research the active reagents e.g. 2,4 - dimethyl phenylhydrazine was obtained from the chemical company as well as two other compounds 5 - bromo - 2 - nitrophenylhydrazine and 5 - chloro - 2 - nitrophenylhydrazine were prepared by a series of reactions in the laboratory. Then these reagents were reacted with the substrates like 2,4 - pentandion, 3 - chloro - 2,4 - pentandion and dibenzoylmethane. Nine new substituted pyrazoles in high yield were thus obtained by the closure reactions which was a result of nucleophilic addition and elimination reactions. The effects of the substituents were also studied. The structural determination and characterization of the newly obtained compounds was done by using microanalysis, uv-, ir-, ^1H nmr-and ms-spectra.

ÖZET

Pirazol ve türevleri hem organik sentezlerde hem de endüstriyel çalışmalarında yaygın bir şekilde kullanılmaktadır. Özellikle ilaç sanayiinde başlangıç maddesi olarak kullanılan bu bileşikler tıpta da biyolojiksel öneme sahip olup kansere karşı etkin madde olarak denenmektedirler.

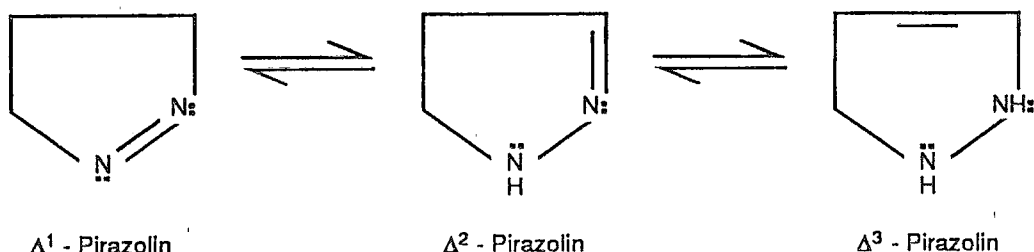
Bu nedenle araştırma, pirazol bileşikleri sınıfına katkıda bulunabilmek amacıyla yeni pirazol türevlerinin üretilmesi için başlatılmıştır.

Araştırmmanın ilk kısmında, ticari olarak sağlanan 2,4-dimetilfenilhidrazinin yanısıra reaksiyonlarda reaktif olarak kullanılacak olan 5-bromo-2-nitrofenilhidrazin ile 5-kloro-2-nitrofenilhidrazin basamaklar halinde ilerleyen bir dizi reaksiyon sonucu hazırlanmıştır. Daha sonra substrat olarak kullanılan 2,4-pentandion, 3-kloro-2,4-pentandion ve dibenzoylmethan ile reaktiflerin, nükleofilik bir katılma ayrılmayı takiben oluşturulması hedeflenen halka kapanması reaksiyonları çeşitli koşullar denenmek suretiyle dokuz yeni substitue-pirazol iyi bir verimle sentez edilmiş ve substituentlerin reaksiyonlardaki etkisi incelenmiştir. Elde edilen ürünlerin yapısal saptanmaları mikroanaliz, uv-, ir-, ^1H nmr- ve ms- spektral verileri ile karakterize edilmiştir.

I. PIRAZOLLER HAKKINDA GENEL BİLGİ:

II. GİRİŞ [1-5]

Pirazolun heteroçiklik bileşiklerin en önemli üyelerinden birisi olduğu bilinmektedir. Pirazol ve türevlerinin pek çok boyalı ve ilaçların temel maddesi oldukları da saptanmıştır. Son zamanlarda Δ^1 , Δ^2 ve Δ^3 -pirazolinler



Δ^1 - Pirazolin

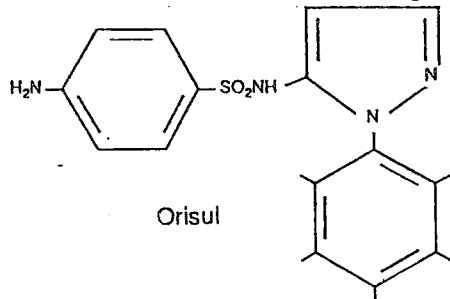
Δ^2 - Pirazolin

Δ^3 - Pirazolin

siklopropanların sentezleri sırasında sadece bir araürün olmayıp aynı zamanda etkili bir kimyasal beyazlatıcı (ağartıcı), luminesans ve floresans özelliklerini olan bir madde olarak saptanmıştır. Bazı pirazol ve pirazolonlar ise renkli fotoğrafçılıkta kenetlenme reaktifi ve azo boyalı maddeleri olarak geniş çapta kullanılmaktadır. Örneğin 3-amino-1-fenil pirazolin kolaylıkla okside olup filmlerin banyo edilmesinde kullanılmaktadır. Ayrıca, pirazol türevlerinin motor yakıtlarında antioksidan olarak kullanılması da henüz tartışılmaktadır. Pirazolin-1-ditiyokarbamatlar ise ilginç kompleksleri ile katyonların analizi ve birbirinden ayırmaları için kullanılır. Pirazol türevlerinin eczacılıkta çok önemli bir yeri vardır. Örneğin; antipirin ve piramidon, eczacılıkta kullanılan iki önemli temel maddedirler.

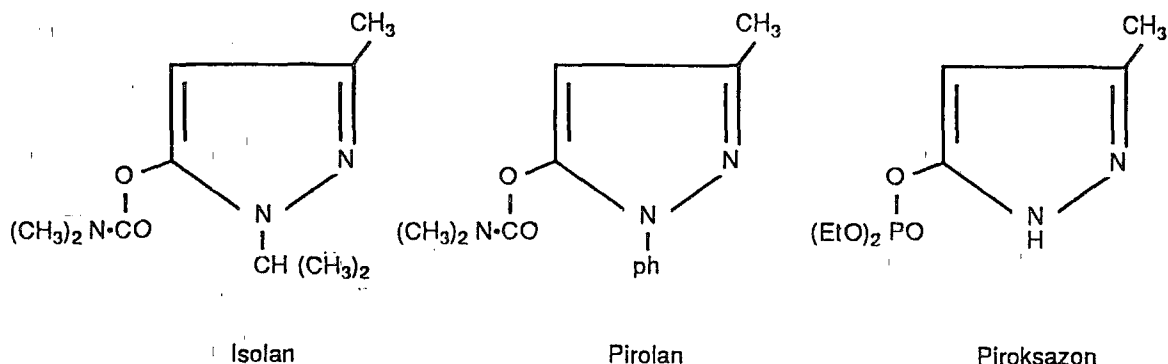


Alkil pirazoller çok önemli olan bakteriyostatik, bakteriosidal ve fungisidal etkiler gösterirler. Özellikle pirazol halkası içeren sulfonamidler, örneğin Orisul bakteriyostatik etki göstermektedir.



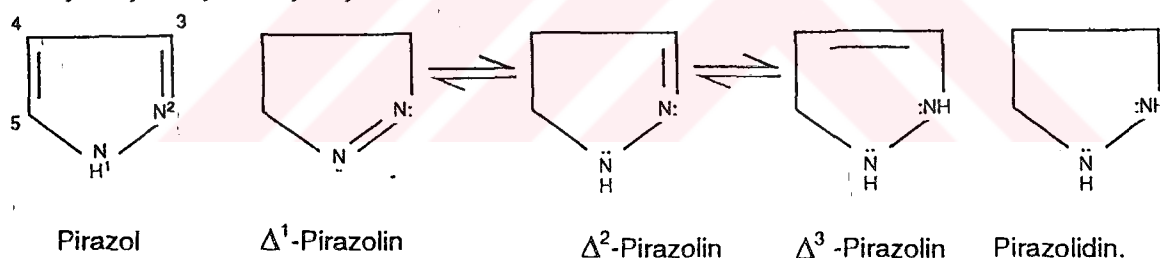
Alkil ve aril pirazollerin merkezi sinir sistemi üzerinde de etkisi olduğu bildirilmiştir [1]. Ayrıca pirazol ve pirazol türevlerinin, birçok enzim üzerindeki aktivitesi araştırılmıştır. Örneğin karaciğerde bulunan alkoldehidrogenas ve tirosinaminotransferas enzimleri üzerinde inhibisyon etkisi denenmiştir [2-5]. Pirazol halkası içeren steroidal yapıdaki bileşiklerin psikofarmakolojik maddeler olabilmeleri de ileri sürülmüştür. Ayrıca, pirimidino pirazoller

de kansere karşı mücadele amacıyla geliştirilmiştir. Dimetil karbamat ve 5-hidroksipirazolun dialkil fosfatı pratikte kolin esterlerinin inhibe edilmesinde kullanılır. Özel isimleri Isolan, Pirolan ve Piroksazon olan pirazol türevleri de farmakolojik açıdan çok toksik olup bunlar sistematik insektisid olarak kullanılırlar [1].



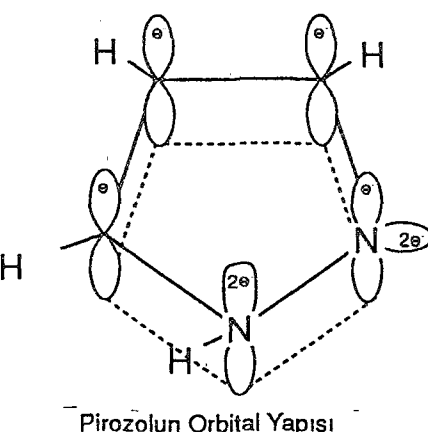
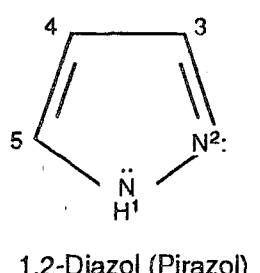
I.2. ADLANDIRMA [6]

Alışılmış ismi ile Pirazol olarak bildiğimiz bileşik, aslında iki azot atomu içeren beş üyesi halka sisteminde olup I.U.P.A.C. kuralına göre bir Diazol'dur. Buradaki adlandırma şu şekilde yapılır; iki azot atomundan dolayı -diaza öne ekinden sonra beşli halka olduğundan ve max. sayıda çifte bağ içerdiginden -ol son ekini alır ve Diazol şeklinde belirtilir. Halka numaralandırılması ise hidrojen atomu içeren azot atomundan başlatılarak saat yönünün tersine numaralandırılır. Yani pirazol bir 1,2-Diazol'dur. Eğer halka sistemimiz sadece bir tane çifte bağ içeriyor ise -ol son ekinin yerine -olin son eki konur ve eğer hiç çifte bağ içermiyorsa yani doymuş halka ise -olidin son eki kullanılır.

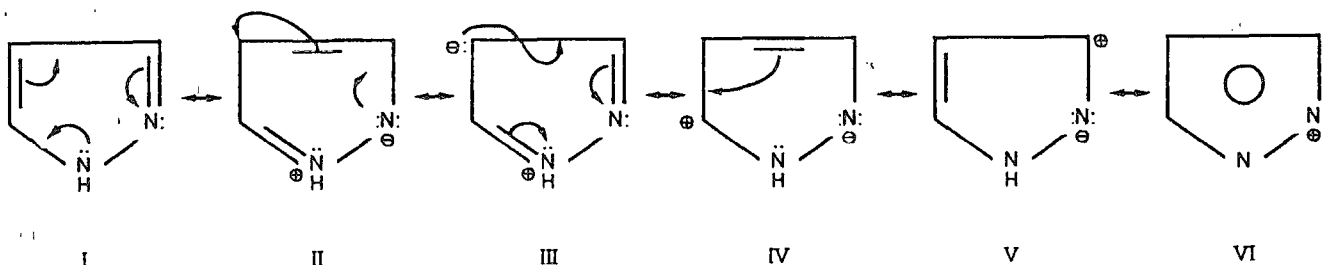


I.3. ÖZELLİKLERİ

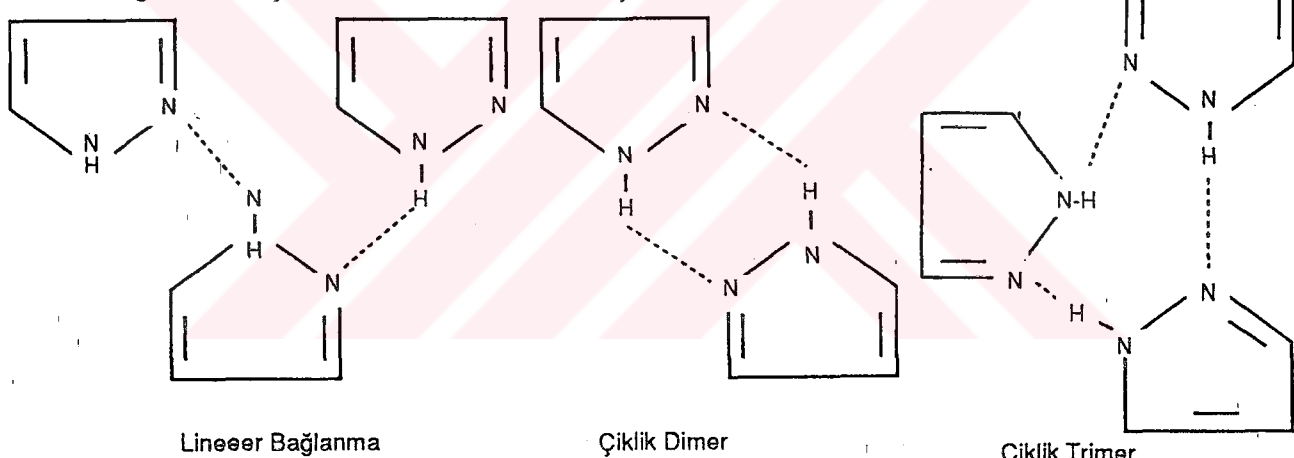
I.3.1. Fiziksel ve Kimyasal Özellikleri [1, 7, 8]



Pirazolun rezonans yapıları ise aşağıda verilmiştir:



Pirazol halkasındaki bir no.lu azot atomu üzerindeki ortaklanmamış elektron çifti yapının aromatikliğinden ve iki no.lu azot atomu üzerindeki ortaklanmamış elektron çifti ise bazılığinden sorumludur. Pirazoller kararlı bileşikler olup, yüksek kaynama noktasına sahiptirler. Pirazolun kendisi 70°C'de erir 187-188°C'de kaynar. Pirazol birçok amine benzemekle sizin, kendine özgü hoş bir kokusu olup renkli bir bileşiktir. 3-, 4- ve 5- pozisyonunda substituent içeren pirazoller, bu substituentlerin molekül ağırlıklarının büyümesi ile kaynama noktaları da yükselir, ama eğer 1. pozisyonda da substituent içeriyorlar ise kaynama noktaları düşüş gösterir. Örneğin: 3,5-dimetil pirazolun kaynama noktası 207°C olduğu halde 1,3,5-trimetilpirazolun kaynama noktası 167°C'dir. Aynı şekilde, 1-substitüte pirazollerin erime noktaları serbest N-H grubu içerenlerden daha düşüktür. Bu durum şöyle açıklanabilir: Pirazollerin N-H gruplarından dolayı intermoleküler birleşme sonucu lineer bağlanmalar, çiklik dimer ve trimerlerini oluştururlar.

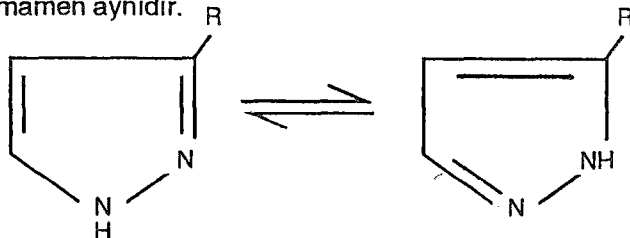


Pirazol organik çözücülerin çoğunda ve suda hemen hemen tamamen çözünür. Pirazolun 25°C'deki su, benzen ve siklohekzan'daki çözünürlüğü (gr/100 gr solvent) ise sırasıyla: 130, 18, 3 şeklindedir, 1-metilpirazolun çözünürlüğü ise daha yüksektir. Genel olarak molekül ağırlığının büyümesi ile sudaki çözünürlük azalır, benzende orta derecede çözünür oysa ki asetonda kolaylıkla çözünür.

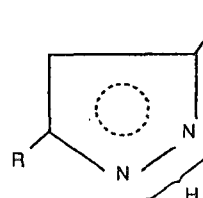
Serbest N-H grubu içeren pirazoller amfoter özelliklerdir, ama yine de bazılık özellikleri asidlikten daha fazladır, pirazolun pK_a 'sı ise 2,53'dur. Bu yüzden pirazoller kuvvetli asitler ile hidrolize tuzlarını verirler. Örneğin sodyum ve potasyum tuzlarını oluştururlar ki bunlar da suda kolaylıkla hidrolize olurlar. Eğer halkada elektron çekici grup var ise N-H grubunun asidliği artar.

I.3.2. Tautomerlik [1]

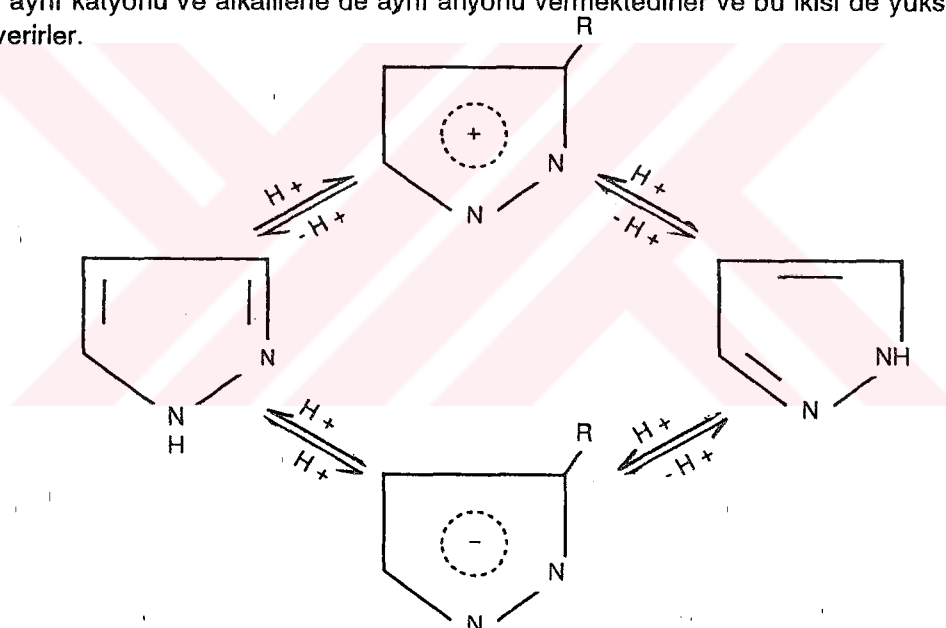
Pirazoller iki tautomer şekilde olup, bunlar tamamiyle bir denge içersindedirler. Bu durum sadece -NH grubundaki hidrojen atomunun yerinin farklı olmasından ileri gelir. Genellikle bu tip bileşikler iki izomerin bir karışımı halinde mevcut olup, bu iki durumun oluşum enerjileri hemen hemen tamamen aynıdır.



Dolayısıyla bunlar tek bir yapı olmayıp, şöyle bir yapı önerilmiştir:



Pirazolun tautomerizm olayını daha basit ve açık anlatmak gerekirse, şöyle denilebilir; asitlerle aynı katyonu ve alkalilere de aynı anyonu vermektedirler ve bu ikisi de yüksüz pirazol verirler.

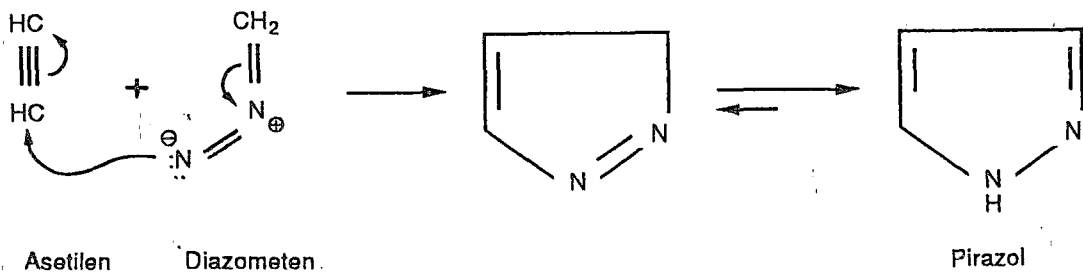


I.4. ELDE EDİLME REAKSİYONLARI [1, 7, 8, 9]

I.4.1. Genel Bilgi ve Özel Reaksiyonlar:

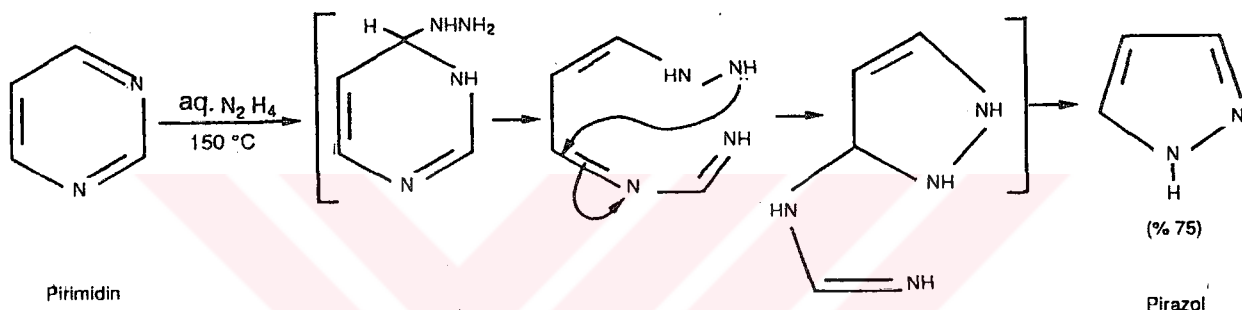
Pirazolun elde edilme metodları: N-N bağlarını içeren akseptör moleküllerin oksidasyona eğilim derecesine bağlı olarak, katılma reaksiyonlarına dayanmaktadır. Pirazol türevlerini elde etmek için en genel ve kapsamlı yol ise; hidrazin veya bir monosubstitüe hidrazin'in bir β -1,3-dikarbonil bileşığıne katılmasıdır [7].

Pirazolun kendisini elde etmek için özel bir reaksiyon aşağıda gösterilmiştir:

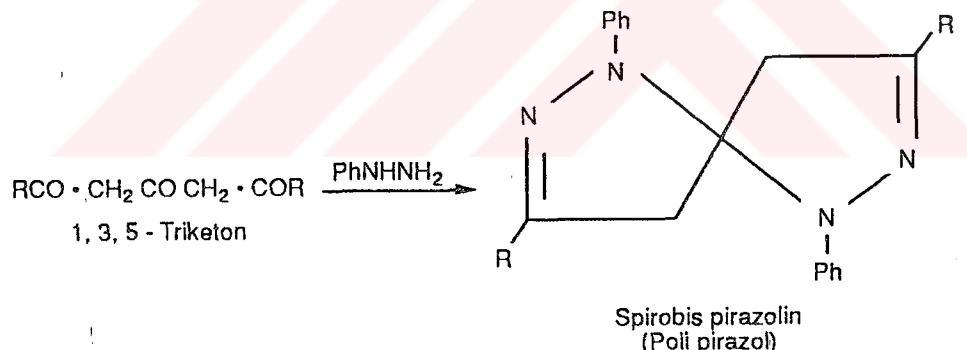


Pirazolun diğer bir özel elde etme reaksiyonu ise; diazinlerin nükleofilik reaktifler ile verdikleri reaksiyon sonucu pirazol oluşumudur.

Diazinler, kolaylıkla nükleofilik katılma reaksiyonu verirler. Örneğin; pirimidin sulu alkaliler ile ısıtıldığı zaman bozunur. Bu metod ile birinci kademede hemen hemen tamamen nükleofilik katılma reaksiyonu ile bir hidroksid şeklinde bağlanır. Pirimidinin pirazole dönüşümü aynı şekilde hidrazin ile nükleofilik katılma reaksiyonu olarak başlatıldığından yüksek bir verimle oluşur [9].

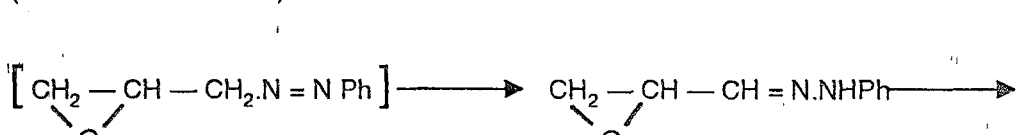


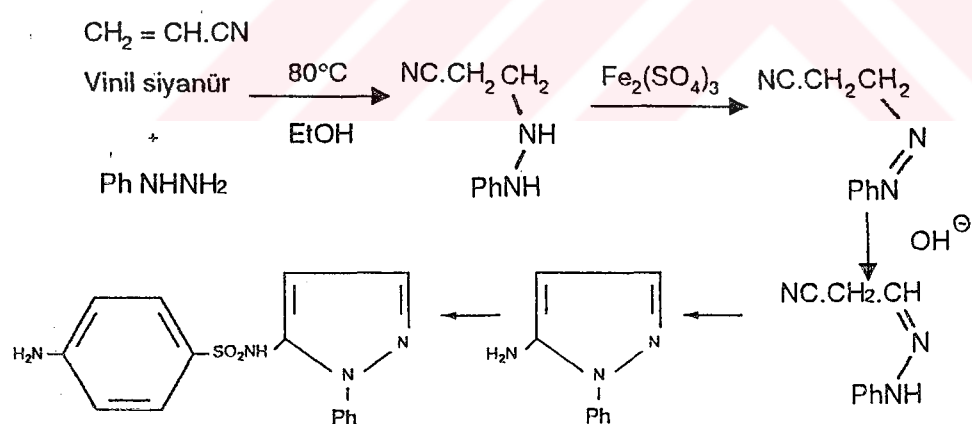
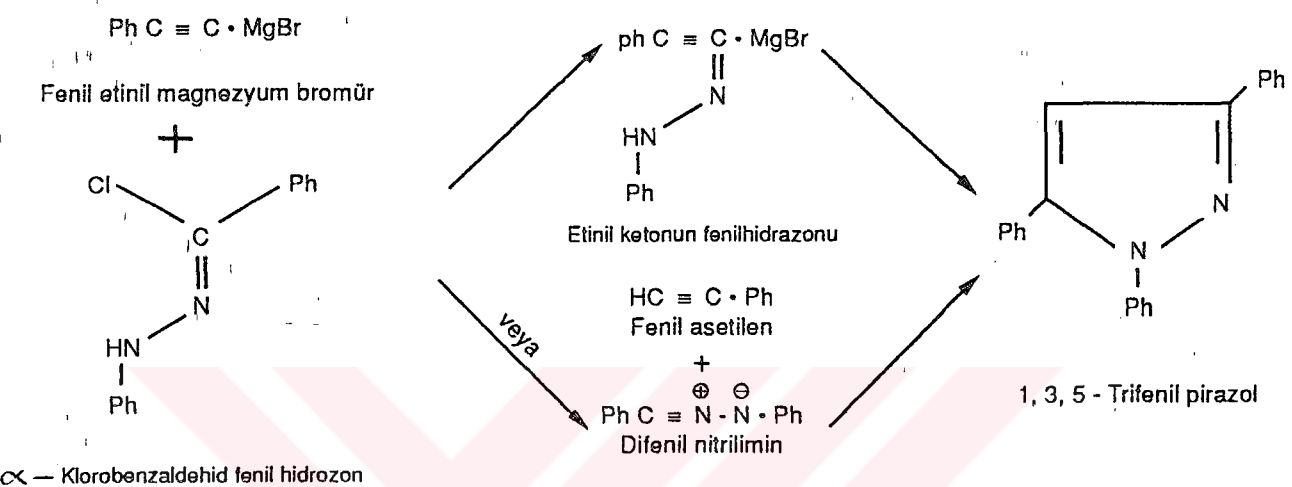
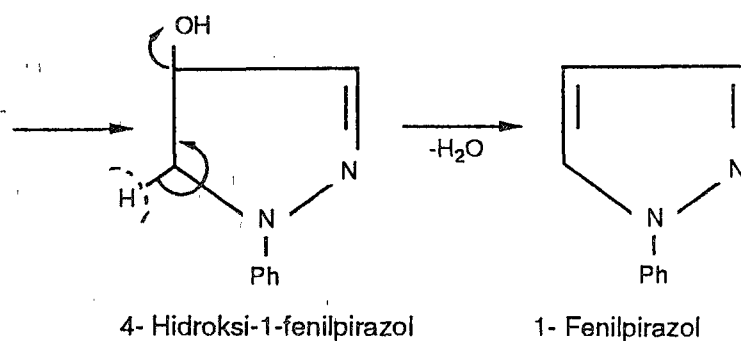
Pirazol sentezinde diğer birkaç özel reaksiyon aşağıda gösterilmiştir [1]:



Epiklorhidrin:

(metilen klorür oksiran)



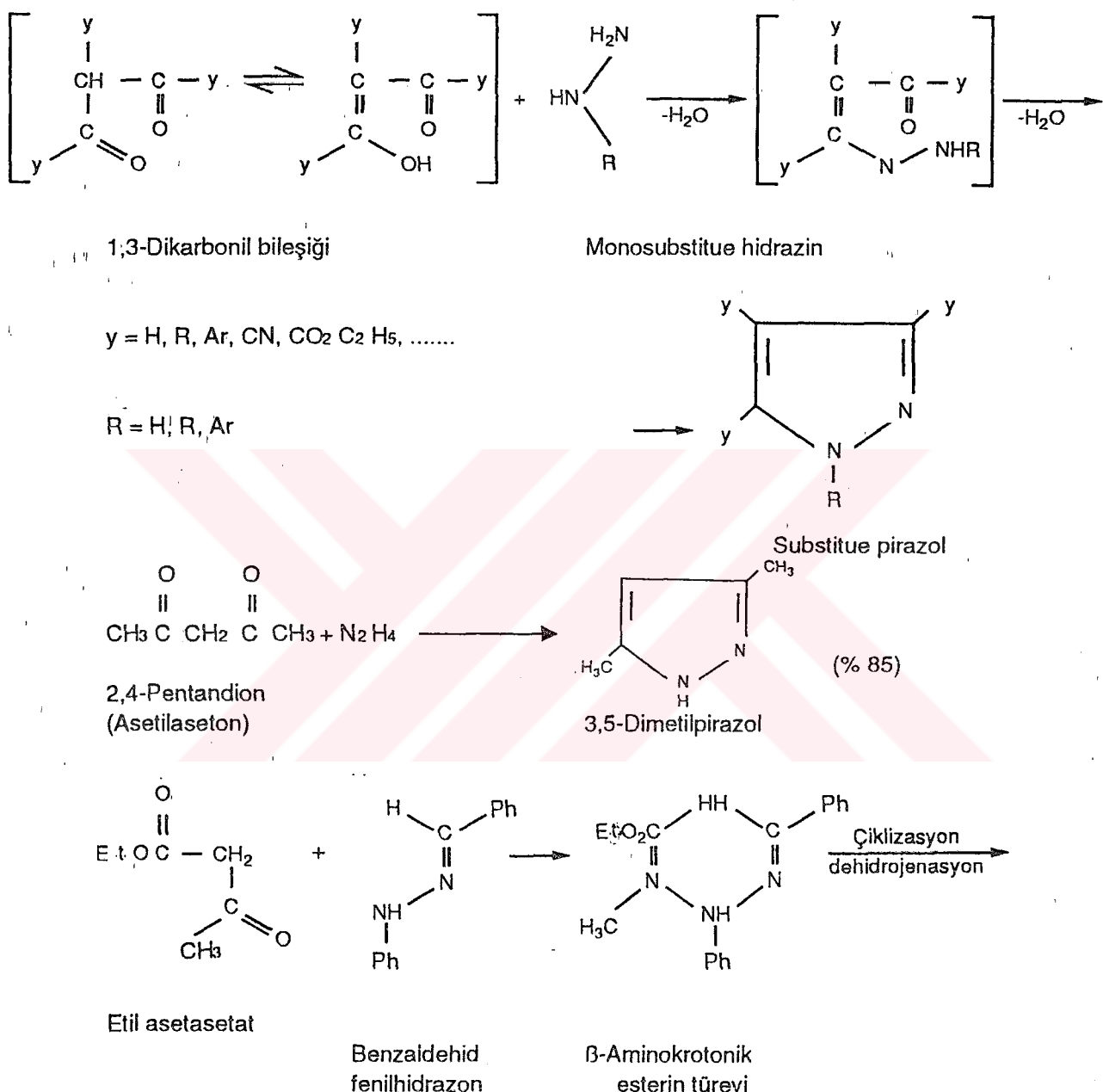


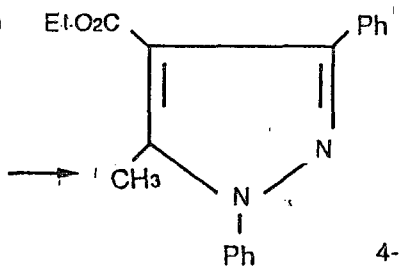
Orisul
(Sulfonamid)

5-Amino-1-fenilpirazol

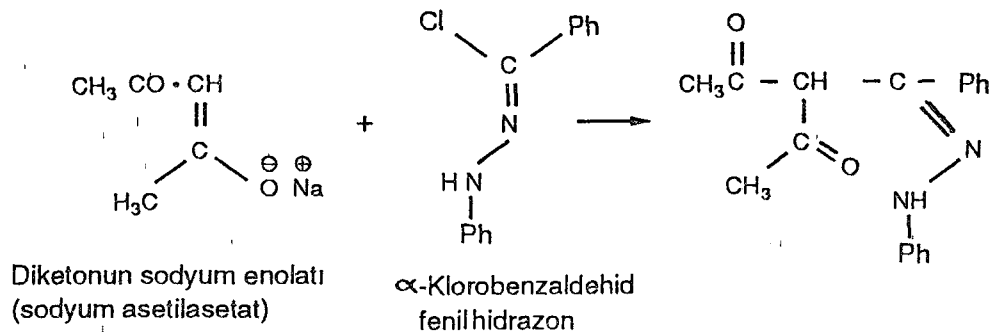
I.4.2. β -1,3-Dikarbonil Bileşikleri ve Substitue Hidrazinlerden [1, 7, 8]

Daha önce de dejindiğimiz gibi pirazol türevlerinin sentezinde en genel ve pratik metod: hidrazin veya bir monosubstitue hidrazinin bir β -1,3-dikarbonil bileşigine katılmasıdır. Bu reaksiyon ara kademe olarak bir ketoksim veya hidrazon oluşumu üzerinden yürüyerek, çiklizasyon ile sonuçlanır.



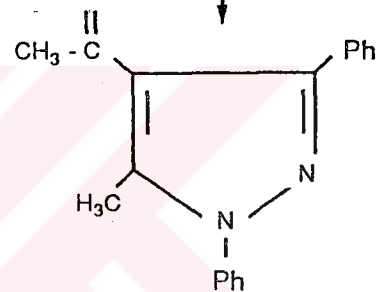


4- Karbetoksi-5-metil-1,3-difenilpirazol

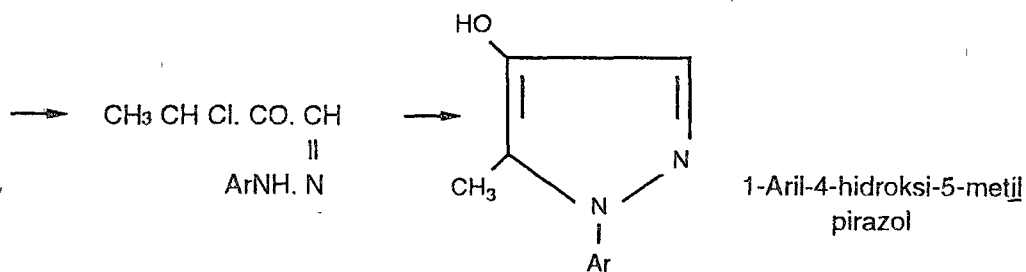


Diketonun sodyum enolatı
(sodyum asetilasetat)

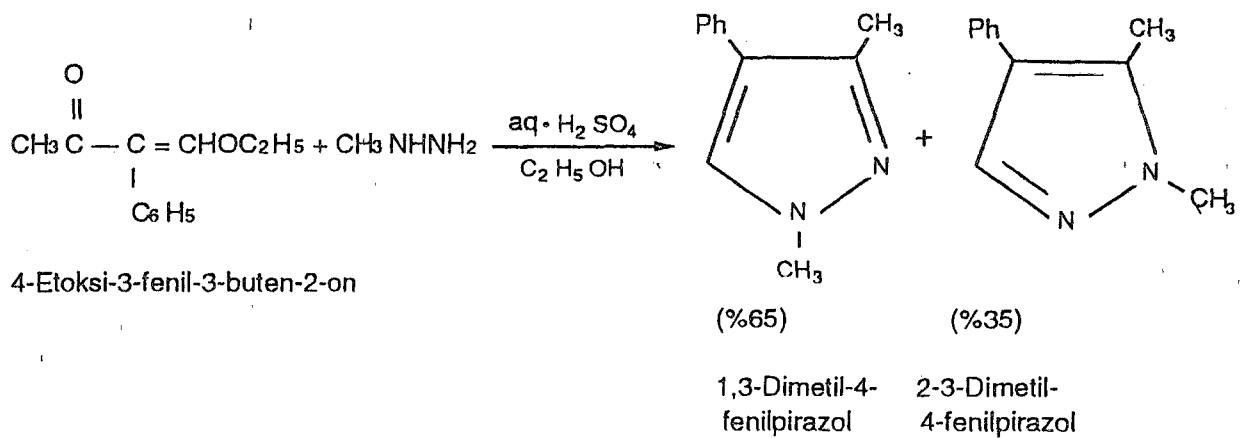
α -Klorobenzaldehid
fenil hidazon



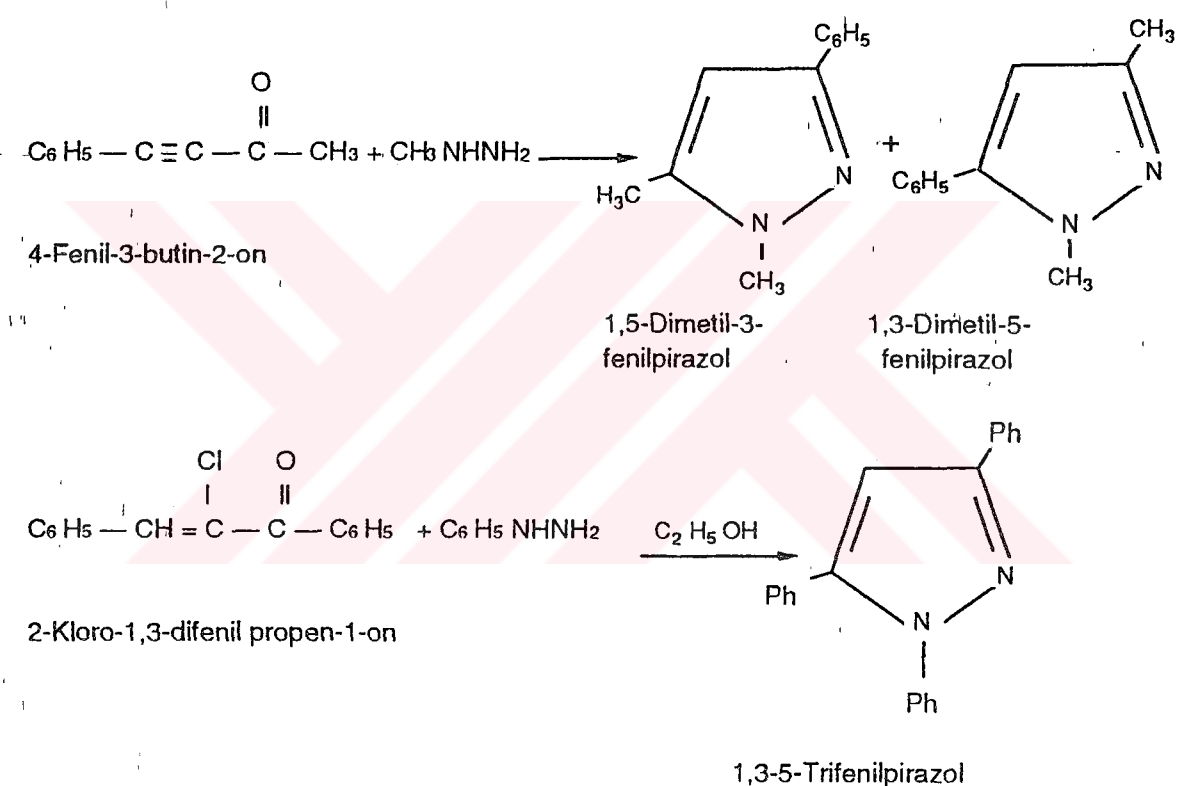
4- Asetil-5-metil-1,3-difenilpirazol



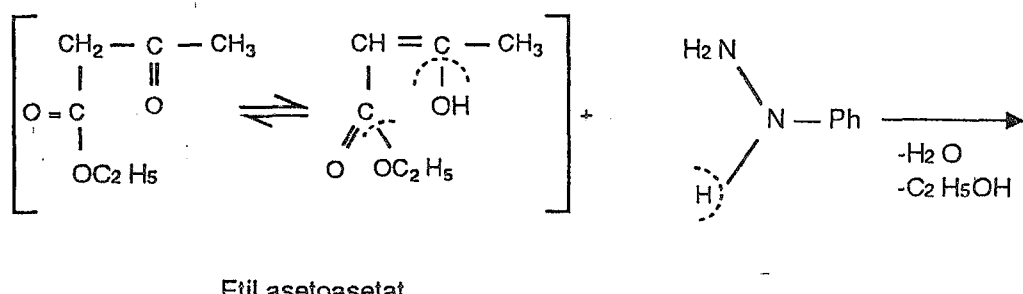
Eğer dikarbonil bileşliğimiz simetrik değilse, bunların hidrazinler ile verdikleri katılma reaksiyonu sonucu ürünler iki izomerik karışımı halinde meydana gelirler.

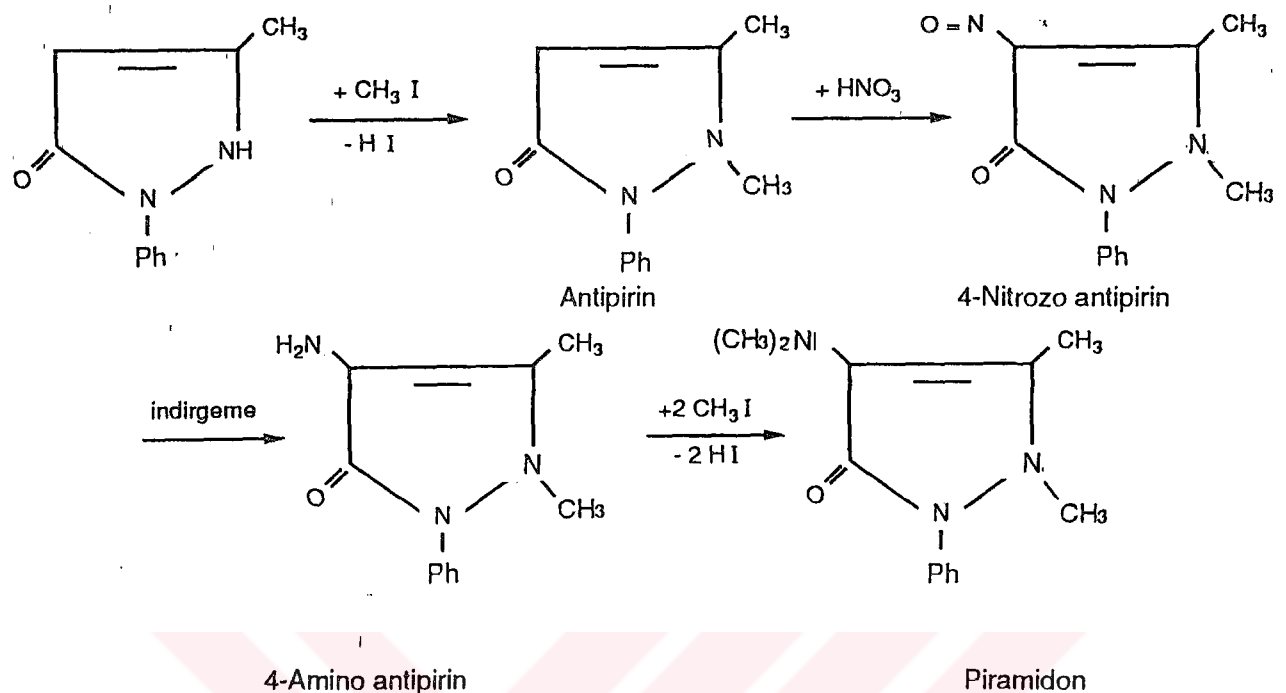


Pirazoller hidroksil amin veya hidrazinlerin, α - β -asetilenik karbonil bileşikleri veya α - β -olefinik karbonil bileşiklerinin α - veya β -karbonundan kolayca yerinden çıkarılabilen bir grup içerenler ile de reaksiyonla girerek elde edilebilirler.



Bilindiği gibi antipirin ve piramidon, ilaçların iki önemli temel maddeleridir. Bu iki önemli bileşigin sentezi ise aşağıda gösterilmiştir.



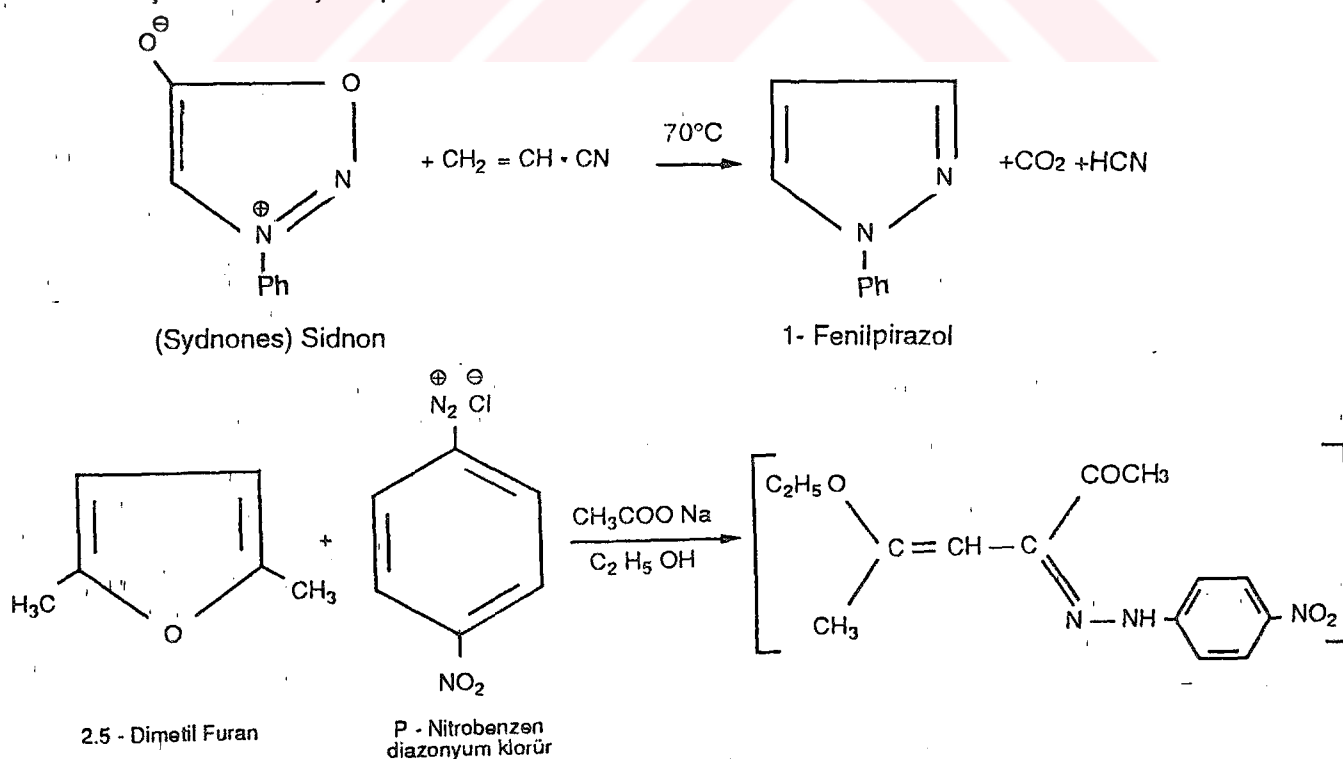


4-Amino antipirin

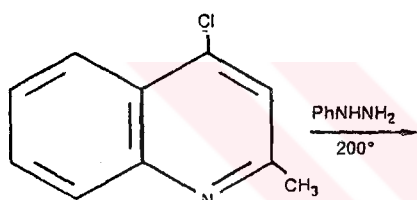
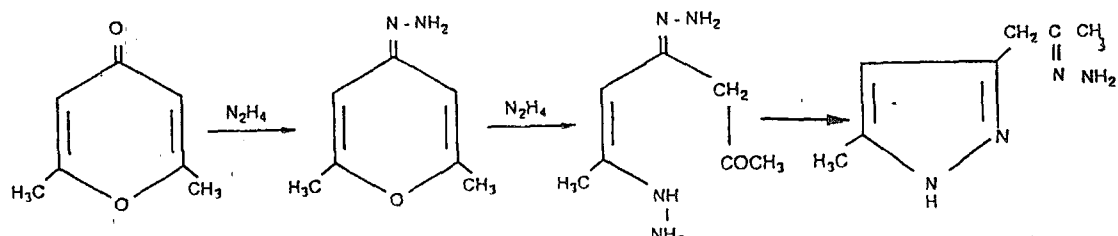
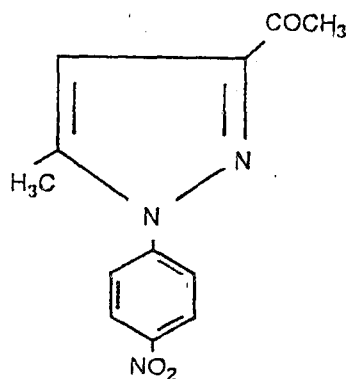
Piramidon

1.4.3. Heteroçiklik Bileşiklerin Pirazole Dönüşümünden [1]

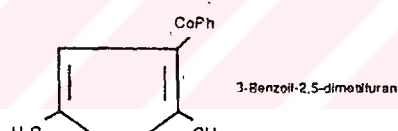
Sidnonların doymamış bileşikler ile verdikleri reaksiyon sonucu çok iyi bir verimle pirazol elde edilir. Alkenlere yapılan 1,3-dipolar katılma ile pirazolinler ve alkinlere yapılan 1,3-dipolar katılma ile de pirazoller elde edilir. α - β -doymamış nitrillerin kolaylıkla pirazole dönüşümü ile de siyano pirazolinler elde edilir.



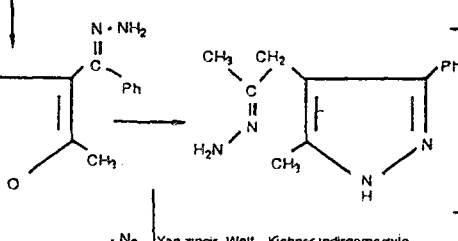
3- Asetil-5-metil-
1- (p-nitrofenil) pirazol



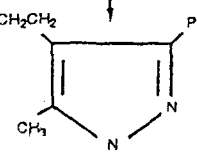
3-(o-Aminofenil)-5-metil-1-fenilpirazol

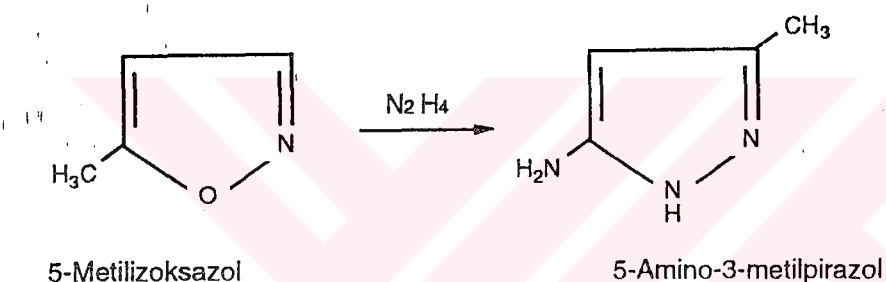
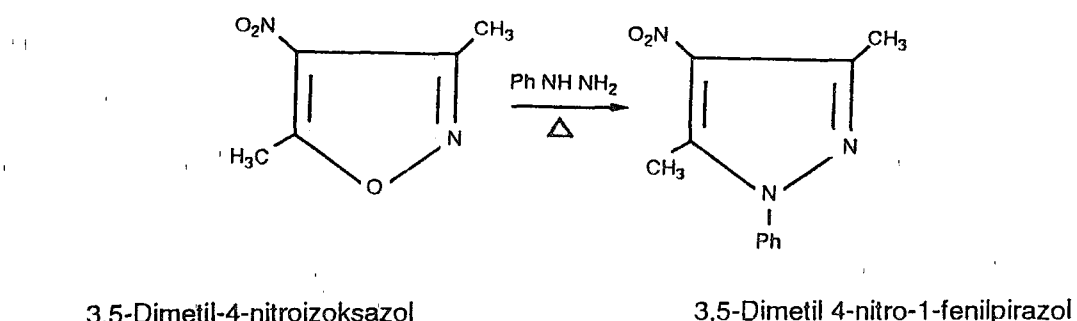
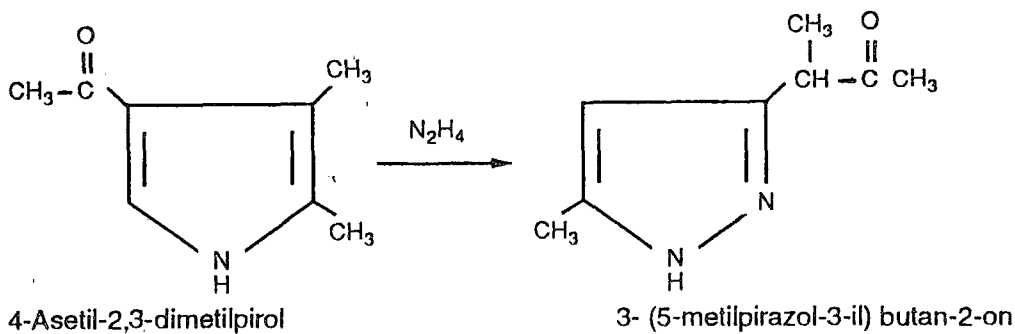


N_2H_4 $\text{Na}^+ \text{OEt}^-$



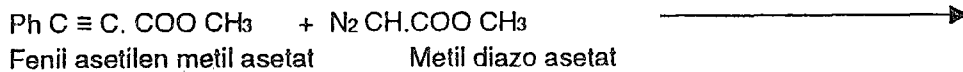
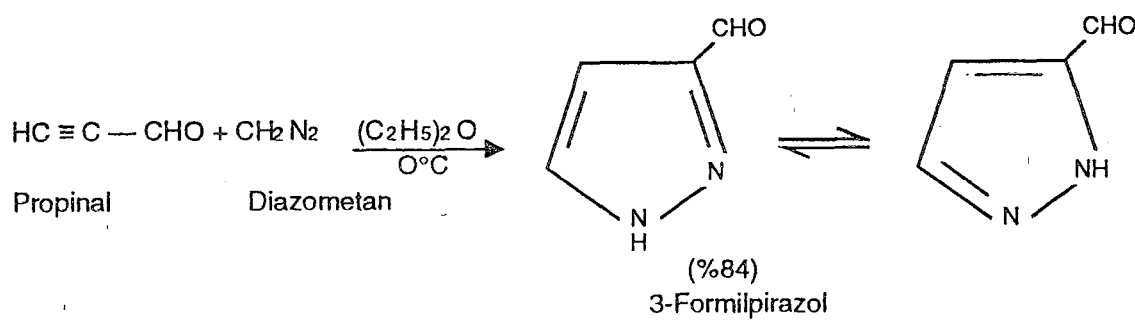
- N_2 *Yan zincir - Wolf - Kishner Indirgemeyile*

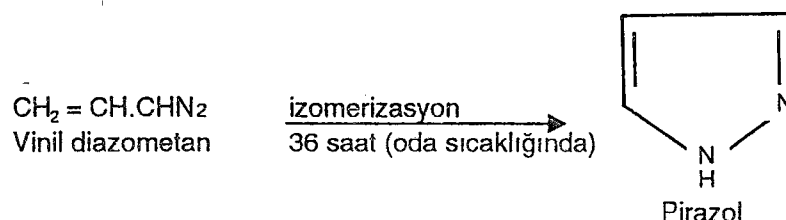
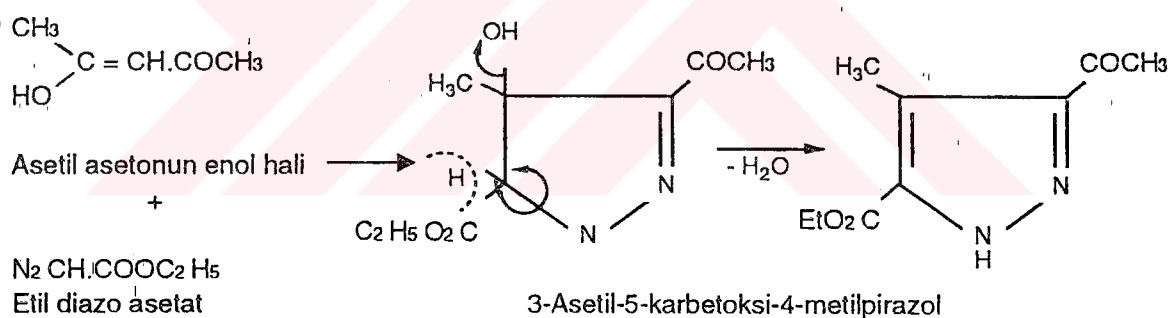
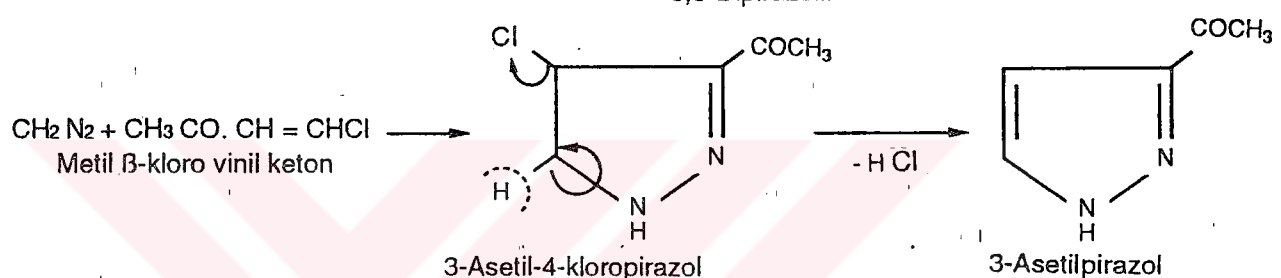
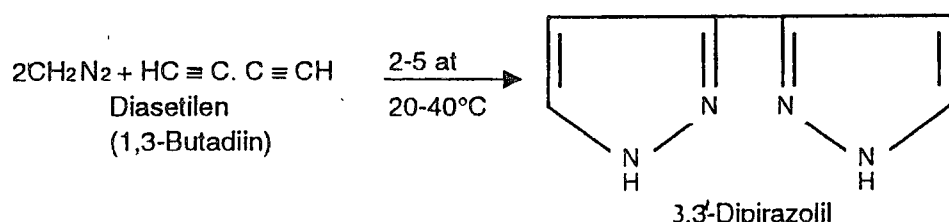
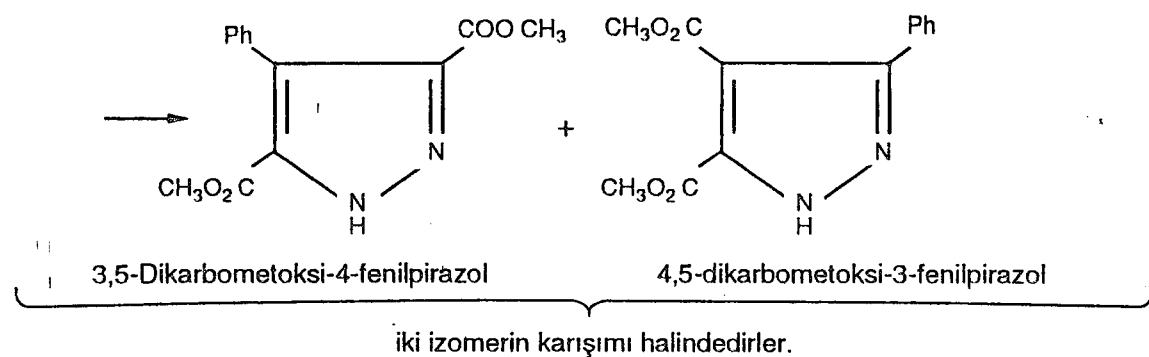




I.4.4. Alifatik Diazo Bileşiklerinden [1, 7]

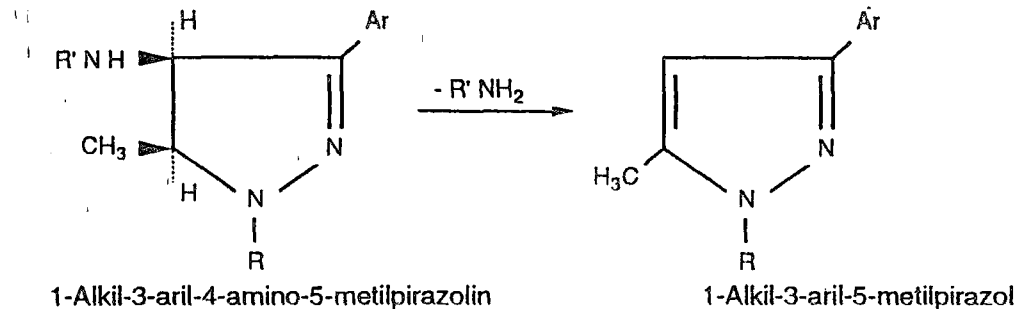
Pirazolun diğer bir elde edilme yöntemi ise; bir diazo alkanın bir asetileneye 1,3-dipolar katılması şeklinde olur. Bu tip reaksiyonda asetilenin üçlü bağı bir aldehid, keton, karboksil veya alkaksi karbonil grubu ile aktive olur.





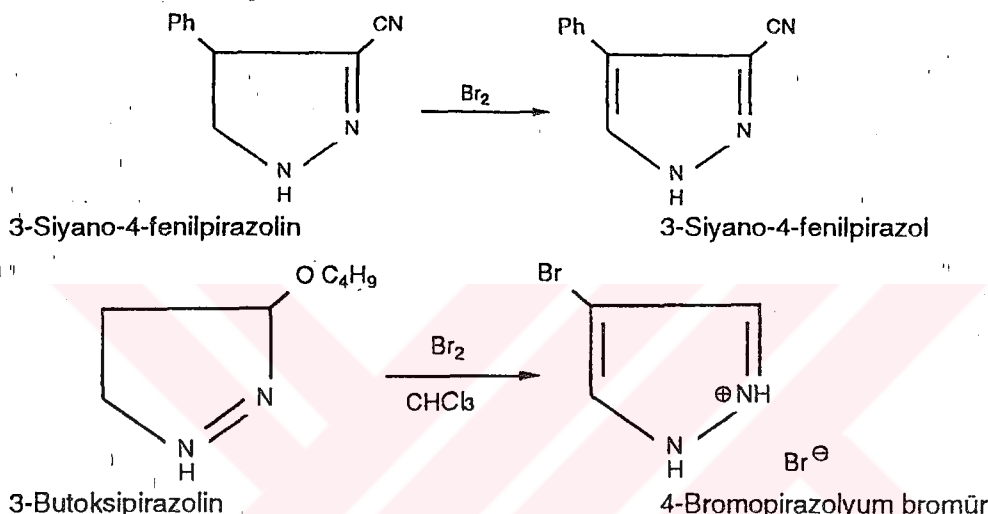
1.4.5. Pirazolinlerden [1]

α - β -doymamış aldehid ve ketonlar, alifatik diazo bileşikler ile pirazolinleri oluştururlar. Pirazolinler de *trans*-eliminasyon ile pirazollere cevrilirler.



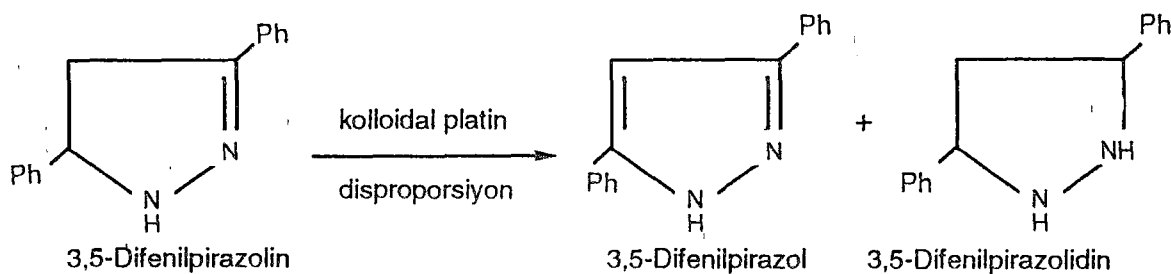
Elektron çekici substituent içeren pirazolinler, yükseltgeme reaktifleri ile reaksiyona sokulduklarında oksidasyona uğrayarak pirazole dönüşürler.

I.4.5.1. Brom ile oksidasyon



I.4.5.2. Kükürt veya Selennyum ile Dehidrojenasyon [1]

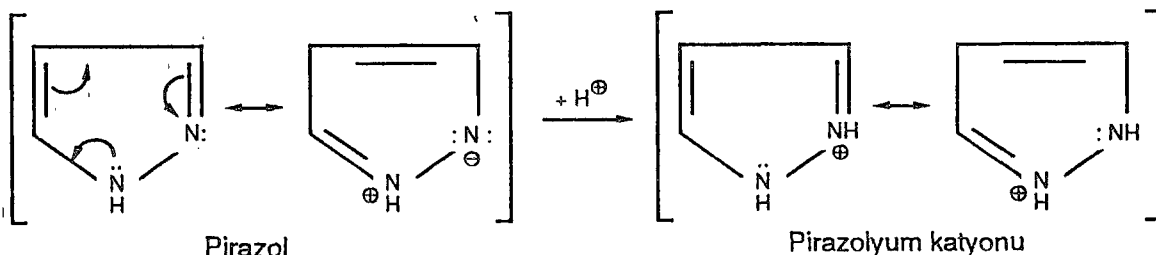
Kükürt veya selennyum ile pirazolinlerin dehidrojenasyon ile pirazole dönüşümü en genel metodilardan birisidir. Bu reaksiyon 200-230°C'de yürütülür ve bu şekilde hidroksi-, açılı amino- ve furil pirazoller elde edilmiştir. Ama eğer pirazolin, iyod ve kükürt bileşikli gruplar içeriyorsa dehidrojenasyonu zorlaşır.



I.5. PIRAZOLLERİN REAKSİYONLARI:

I.5.1. Elektrofilik Substitusyon Reaksiyonları.

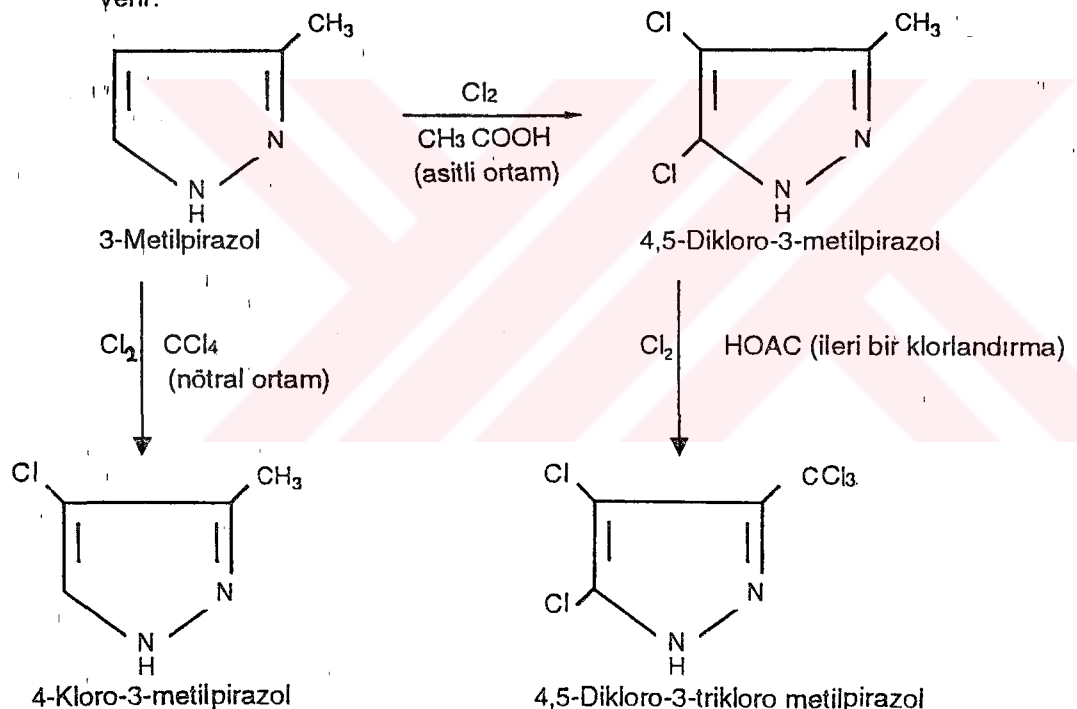
Pirazollerin karbon atomları elektrofilik substitusyona karşı düşük bir aktivite gösteriler. Çünkü ikinci azot atomu elektron yoğunluğunu kendi üzerine çekerek elektrofilin katılmasına pek olanak vermemektedir.



Halkadaki azometin azotları elektrofilî kendi üstlerine çekerler ve oluşan katyon nedeniyle halka karbonlarında daha ileri bir elektrofilik substitusyon reaksiyonunu güçleştirirler. Ancak kuvvetli koşullarda bu substitusyon 4. konumunda meydana gelebilir.

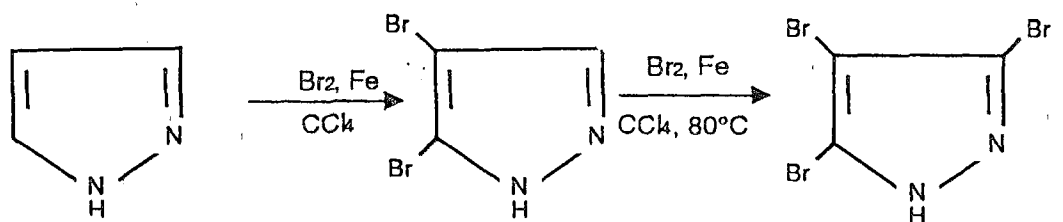
15.1.1 Klorlandirma :

Pirazollerin klorlanması nötral ortamda veya zayıf asidik ortamda 4-kloro pirazoller verir.



I.5.1.2. Bromlandırma:

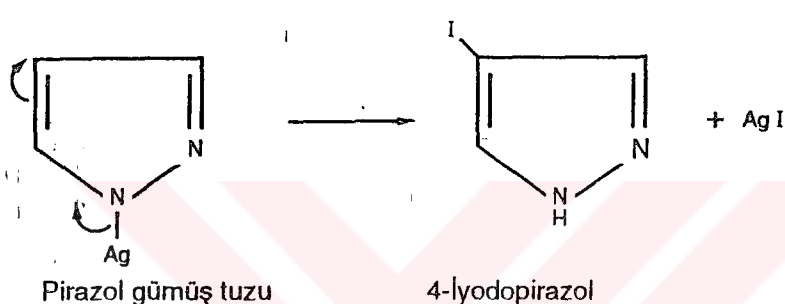
Pirazollerin bromlandırmasında ya bromun kendisi ya da hipobromik asit veya N-bromo suksinimid bileşikleri kullanılır. 4. pozisyonunda elektron donör (elektron veren) grup içeren pirazoller, bromlandırıldığından 1-substitue brom türevlerini oluştururlar. Pirazoller Fe (demir) katalizör varlığında bromlandırılırsa 2 veya 3 brom atomu halkaya katılmaktadır.



3,4,5-Tribromopyrazol

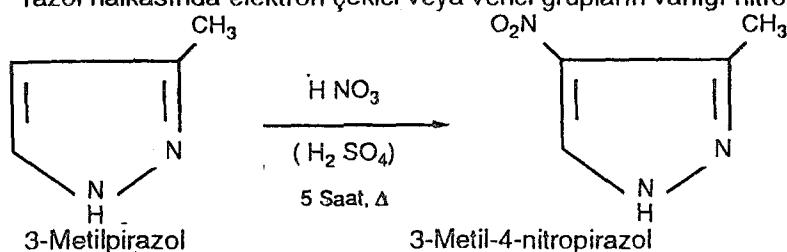
I.5.1.3. İyodlandırma:

Pirazollerin gümüş tuzu, iyod çözeltisi ile reaksiyona sokulduklarında 4-iyodopirazol elde edilir.



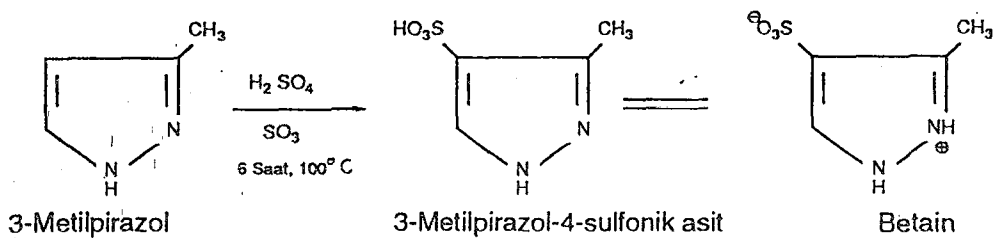
I.5.1.4. Nitrolandırma:

Pirazolun nitrolanması için çok şiddetli koşullara gerek duyulur. 1-Fenilpirazoller ve 3-fenilpirazoller nitrolandırıklarında kuvvetli azolyum katyonunun heteroçiklik halkayı deaktiv etmesi sonucu nitrolama benzen halkasının para konumunda meydana gelir. Ayrıca, pirazol halkasında elektron çekici veya verici grupların varlığı nitrolamayı etkiler.



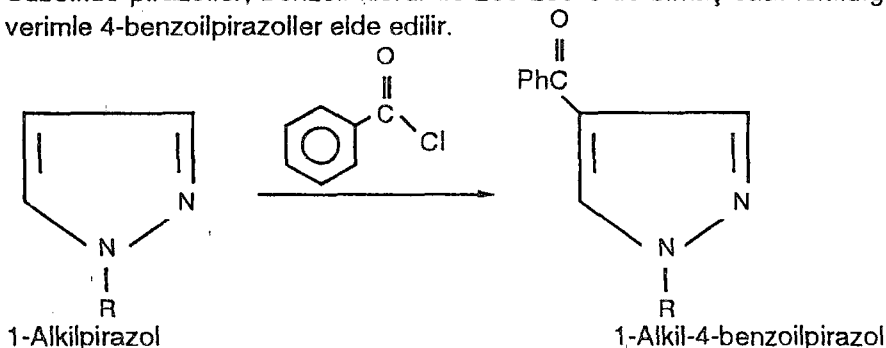
I.5.1.5. Sulfolandırma :

Pirazollerin sulfolandırılması da nitrolandırılması gibi çok güç koşullar gerektirir.

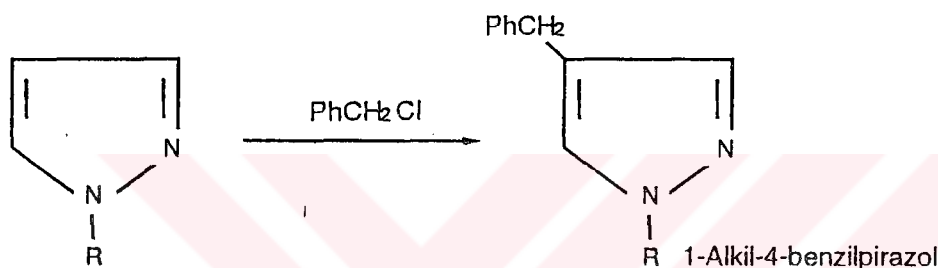


I.5.1.6. Acillendirme ve Alkillendirme:

Pirazollerin açillendirilmesi, 4. pozisyonunda Friedel-Crafts reaksiyonu ile gerçekleşir. N-Substituted pirazoller, benzoil klorür ile 200-230°C'de birkaç saat ısıtıldığında yüksek bir verimle 4-benzoilpirazoller elde edilir.

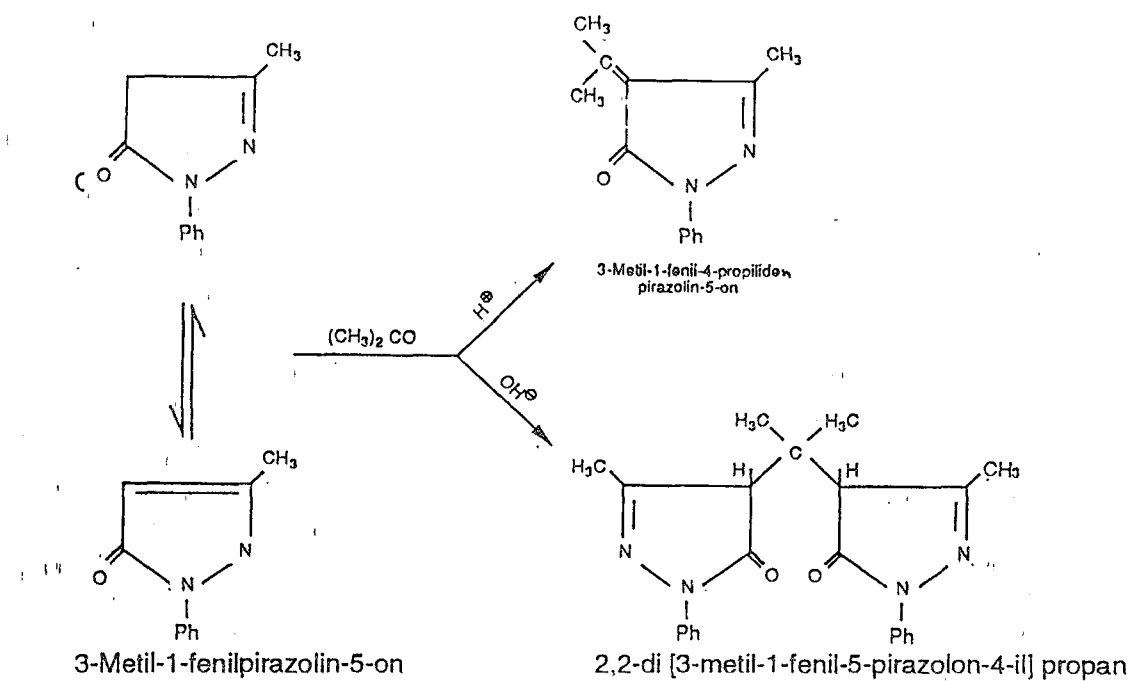


Aynı şekilde N-substitue pirażollerin benzillendirilmesi de 4. pozisyonunda yüksek bir ve-
rimle olusur.



I.5.1.7. Karbonil Grubu ile olan Kondenzasyon Reaksiyonu:

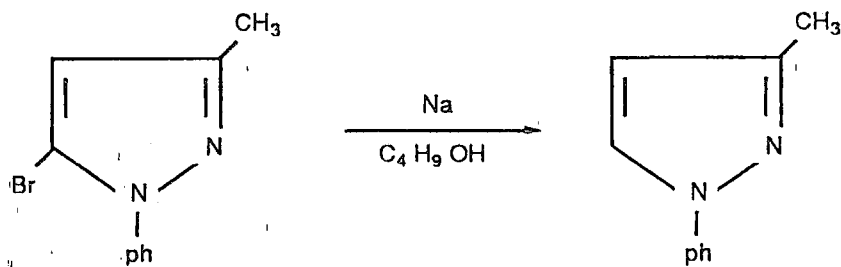
5-Hidroksipirazol (pirazolin-5-on) lerde 4. pozisyondaki hidrojen atomu ketonlarla kondenzasyon reaksiyonu için yeteri kadar aktive olmuştur, bu durumda asidik ortamda 4-alkiliden pirazolin-5-on ve bazik ortamda da di pirazolinonil metan türevleri oluşmaktadır.



I.5.2. Nükleofilik Sbstitusyon Reaksiyonları.

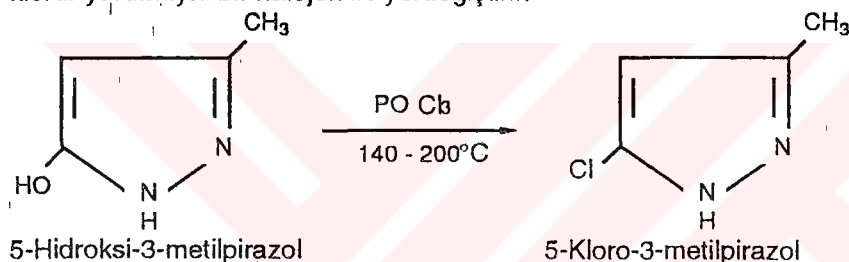
I.5.2.1. Halojen Atomlarının yer Değiştirmesi:

Halojenopirazoller, hidroiyodik asit ve kırmızı fosfor ile 140-160°de ısıtıldıklarında pirazollere indirgenirler. Bu metod ile halojenler, hidrojen ile halkanın her yerinde yer değiştirebilirler. Pirazol halkasındaki fenil substituentleri veya diğer fonksiyonel gruplar bu indirgenmeyi etkilemezler.



I.5.2.2. Hidroksil Grubunun Halojen ile yer Değiştirmesi:

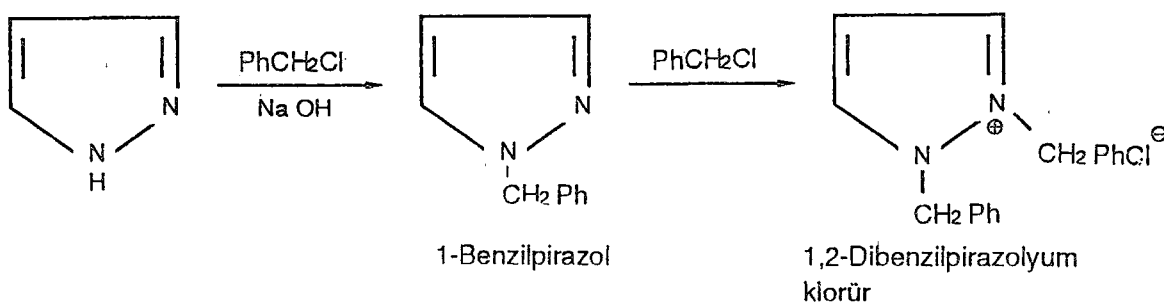
3- ve 5-Hidroksipirazollerdeki, hidroksil grubu, fosforohalidler, oksihalidler veya tiyonil klorür yardımıyla bir halojen ile yerdeğistirir.



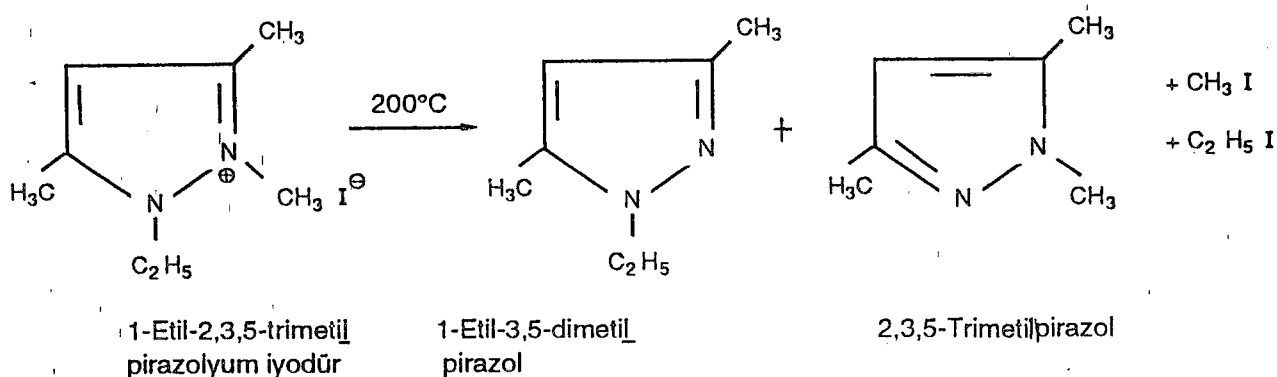
I.5.3. Azot Atomuna Bağlama Reaksiyonları.

I.5.3.1. Kuarternler Tuzlarının Alkilasyonu ve Pirolizi :

Pirazollerin serbest -NH grubunun alkillenmesi genellikle normal alkilasyon reaktifleri ile yapılır.

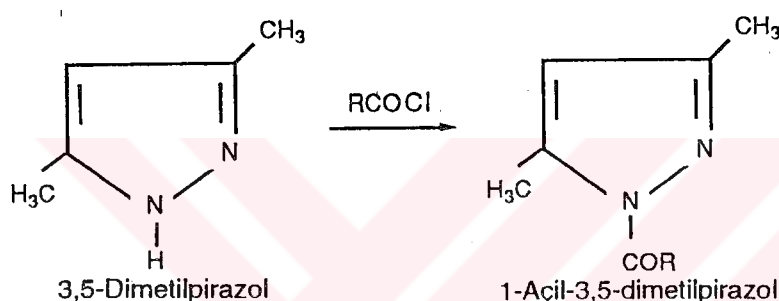


Pirazollerin kuarternler tuzlarının pirolizi, N-substitue pirazollerin üzerinden yürürl.



1.5.3.2. Açılayıcı ve İzomerizasyon ile N-Açılı Türevlerinin Oluşumu:

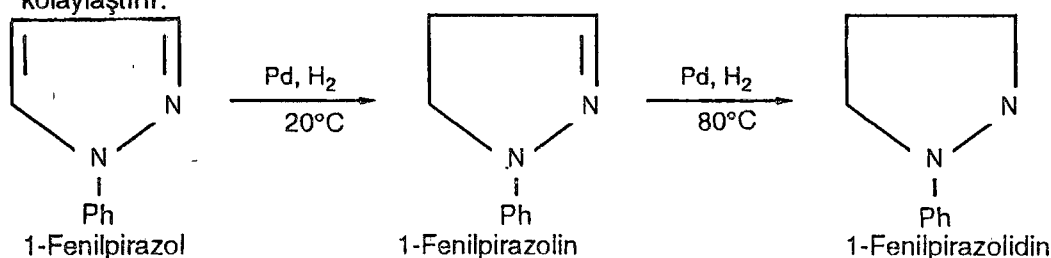
Pirazolun -NH grubu zayıf bazik reaktifler ile kolayca açıllandırılabilir. Alifatik, aromatik, heteroçilliğin asitler, kloroformik asitler ve fosjenin açılıkları ve anhidridleri, 1-açılı türevleri meydana getirirler. Halkadaki elektron çekici gruplar zayıf asidik veya bazik ortamda 1-açılı pirazollerin oluşmasını kolaylaştırırlar.



1.5.4. Pirazollerin Diğer Reaksiyonları.

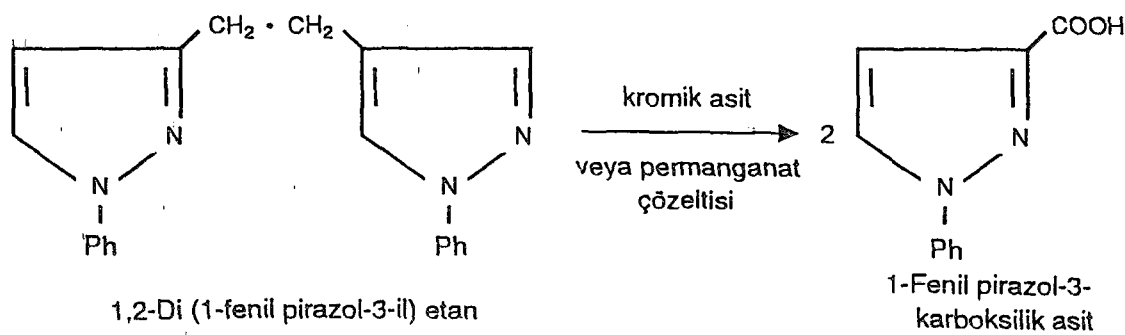
1.5.4.1. İndirgenme Reaksiyonu:

Pirazoller özellikle indirgenmeye karşı direnirler. 150°C ve 100 atm basınçta nikel ile yapılan indirgenme halkayı etkilerlemez. Fenilpirazollerin indirgenme reaksiyonu sonucu oluşan ürünler daha kararlıdır. Halkada bulunan 3-hidroksi grubu, N-N bağıının hidrojenlenmesini kolaylaştırır.



1.5.4.2. Yükseltgenme Reaksiyonu:

Pirazol halkası oksidasyona karşı olup, yapılan oksidasyon sonucu yan zincirlerinde karboksilik asitler oluşur.



DENEYSEL KISIM

2. MATERİYAL

2.1. KULLANILAN KİMYASAL MADDELER

Maddenin Adı	Firma Adı	Kat. No.
Amonyak	Merck	5422
Asetik asid	Riedel	27225
Aseton	Merck	13
Benzen	Merck	1782
Brom	Merck	1945
Demir tozu	Riedel	12310
1,3-Difenil propan-1,3-dion (Dibenzoil metan)	Merck	820538
2,4-Dimetilfenilhidrazin hidroklorür hidrat	Aldrich	32,428-O
m-Dinitrobenzen	Merck	3114
Dietil eter	Merck	926
Etil alkol	Riedel	24103
Etil asetat	Merck	864
n-Hekzan	Merck	4368
Hidrazin hidrat	Merck	804608
Hidroklorik asit	Merck	314
Kalsiyum oksid	Riedel	12044
Karbon tetraklorür	Merck	2221
Kloroform	Merck	2431
3-Kloro-2,4-pentandion (3-Kloroasetilaseton)	Merck	818692
Kükürt	Merck	7983
Metil alkol	Merck	6011
Metilen klorür	Merck	6049
Nitrat asidi	Merck	443
Nitrobenzen	Merck	806770
2,4-Pentandion (Asetilaseton)	Merck	745359
Petrol eteri (40-60)	Merck	909
Sodyum bisülfit	Merck	806356
Sodyum hidroksid	Merck	6462
Sodyum klorür	Merck	6400
Sodyum nitrit	Merck	6544
Sodyum sülfür. 9 H ₂ O	Merck	6636
Sulfat asidi	Merck	713
Toluen	Merck	8323

2.2. KULLANILAN CİHAZ VE YARDIMCI GEREÇLER

Denemelerde uygulanılan ince tabaka kromatografisinde (TLC) "Merck, 5554" sili-kajel tabakalar ile "Desega Min UVIS model, 50 Hz UVP (ultraviyole lamba)" kullanıldı.

Ürünlerin elde edilmesi ve saflaştırılması işlemleri sırasında kullanılan çözücülerin geri kazanılması "Buchi R 110 döner buharlaştırıcı (Rotary Evaporator)" da yapıldı.

Elde edilen saf maddelerin erime noktaları "Electrothermal IA 9100" dijital erime noktası cihazında açık kapiler tüplerle tayin edildi, termometre düzeltmesi yapılmadı.

Solid ürünlerin kristal fotoğrafları "Carl Zeiss Foto mikroskobu (No. 64942)" kullanılarak çekildi.

Solid bileşiklerin ve başlangıç maddelerinin infrared spektrumları (IR) ölçüme gereken saflıktaki özel potasyum bromür ile tablet yapılarak, likid maddelerin spektrumları ise sodyum klorür hücreler arasında film oluşturularak "PHILIPS PU 9714 Infrared Spektrofotometresi"nde alındı.

Nükleer manyetik rezonans spektrumları ($^1\text{H NMR}$) tetrametilsilan (TMS) standartı kullanılarak karbon tetraklorür ya da kloroform-D (CD Cl_3) de "BRUKER AW-80 spektrofotometresi"nde ve "VARIAN T-60A NMR spektrofotometresi"nde alındı.

Kütle spektrumları (MS) "70 ev, Shimadzu GC/MS QP 2000 A"da alındı.

Ultraviyole spektrumları (UV) "PHILIPS PU 8700 Series, UV/VIS Spektrofoto metresi"nde alındı.

Liquid ürünün kırılma indis "ATAGO IT No. 65555 Refractometre"nde ölçüldü.

Sentezi yapılan yeni bileşiklerin IR ve UV spektrumları Yıldız Teknik Üniversitesi, Enstrumantal Analiz Laboratuvarında; NMR spektrumları Boğaziçi Üniversitesi, Regensburg Üniversitesi - ALMANYA ve TÜBITAK Temel Bilimler Araştırma Enstitüsü'nde; MS spektrumları Anadolu Üniversitesi TBAM'de ve Berlin Teknik Üniversitesi - ALMANYA'da; elementel analizler TÜBITAK Temel Bilimler Araştırma Enstitüsü ve Resengburg Üniversitesi - ALMANYA'da yaptırıldı. Başlangıç maddelerinin IR spektrumları Yıldız Teknik Üniversitesi, Enstrumantal Analiz Laboratuvarı'nda alındı, NMR spektrumları ise ilgili kataloglardan sağlanıdı.

3. DENEYSEL ÇALIŞMA VE BULGULAR

3.1. GENEL BİLGİ

Araştırma tıpta, eczacılıkta, fotoğrafçılıkta, yakıt ve boyalar endüstrisinde yaygın bir şekilde kullanılmakta olan pirazol bileşikleri sınıfına katkıda bulunabilmek amacıyla planlanmış olup çalışmada üç ayrı β -dikarbonil bileşığının üç farklı substitue-fenilhidrazin ile olan reaksiyonları gerçekleştirılmıştır.

Çalışmanın uygulama niteliğinde olan ilk kısmında, ticari olarak sağlanan 2,4-dimetilfenilhidrazinin yanı sıra reaksiyonlarda reaktif olarak kullanılacak olan 5-bromo-2-nitrofenilhidrazin ile 5-kloro-2-nitrofenilhidrazin basamaklar halinde ilerleyen bir dizi reaksiyon sonucu hazırlanmıştır.

Amacı oluşturan ikinci kısmında ise, substrat olarak kullanılan 2,4-pentandion, 3-kloro-2,4-pentandion ve dibenzpilmetan ile reaktiflerin, nükleofilik bir katılma ayrılmayı takiben oluşturulması hedeflenen halka kapanması reaksiyonları çeşitli koşullar denenmek suretiyle gerçekleştirilmeye çalışılmış ve böylece sentezlenen dokuz yeni substitue-pirazol bileşığının yapısı fiziksel yöntemlerle aydınlatılmıştır.

3.2. KULLANILAN SUBSTRATLARIN ÖZELLİKLERİ

3.2.1. 2,4-Pentandion (A):

(Merck, 745359) destillenerek kullanıldı.

Özellikleri [10]:

Eritme noktası : -23°C
 Kaynama noktası : 139°C / 746 mmHg
 Yoğunluğu : 0.9721 g/cm³
 n_{D}^{20} : 1.4494 olan açık sarı renkli sıvı.

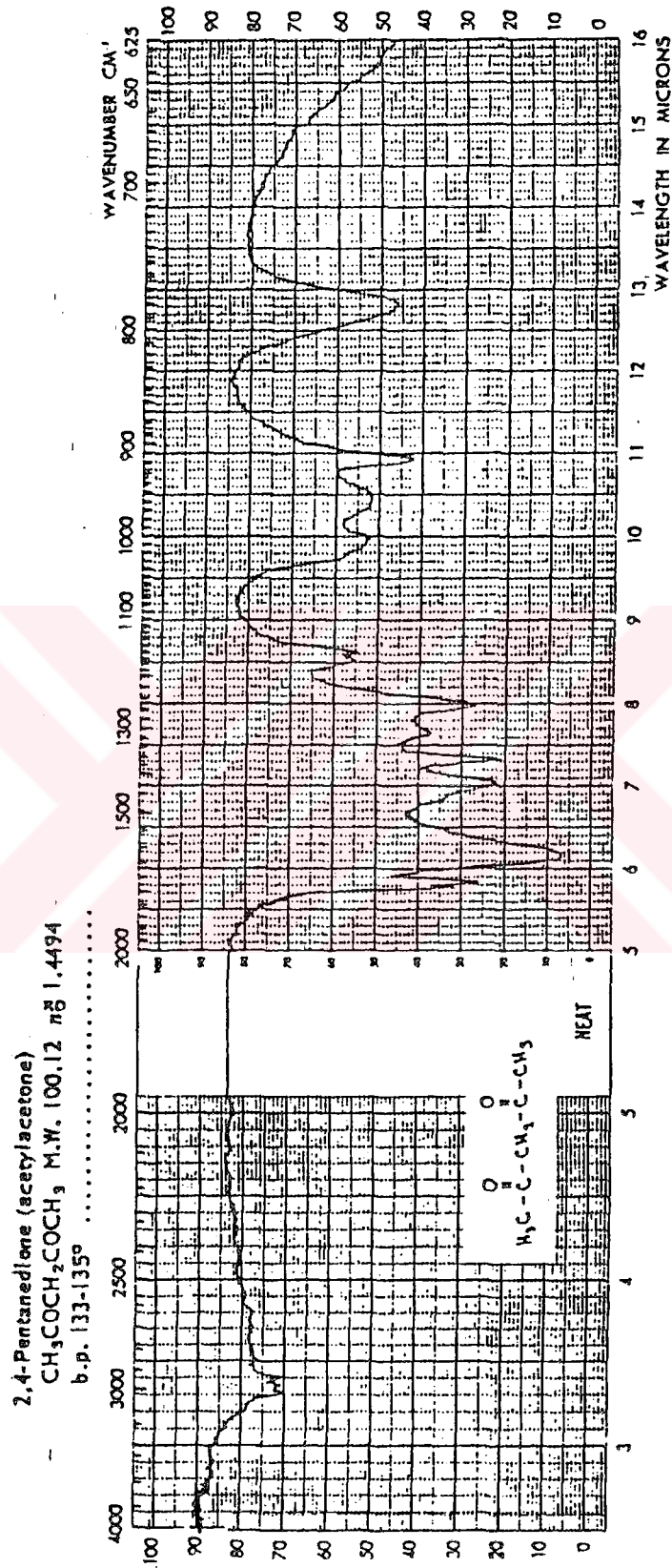
Çözünürlüğü:

Kloroform	:	Çözünür
Dietil eter	:	Çözünür
Aseton	:	Çözünür
Etil alkol	:	Çözünür
Su	:	Çözünür

Spektroskopik Analiz Verileri:

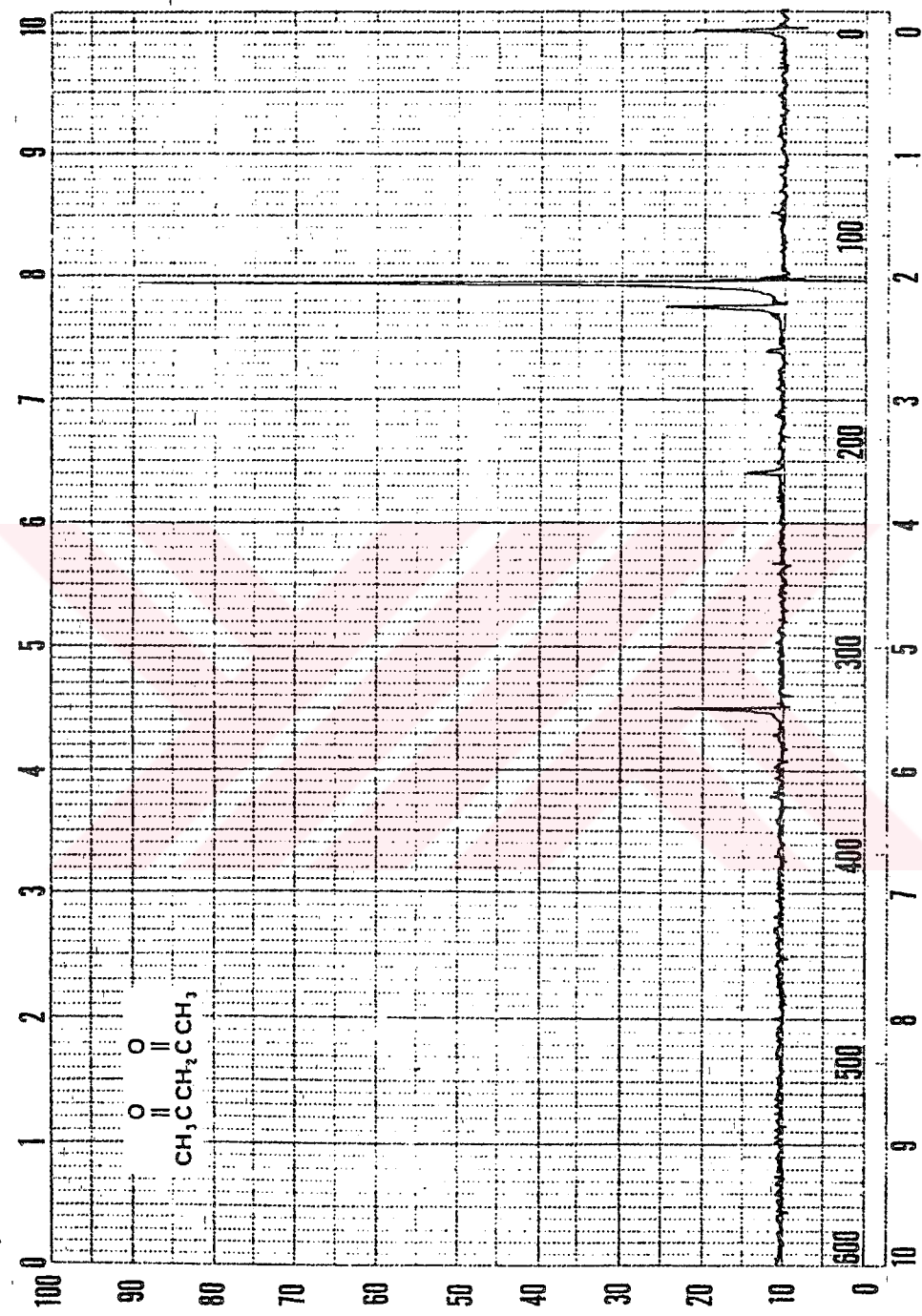
IR (film): 3050-2900 (alifatik, C-H gerilimi), 1725 ve 1625 (keton, C=O gerilimi), 1450 (metilen, C-H bozunması), 1360 (metil, C-H bozunması) cm⁻¹ [11].

¹H NMR: δ 2.08 (s, 2 x CH₃, 6H), 5.50 (s, CH₂, 2H) [12].



Şekil 3.1. 2,4-Pentandionun IR Spektrumu (film)

(acetylacetone)
 $\text{CH}_3\text{COCH}_2\text{COCH}_3$
M.W. 100.12 b.p. 133 - 135° n_{D}^{25} 1.4510 d 0.975
Beil. 1,777 Fieser 1,10 IR 195F



Şekil 3.2. 2,4-Pentandionun ^1H NMR Spektrumu

3.2.2. 3-Kloro-2,4-pentandion (B):

(Merck, 818692)

Özellikleri [13, 14]:

Kaynama noktası : 49-52°C / 18 mmHg, 156°C / 760 mmHg
Yoğunluğu : 1.19 g/cm³
 n_{D}^{20} : 1.4786 olan yeşilimsi kahverengi sıvı.

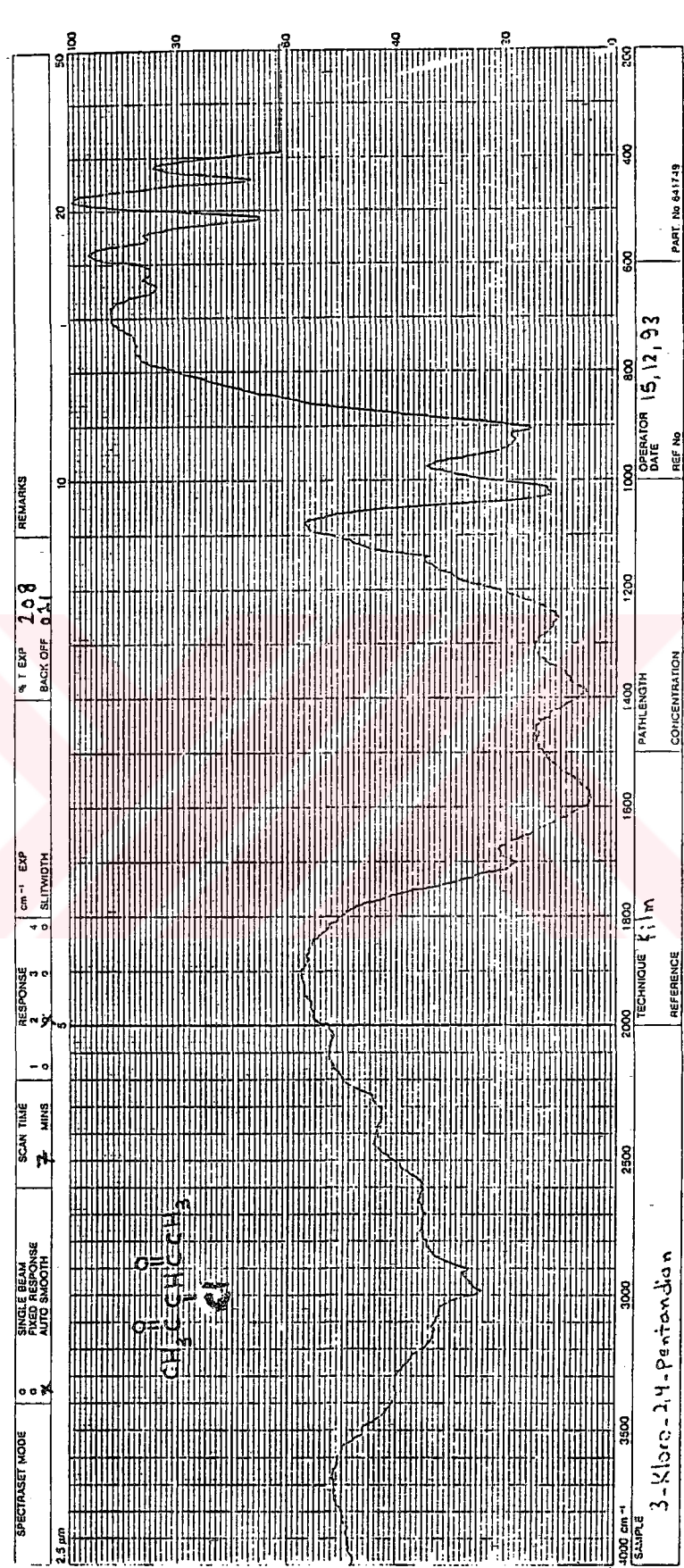
Çözünürlüğü:

Metilen klorür : Çözünür
Kloroform : Çözünür
Etil alkol : Çözünür

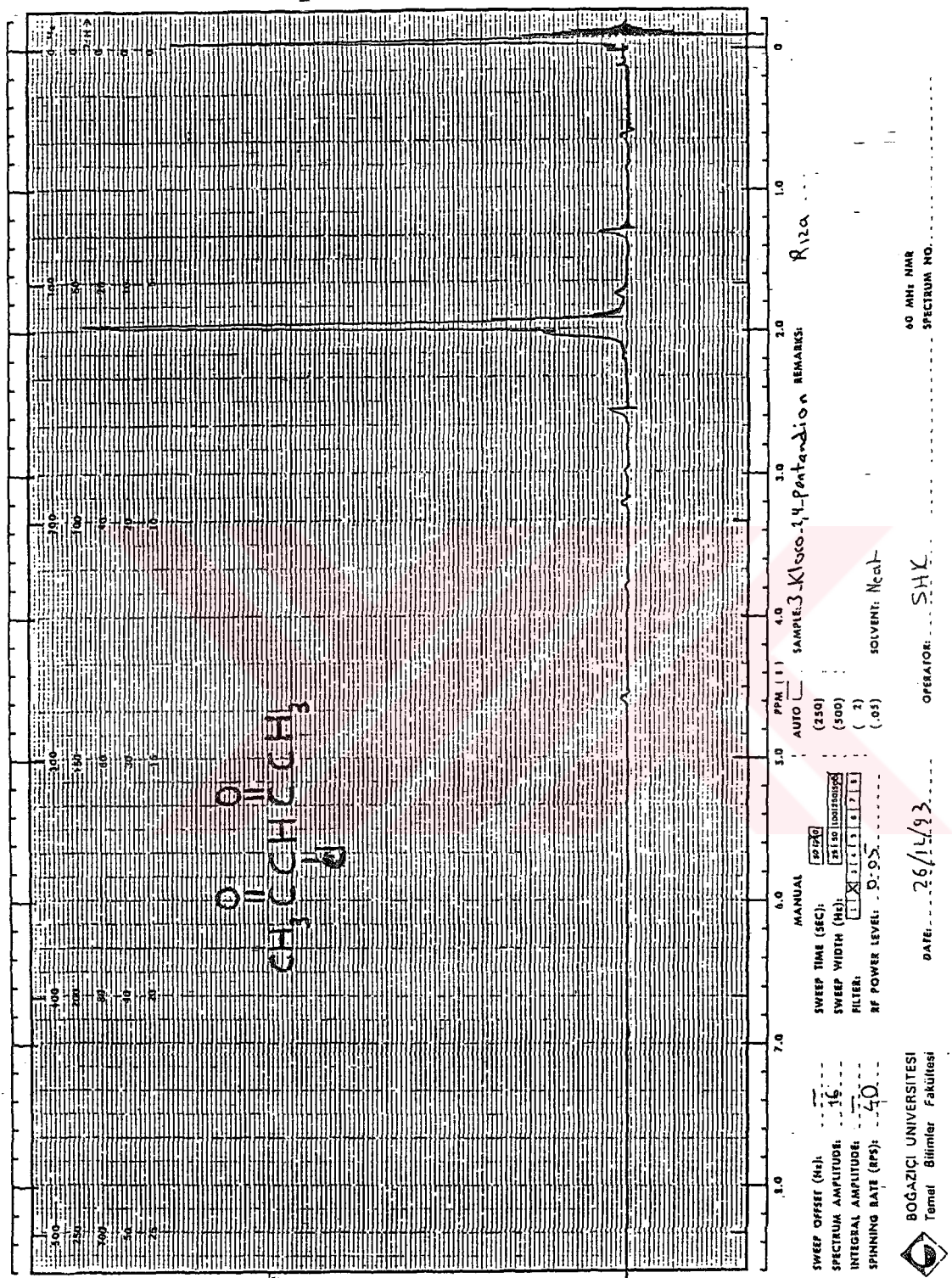
Spektroskopik Analiz Verileri:

IR (film): 3040-2860 (alifatik, C-H gerilimi), 1700 ve 1585 (keton, C=O gerilimi), 1390 (metil, C-H bozunması), 515 (C-Cl gerilimi) cm⁻¹

¹H NMR (liqid): δ 1.97 (s, 2 x CH₃, 6H).



Sekil 3.3. 3-Kloro-2,4-pentandionun IR Spektrumu (film)



3.2.3. 1,3-Difenil-1,3-propandion (C):

(Merck, 820538)

Özellikleri [10, 13, 14]:

Erime noktası : 70-1°C
Kaynama noktası : 219-221°C / 18 mm Hg

Çözünürlüğü:

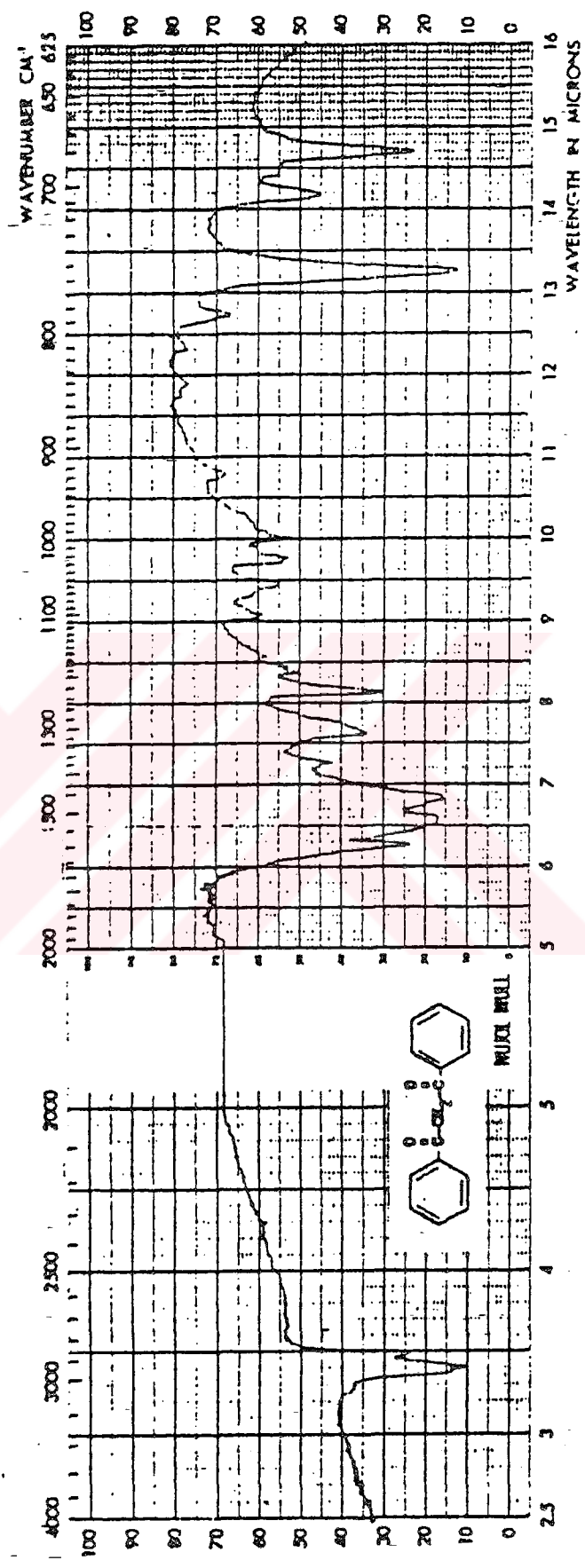
Petrol eteri : Çözünür
Metilen klorür : Çözünür
Kloroform : Çözünür
Dietil eter : Çözünür
Etil alkol : Çözünür

Spektroskopik Analiz Verileri:

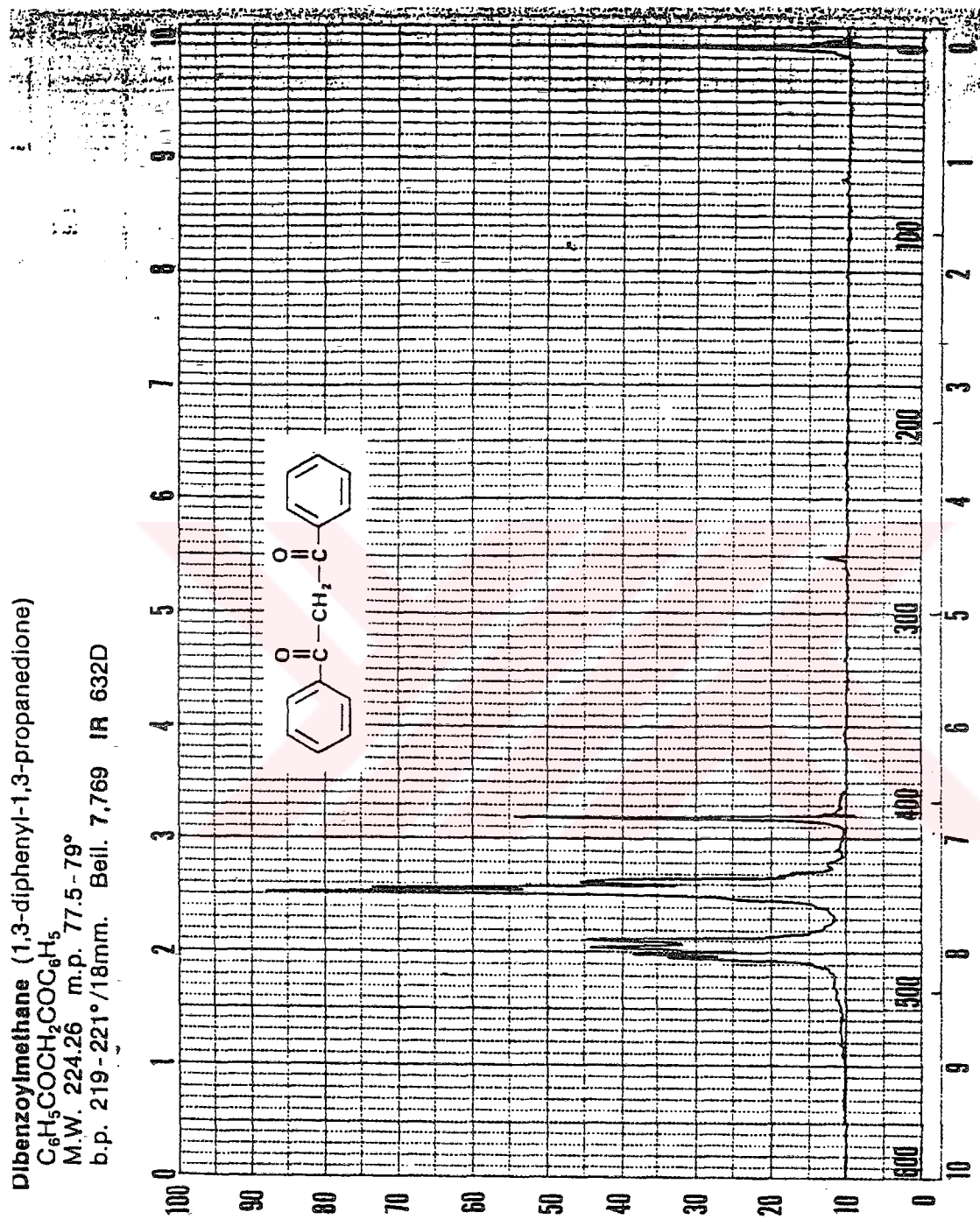
IR (Nujol): 3300-2900 (aromatik, =C-H gerilimi), 2900-2800 (alifatik, C-H gerilimi), 1600 (keton, C=O gerilimi), 1530 ve 1470 (aromatik, C=C gerilimi), 1320 (metil, C-H bozunması), 755 ve 680 (mono-substitue halka, düzlem dışı =C-H eğilim salınımı) cm⁻¹ [15].

¹H NMR: δ 6.80 (s, CH₂, 2H), 7.25-8.20 (m, aromatik, 10 H) [12].

D3345-4 Dibenzoylacetone (1,3-diphenyl-1,3-propanedione)
 $C_{16}H_{14}COCH_2COC_6H_5$ M.W. 224.26
m.p. 77.5-79°



Sekil 3.5. 1,3-Difenil-1,3-propanidionun IR Spektrumu (nujol)



Şekil 3.6. 1,3-Diphenil-1,3-propandionun ¹H NMR Spektrumu

3.3 REAKTİFLERİN HAZIRLANMASI VE ÖZELLİKLERİ

3.3.1. 5-Bromo-2-nitrofenilhidrazin'in Hazırlanması:

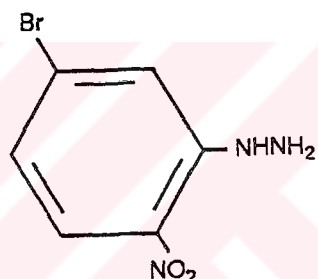
m-Bromonitrobenzen [16-a]

Kaynakta belirtilen uygun deney düzeneğindeki balonda bulunan taze destillenmiş nitrobenzene 135-145°C'de belirli aralıklarla demir tozu ve brom ilave edildi. Reaksiyon sonunda oluşan koyu kırmızımsı kahve renkli çözelti, sodyummetabisülfit (bromun aşırısını uzaklaştmak için) içeren suya döküldü. Meydana gelen çözeltiye-su buharı destilasyonu uygulanlığında reaksiyona girmemiş nitrobenzeni takiben açık şarı renkte m-bromonitrobenzen kristalleri elde edildi, e.n. 51-52°C (% 73).

3,4-Dinitrobromobenzen [17]

m-Bromonitrobenzen, dumanlı nitrat asidi ve derişik sulfat asidi karışımı geri soğutucu altında 130-140°C'de yaklaşık iki saat kaynatıldıktan sonra karışım soğuk suya dökülerek çöktürülen ürün etil alkolden kristallendirildi. Renksiz kristaller, e.n. 59-60°C (% 59).

5-Bromo-2-nitrofenilhidrazin (1) [18]



3,4-Dinitrobromobenzen'in alkoldeki çözeltisine, hidrazin hidratın alkoldeki çözeltisi katıldı. Hemen koyu kırmızı renkte olan karışım su banyosu üzerinde kaynayıncaya kadar ısıtıldı. Soğutulduğunda oluşan koyu portakal renkteki 5-bromo-2-nitrofenilhidrazin etil alkolden kristallendirildi, e.n. 160-161°C (% 85).

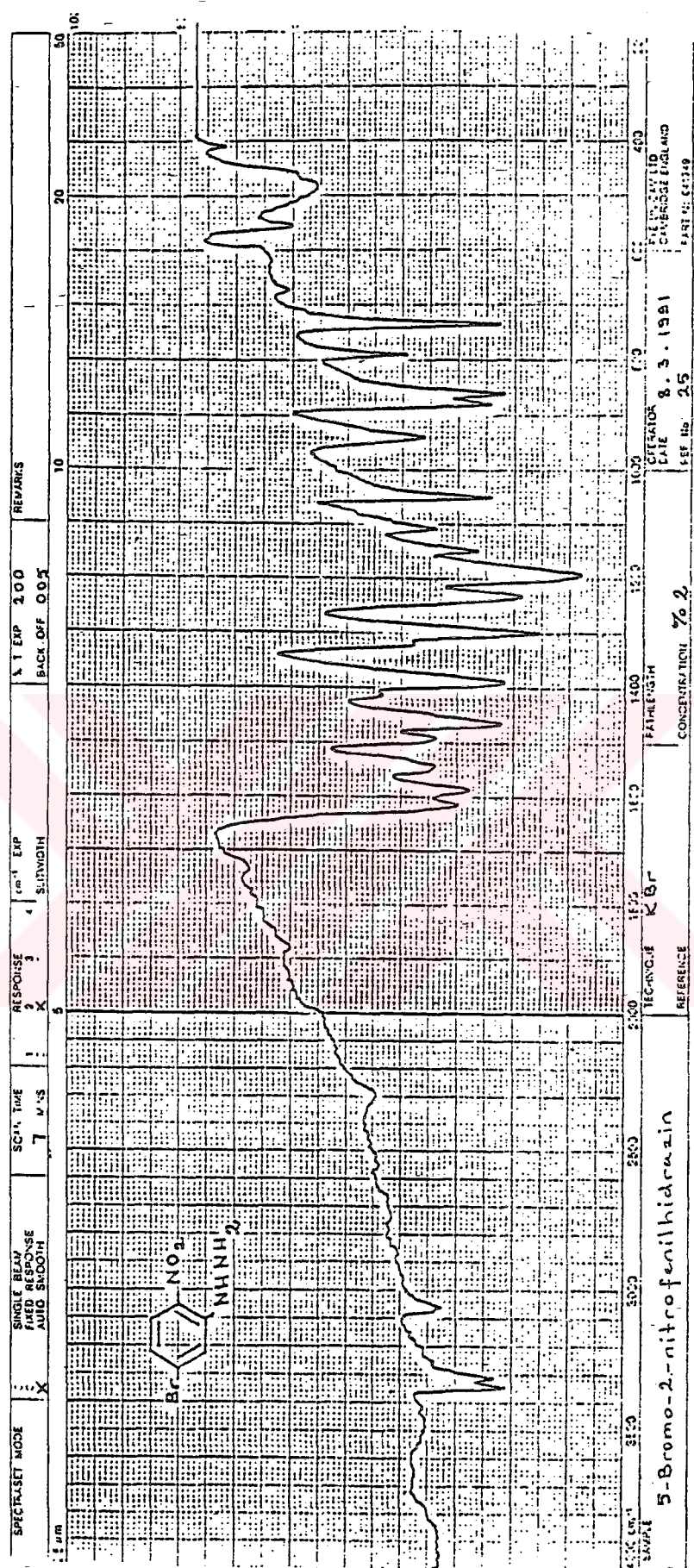
Çözünürlüğü:

Tulen	: Çözünür	Aseton	: Çözünür
Benzen	: Çözünür	Asetik asid	: Çözünür
Metilen klorür	: Çözünür	Karbon tetraklorür	: Sıcakta çözünür
Kloroform	: Çözünür	Etil alkol	: Sıcakta çözünür
Dietil eter	: Çözünür	Metil alkol	: Sıcakta çözünür
Etil asetat	: Çözünür		

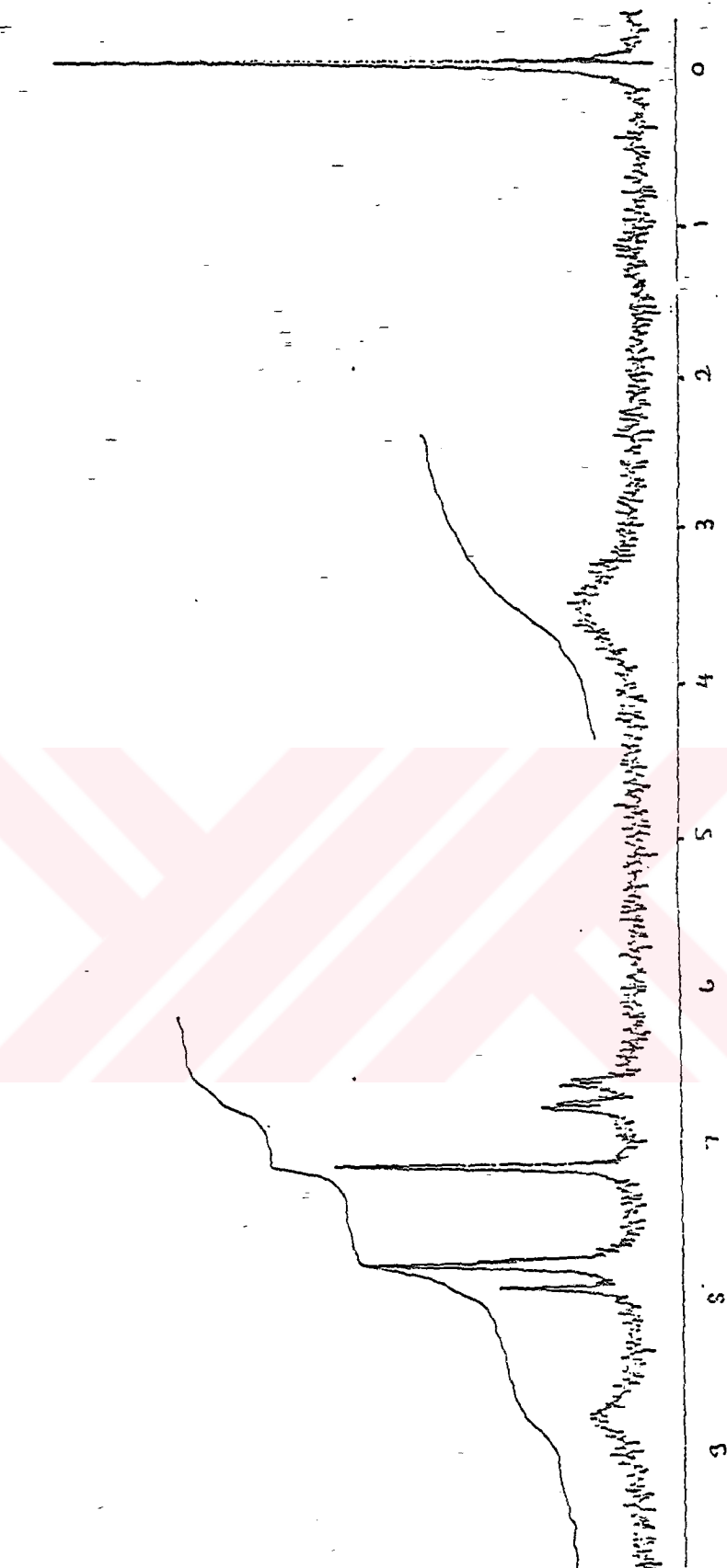
Spektroskopik Analiz Verileri [19-a]:

IR (potasyum bromür): 3320 (asimetrik N-H gerilimi), 3305 (simetrik N-H gerilimi), 3100-3000 (aromatik =C-H gerilimi), 1615-1585 (primer N-H eğilim bandı), 1540 (C=C halka gerilimi), 1460 (NO₂, N=O simetrik salınım bandı), 1300 (aromatik amin C-N gerilimi), 1190 (N-H makaslama), 1150 ve 1050 (düzlem içi C-H bozunma bandı), 880 ve 860 (1,2,4-trisubstitue halka, düzlem dışı C-H eğilim salınımı), 790 (N-H düzlem dışı bozunma bandı), 735 (C-Br gerilimi) cm⁻¹

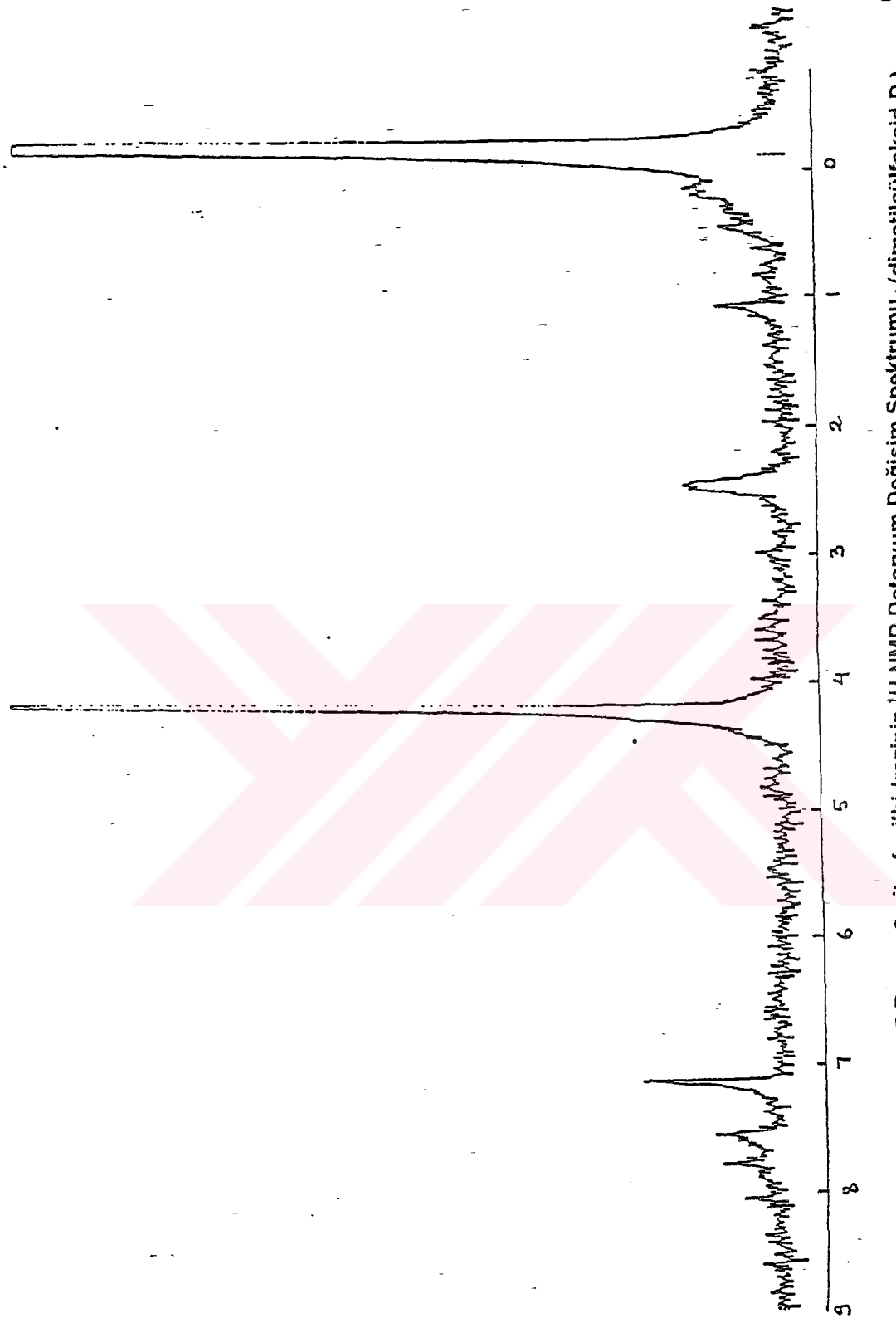
¹H NMR (dimetilsulfoksid-D₆): δ 4.25 (s, D₂O ile değişen H₂O), 7.12-8.05 (m, aromatik, 3H).



Sekil 3.7. 5-Bromo-2-nitrophenylhydrazin IR Spektrumu (KBr)



Şekil 3.8. 5-Bromo-2-nitrobenzimidazolinin ${}^1\text{H}$ NMR Spektrumu (kloroform-D)



Şekil 3.9. 5-Bromo-2-nitrofenilhidrazinin ${}^1\text{H}$ NMR Detoryum Değişim Spektrumu ($\text{dimetilsülfoksid}-\text{D}_6$)

3.3.2. 5-Kloro-2-nitrofenilhidrazin'in Hazırlanması:

m-Nitroanilin [16-b]

Karıştırılmakta olan ve kaynayıncaya kadar ısıtılan m-dinitrobenzen ve su karışımına şodyum polisülfürün sudaki çözeltisi 30-40 dakika içinde katıldı. Karışım yaklaşık bir saat daha kaynatıldı ve bir süre soğuması için bekletildikten sonra içine buz ilave edildi. Oluşan çökelti sızılıp soğuk su ile yıkandı ve seyrettiğ hidroklorik asid ile kısa bir süre kaynatılarak kükürtten ve reaksiyona girmemiş olan m-dinitrobenzenden kurtarıldı. Sıcak sızıntıye derişik amonyak çözeltisinin aşırısının katılmasıyla çöktürülen m-nitroanilin, aktif kömür ve sudan kristallendirme sonucu parlak sarı iğnemsi kristaller halinde elde edildi. en: 114°C (% 42).

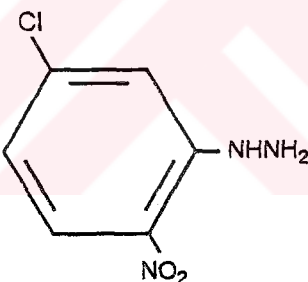
m-Kloronitrobenzen [16-c]

m-Nitroanilinden hazırlanan diazonyum tuzu çözeltisi, bakır (I) klorür çözeltisine 25-30°C de ilave edildi. Karışım azot buharları çıkışına kadar bir süre geri soğutucu altında karıştırılarak ısıtıldıktan sonra su buharı destilasyonu uygulanlığında ele geçen m-kloronitrobenzen etil alkolden kristallendirildi. Açık sarı kristaller en: 44-45°C (% 42).

3,4-Dinitroklorobenzen [17]

3,4-Dinitrobromobenzen'in elde edilmesinde uygulanan ikinci kez nitrolama işlemine göre hazırlandı. Etil alkolden kristallendirme sonucu renksiz kristaller elde edildi, en: 38-39°C (% 54).

5-Kloro-2-nitrofenilhidrazin (2) [18]



Hidrazin hidratın alkoldeki çözeltisi, 3,4-dinitroklorobenzenin alkoldeki çözeltisine katıldığında oluşan koyu kırmızı renkteki çözelti su banyosu üzerinde kaynayıncaya kadar ısıtıldı. Soğutulmaya bırakılan karışımından oluşan koyu portakal renkli iğnemsi 5-kloro-2-nitro fenilhidrazin etil alkolden tekrar kristallendirildi. en: 160-161°C (% 93).

Çözünürlüğü:

Toluen	: Çözünür	Aseton	: Çözünür
Benzen	: Çözünür	Asetik asid	: Çözünür
Metilen klorür	: Çözünür	Karbon tetraklorür	: Sıcacta Çözünür
Kloroform	: Çözünür	Etil alkol	: Sıcacta Çözünür
Dietil eter	: Çözünür	Metil alkol	: Sıcacta Çözünür
Etil asetat	: Çözünür		

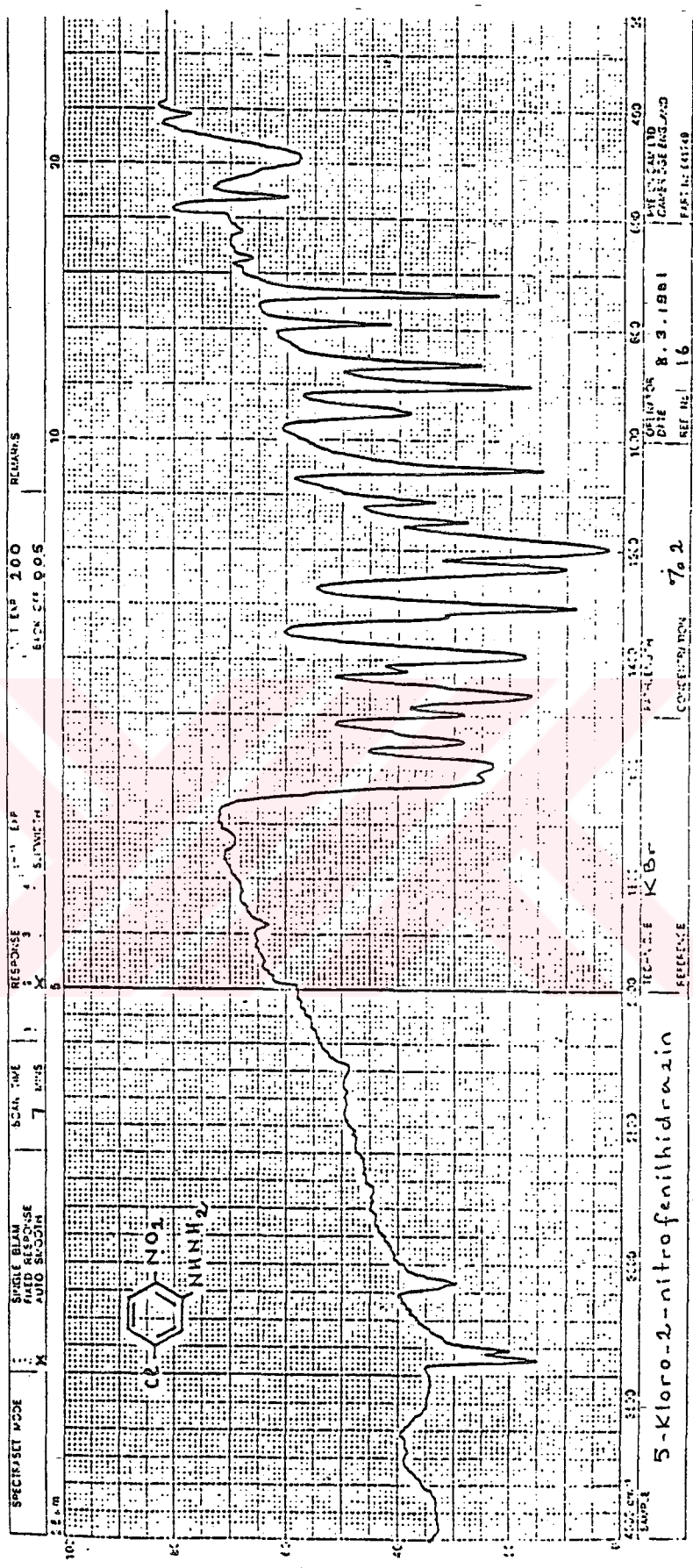
Spektroskopik Analiz Verileri [19-b]:

IR (potasyum bromür): 3330 (asimetrik N-H gerilimi), 3310 (simetrik N-H gerilimi), 3110-3000 (aromatik =C-H gerilimi), 1620-1590 (primer N-H eğilim bandı), 1550 (C=C halka gerilimi), 1465 (NO₂, asimetrik N=O salınım bandı), 1390 (NO₂, simetrik N=O salınım bandı), 1305 (aromatik amin C-N gerilimi), 1195 (N-H makaslama), 1150 ve 1055 (düzlem içi C-H bozunma bandı), 900 ve 865 (1,2,4-trisubstitue halka, düzlem dışı C-H eğilim salınmaları), 790 (N-H düzlem dışı bozunma bandı) 740 (C-Cl gerilimi) cm⁻¹

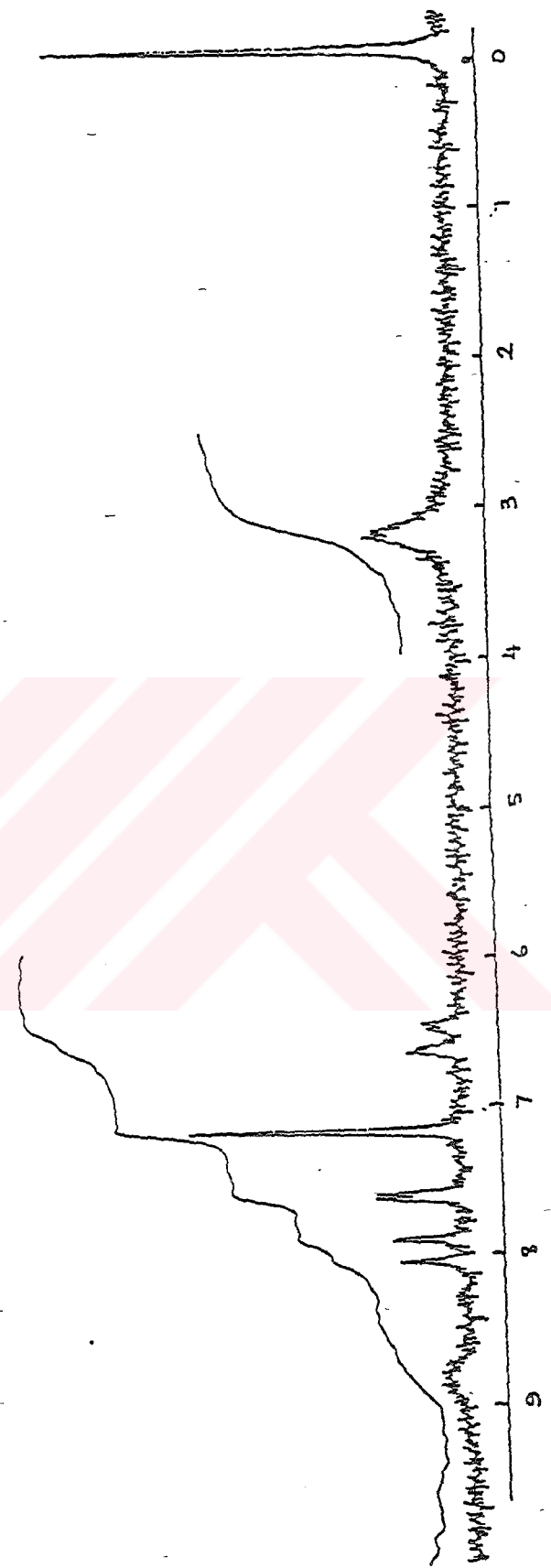
¹H NMR (kloroform-D): δ 3.21 (s, NH₂, 2H), 6.46-8.04 (m, aromatik, 3H), 8.82 (s, NH, 1H).

Deuterium değişimi için:

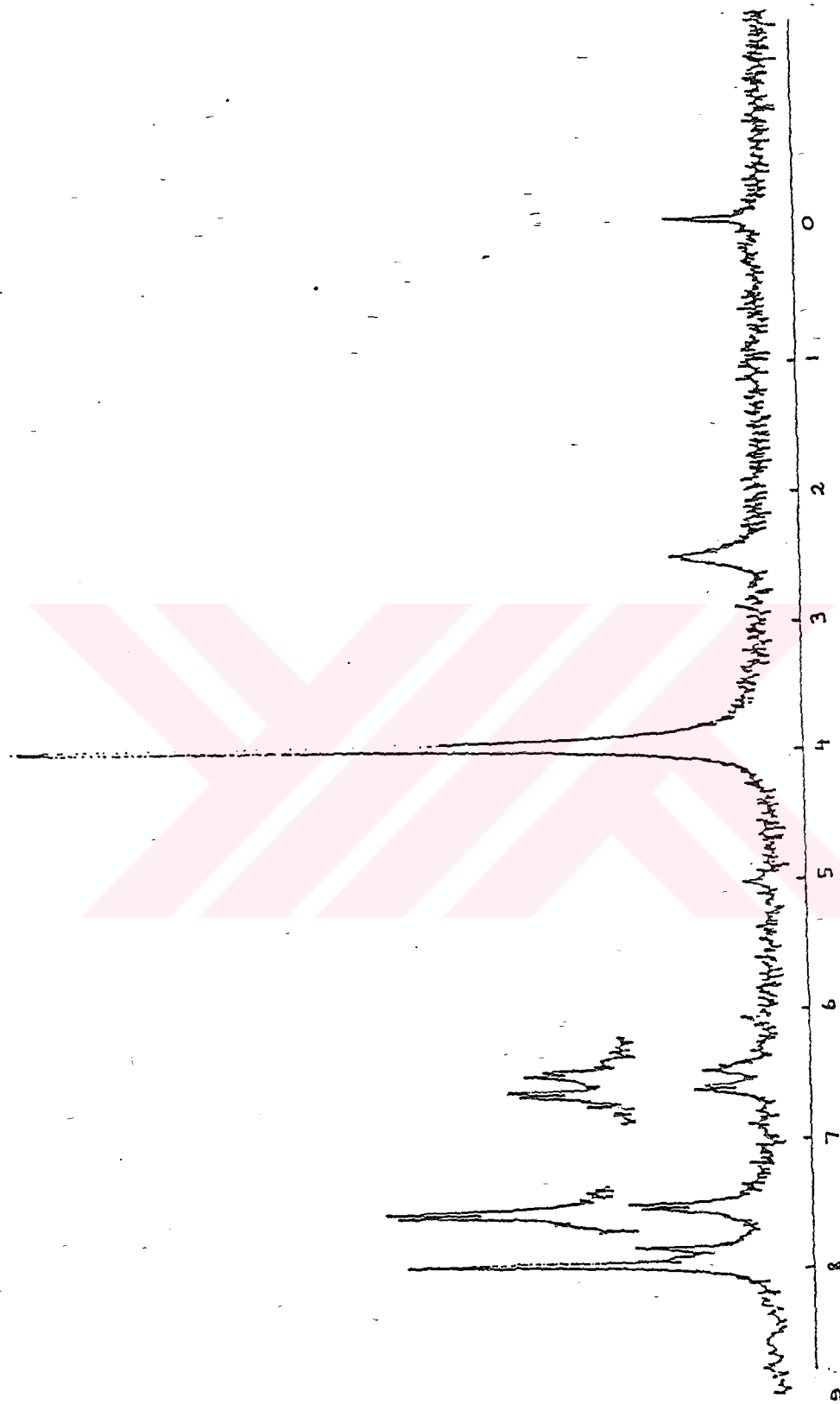
¹H NMR (dimetil sulfoksid-D₆): δ 3.95 (s, D₂O ile değişen, H₂O), 6.45-7.95 (m, aromatik, 3H).



Şekil 3.10. 5-Kloro-2-nitrofenilhidrazinin IR Spektrumu (KBr)



Şekil 3.11. 5-Kloro-2-nitrofenilhidrazinin ${}^1\text{H}$ NMR Spektrumu (Kloroform-D)



Şekil 3.12. 5-Kloro-2-nitrofenilhidrazinin ${}^1\text{H}$ NMR Detoryum Değişim Spektrumu (dimetilsülfoksid- D_6)

3.3.3. 2,4-Dimetilsenilhidrazin hidroklorür hidrat (3):

(Aldrich, 32. 428-0)

Özellikleri: [10, 13]

Erimme noktası : 184°C (boz.)

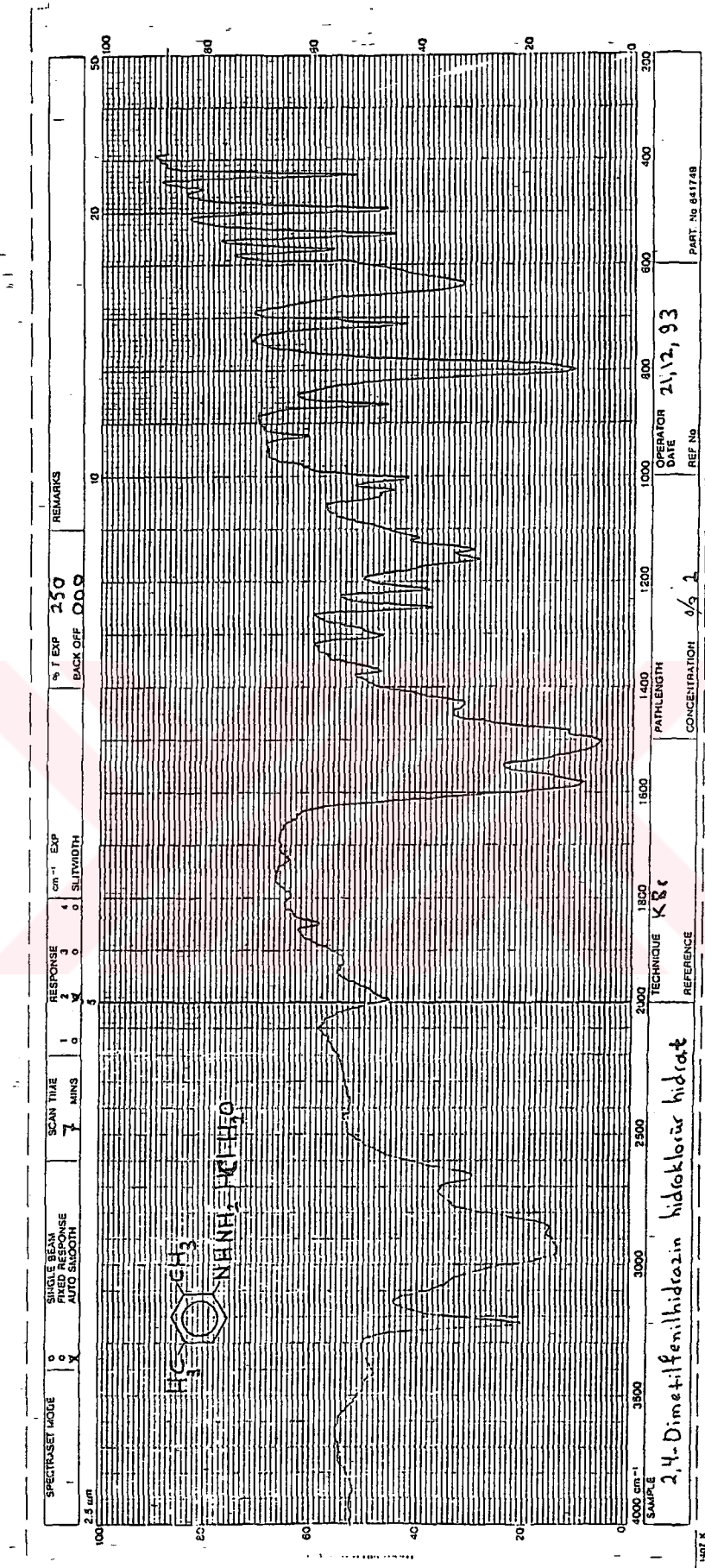
Çözünürlüğü:

Dietil eter : Çözünür
Etil alkol : Çözünür
Su : Çözünür

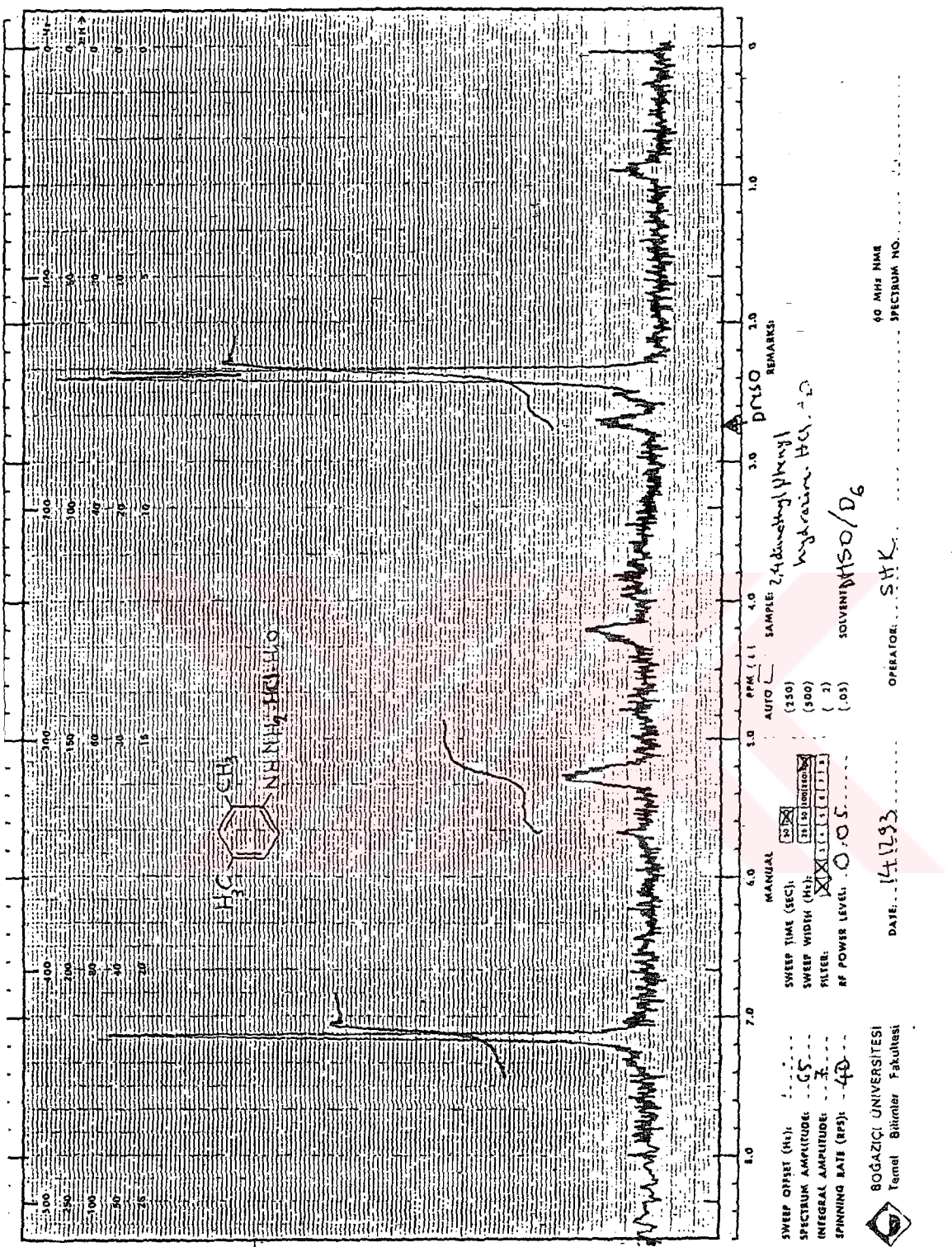
Spektroskopik Analiz Verileri:

IR (KBr): 3420 (asimetrik, N-H gerilimi), 3230 (simetrik, N-H gerilimi), 3140-3000 (aromatik, =C—H gerilimi), 3000-2800 (alifatik, C—H gerilimi), 1580 ve 1510 (aromatik halka, C=C gerilimi), 800 (substitue halka,düzlem dışı =C—H eğilim salınımı) cm⁻¹

¹H NMR (dimetilsülfoksid-D₆): δ 2.33 (s, 2-CH₃, 3H), 2.40 (s, 4-CH₃, 3H), 4.20 (s, NH, 1H), 5.29 (s, NH₂, 2H), 7.13 (s, aromatik, 3H).



Şekil 3.13. 2,4-Dimetilfenilhidrazin hidroklorür hidratın IR Spektrumu (KBr)



Şekil 3.14. 2,4-Dimetylfenilhidrazin hidroklorür hidratın ^1H NMR Spektrumu (dimetilsülfoksit- D_6)

3.4. PIRAZOL TÜREVLERİNİN SENTEZİ İÇİN YAPILAN DENEYSEL ÇALIŞMALAR

Çalışmanın esası mezomerik ya da indüktif etkisi olan fenil, klor ve metil gibi substituentleri içeren 1,3-dikarbonil bileşikeri ile bağlı bulunduğu aromatik halkayı deaktive eden nitro ve halojen grupları veya aktive eden metil gruplarını bulunduran fenilhidrazinler arasındaki reaksiyonlar olup, özellikle monohidrazonların oluşumunu takiben halka kapanması sonucu substitue pirazollerin sentezlenmesi amaçlanmıştır.

Araştırmada, kullanılan reaktiflerden 5-bromo-2-nitro ve 5-kloro-2-nitrofenilhidrazinin preparatif olarak hazırlanmasından sonra kaynak taramalarından sağlanan bilgiler de gözönüne alınarak çözücü, katalizör, sıcaklık ve reaksiyon süresi gibi çeşitli koşullar denenmek suretiyle sentezlerin iyi bir verimle gerçekleştirilemeye çalışılmıştır. Bu nedenle, sentezlenen dokuz yeni bileşik için yapılan yaklaşık seksen cıvarındaki deneme den sonra her biri için optimum reaksiyon koşulları belirlenmiştir.

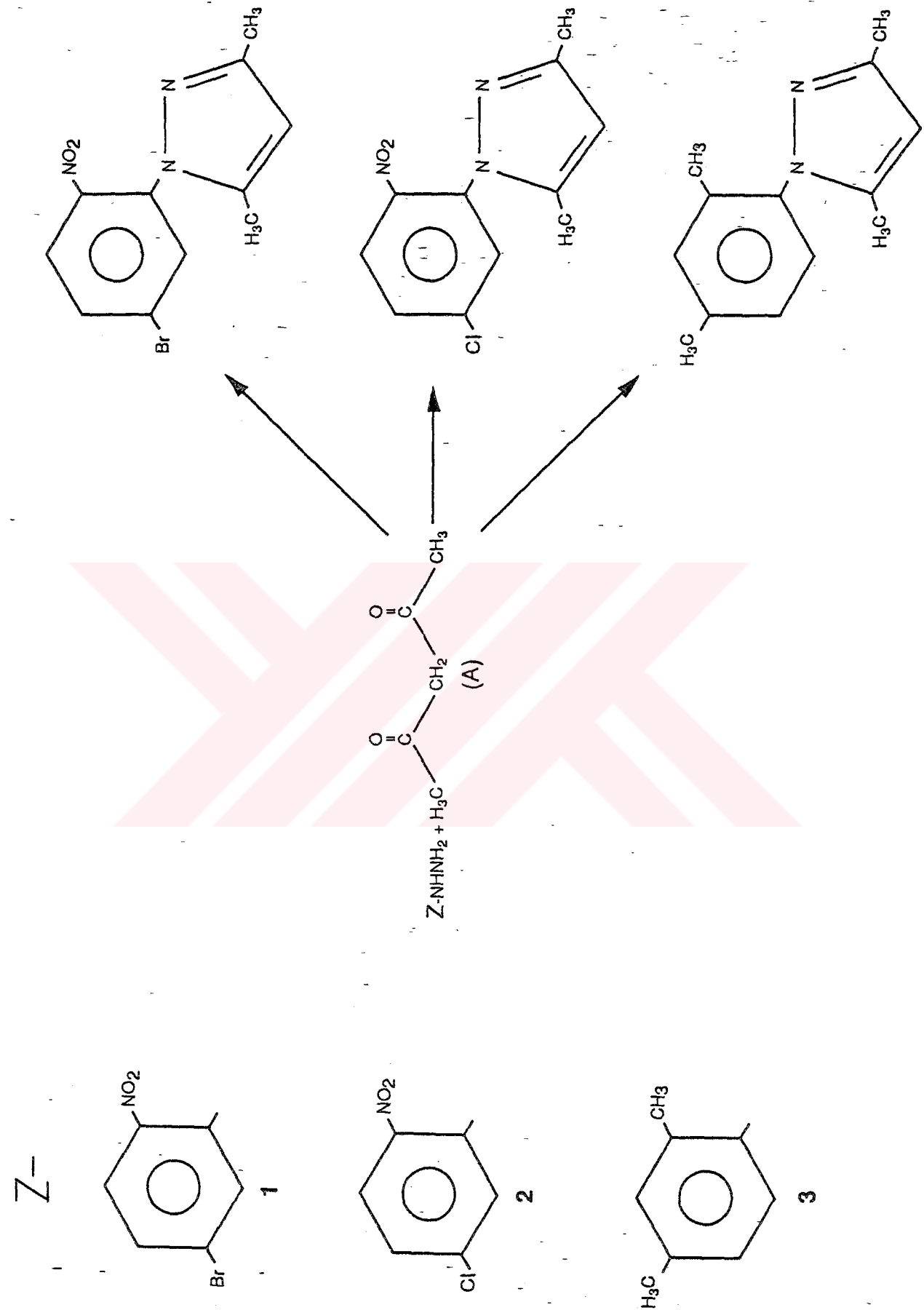
Reaksiyonların tümünde, substrat ve reaktiflerin çözünebileceği ortak çözücü olarak belirlenmiş olan etil alkol, hidrazen oluşumunu takiben gerçekleştirilen halka kapanması işleminde geri dönüşlü hidroliz olayını engelleyebilmek amacıyla özellikle susuz hale getirilerek kullanıldı.

Sentezlerin tamamlanma zamanını saptayabilmek amacıyla yapılan çalışmalarla, reaksiyon karışımının geri soğutucu altında kaynatılması sırasında hem çözelti renjinin değişim dönemleri gözlenildi ve hem de TLC kontrolü altında başlangıç maddelerinin tamamı ürüne dönüşünceye kadar ısıtmaya devam edildi.

Özellikle, substrat olarak asetilaseton ile dibenzoylmethanın ve reaktif olarak da 5-bromo-2-nitrofenilhidrazin ile 5-kloro-2-nitrofenilhidrazinin kullanıldığı pirazol sentezlerinde oluşan monohidrazonların genel reaksiyon koşulları altında çok az bir yüzde ile halka kapanmasına uğradıkları gözlenildiğinden reaksiyonu kolaylaştırmak ve hızlandırmak amacıyla katalizör olarak sulfat asidi kullanıldı.

Uygun koşulların sağlanmasıyla elde edilen yeni bileşiklerin her biri için substrat ve reaktiflerle karşılaştırılmış TLC kontrolü farklı geliştirme çözümleri ve değişik oranları daki karışımı denenmek suretiyle yapıldı. Bu nedenle ham ürünün ve başlangıç maddelerinin metilen klorürdeki % 1'lik çözeltileri oluşturularak hazırlanan örnekler sırayla petrol eteri, hekzan, karbon tetraklorür, toluen, benzen, kloroform, etil asetat, aseton ve etanolde denendi; ve tüm bileşikler için en uygun geliştirme çözücüsünün toluen olduğu saptandı.

Kromatografik çalışmalar sonucunda tamamıyla saf olduğu gözlenilen ham ürünlerin yapılarının infrared, ultraviyole, nükleer manyetik rezonans, kütle ve elementel analiz yöntemleriyle aydınlatılabilmesi için analitik saflıkta örnekler hazırlandı. Bu nedenle A-3 ve B-3 hariç diğerleri için tekrar kristallendirme işlemi en uygun yöntem olarak belirlendi ve sırayla petrol eteri, hekzan, karbon tetraklorür, benzen, etil asetat, etil alkol, izopropil alkol, izobutil alkol gibi çeşitli organik çözümler ile yapılan denemeler sonucunda her bir bileşik için en uygun olan çözgen seçildi. Erime noktası düşük olan ve bu nedenle her seferinde yağışlı kristaller halinde ele geçen B-3 bileşiği süblimasyonla, lıqid haldeki A-3 bileşiği de yakum altında destillenerek saflaştırıldı. Üç kez tekrar kristallendirme ile sağlanan diğer saf bileşiklerle birlikte bütün ürünler çeşitli nedenlerle bulunabilecek eser miktarındaki sudan ya da içerebilcekleri kristallendirme çözücüsünden kurtarılmak üzere uygun sıcaklıkta kurutularak vakum desikatöründe koruma altına alındı.



Şekil 3.15. 2,4-Pentandion ile genel reaksiyon denklemi

3.5. YENİ BİLEŞİKLERİN ELDE EDİLME YÖNTEMLERİ VE BULGULAR

3.5.1. 1-(5-Bromo-2-nitrofenil)-3,5-dimetilpirazol (A-1):

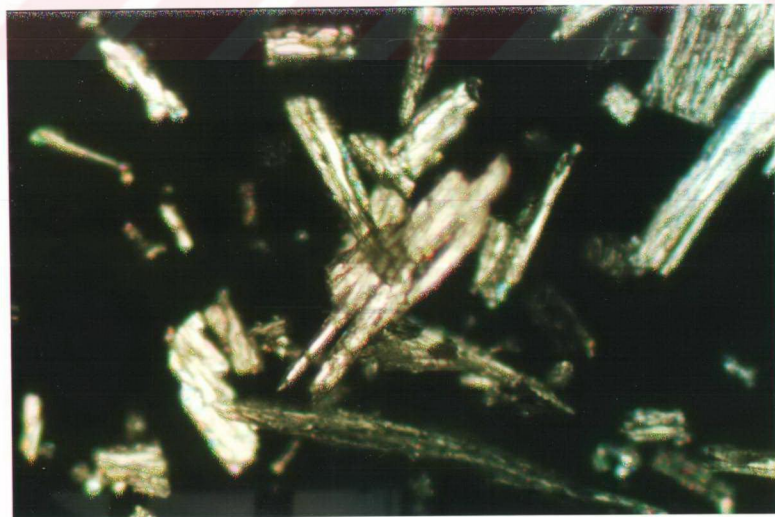


1.0 mmol (97.5 mg) 2,4-pentandion'un (A) 4 ml susuz etil alkoldeki çözeltisi 0.5 mmol (116.0 mg) 5-bromo-2-nitrofenilihidrazin'in (1) 15 ml susuz etil alkoldeki çözeltisine katıldı. Damla damla derişik sulfat asidi ilave edilerek pH=2 yapılan ve rengi kırmızı-turuncudan sarıya dönen bu reaksiyon karışımı geri soğutucu altında su banyosu üzerinde dört saat kaynatıldı. Isıtma işlemi sonucunda rengi açık sarı olan çözeltinin buzlu suya dökülmesiyle oluşan kristaller sızıldı. Kurutulduktan sonra, metilen klorürde çözülecek başlangıç maddeleri ile karşılaştırmalı TLC kontrolü toluende yapıldı.

0.0676 g (%65) renksiz ince çubuk kristaller, e.n. 109-10°C (1:1 etil alkol-su karışımında üç kez kristallendirerek).

Çözünürlüğü:

n-Hekzan	: Sıcakta çözünür	Dietil eter	: Çözünür
Benzen	: Çözünür	Aseton	: Çözünür
Metilen klorür	: Çözünür	Etil alkol	: Çözünür
Kloroform	: Çözünür	Asetik asid	: Çözünür



Şekil 3.16. Bileşik A-1'in kristal fotoğrafı (x 6.3)

3.5.1.1. "Bileşik A-1"in Spektroskopik ve Elementel Analiz Sonuçları:

IR (potasyum bromür): 3110 (aromatik, =C-H gerilimi), 3000-2820 (metil, C-H gerilimi), 1585 ve 1560 ve 1480 (azotlu heteroçöklik, C=C ve C=N gerilimi), 1515 ve 1335 (NO₂, asimetrik ve simetrik N=O salınımı), 845, 795 ve 720 (substitue haika,düzlem dışı =C-H eğilim salınımı), 495 (C-Br gerilimi) cm⁻¹.

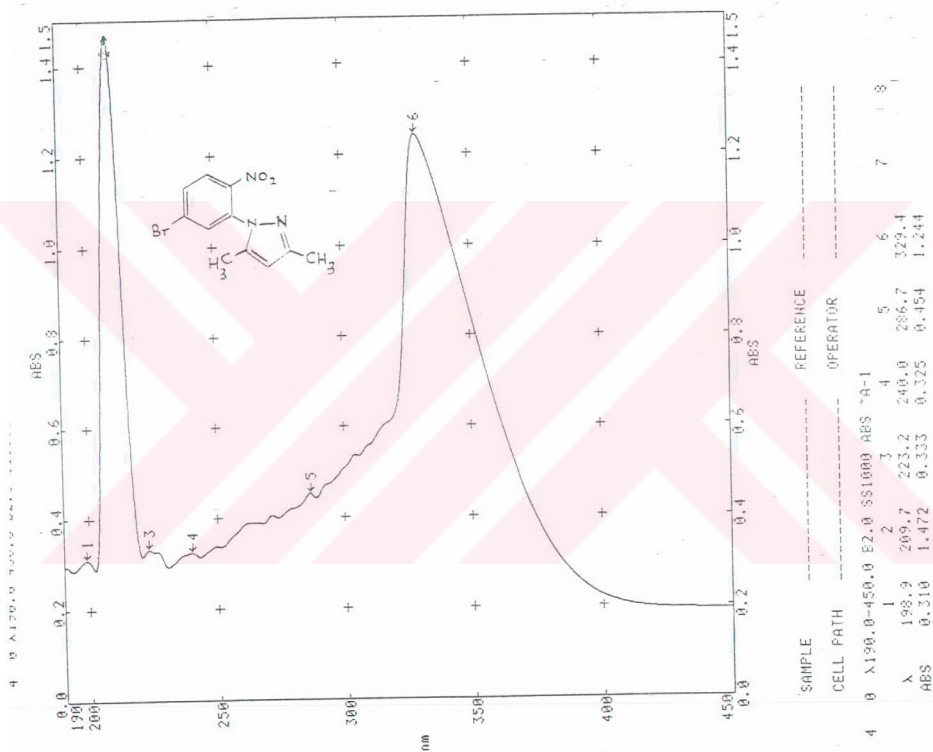
¹H NMR (kloroform-D): δ 2.15 (s, pirazol 3-CH₃, 3H), 2.20 (s, pirazol 5-CH₃, 3H), 5.98 (s, CH, 1H), 7.15-8.10 (m, aromatik, 3H).

UV (aseton): λ_{max} 209.7, 329.4 nm.

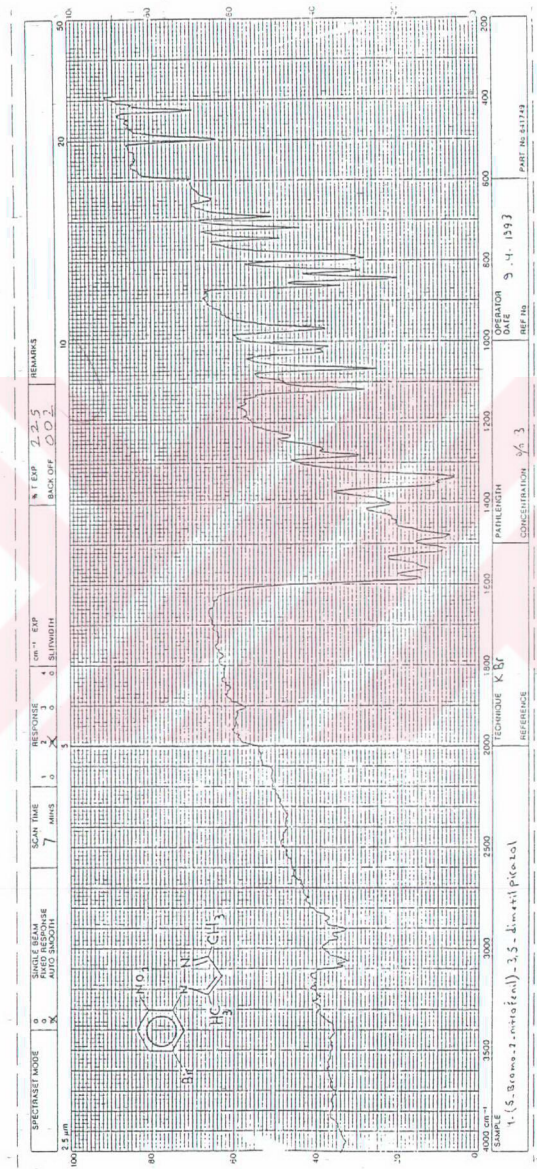
MS: m/z (bağılı şiddet) 298 (M+2, 1.2), 297 (M+1, 4), 296 (M⁺, 1.5), 95 (32.2), 43 (99.9).

Elementel Analiz : C₁₁ H₁₀ Br N₃ O₂ (296.122)

Hesaplanan	:	C 44.61	H 3.40	N 14.19
Bulunan	:	C 44.39	H 3.45	N 14.04

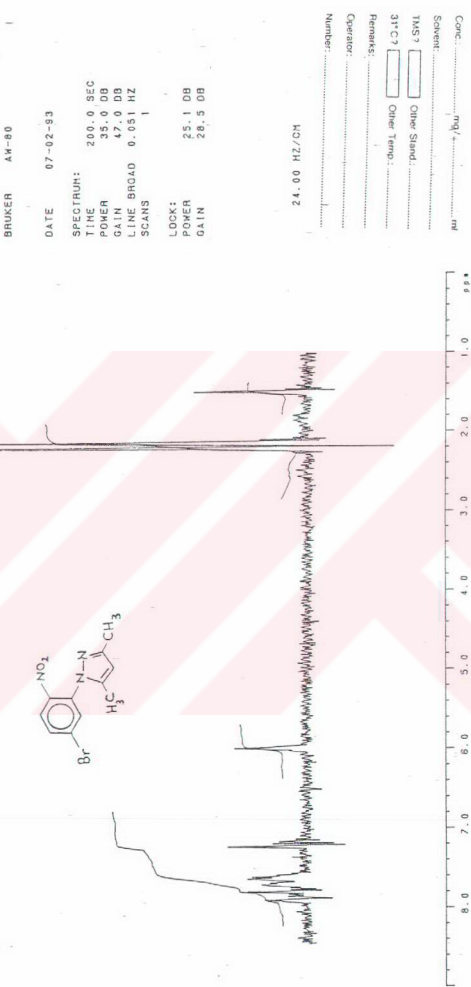


Şekil 3.17. Bileşik A-1'in UV Spektrumu (aseton)

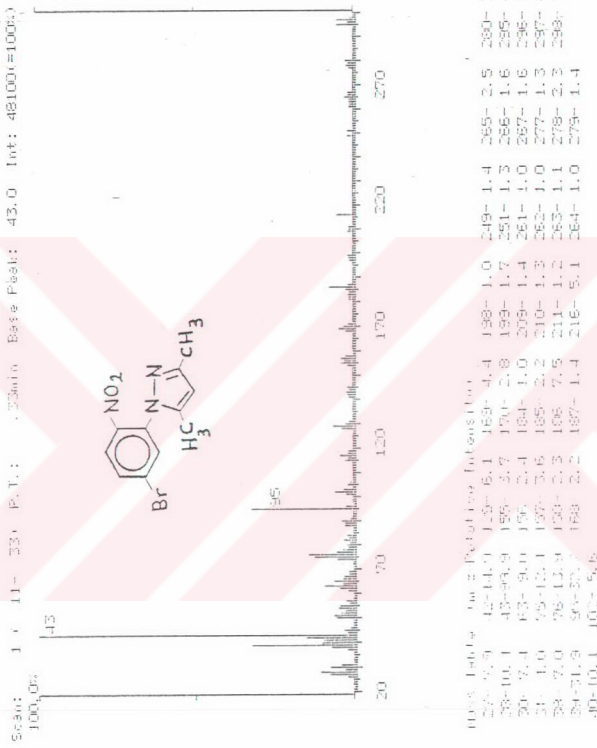


Şekil 3.18. Bileşik A-1'in IR Spektrumu(KBr)

Cone: A_0 mg, 0.7 ml
 Solvent: $CDCl_3$
 TMS? Other Stand:
 31°C? Other Temp:
 Remarks:
 Operator: $\Delta_{17}, \eta_{15}, \zeta_{15}$
 Number: Nrc. 23

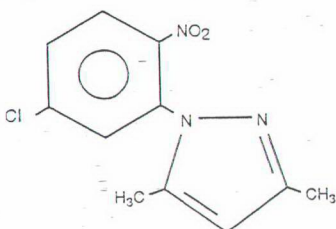


Şekil 3.19. Bileşik A-1'in 1H NMR Spektrumu(kloroform-D)



Şekil 3.20. Bileşik A-1'in MS Spektrumu

3.5.2. 1 - (5-Kloro-2-nitrofenil)-3,5-dimetilpirazol (A-2):

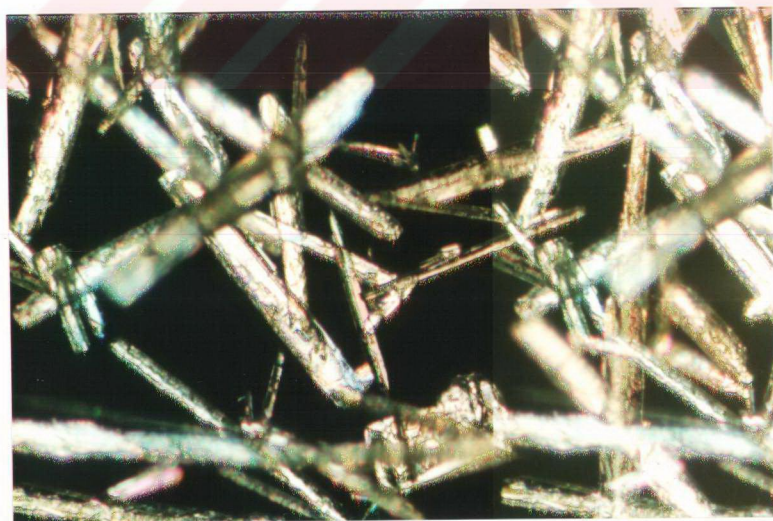


1.0 mmol (97.5 mg) A'nın 4 ml susuz etil alkoldeki çözeltisine 0.5 mmol (93.8 mg) 5-kloro-2-nitrofenilihidrazin'in (2) 15 ml susuz etil alkoldeki çözeltisi katıldı. pH=2 olunca-ya kadar damla damla derişik sulfat asidi ilave edilen bu kırmızı-turuncu renkli reaksiyon karışımı bir buz banyosunda -2°C'de tutularak bir büyük saat karıştırıldıktan sonra geri soğutucu altında su banyosu üzerinde dört saat kaynatıldı. Buzlu suya dökülen açık sarı renkli çözeltiden oluşan ham ürün süzüleerek kurutuldu. Başlangıç maddeleri ile karşılaş-tırmalı TLC kontrolü metilen klorürde çözülkerek toluende yapıldı.

0.083 (% 71) renksiz ince çubuk kristaller, e.n. 110°C (1:1 etil alkol-su karışımının üç kez kristallendirerek).

Çözünürlüğü:

n-Hekzan	: Sıcaktan çözünür	Dietil eter	: Çözünür
Benzen	: Çözünür	Aseton	: Çözünür
Metilen klorür	: Çözünür	Etil alkol	: Çözünür
Kloroform	: Çözünür	Asetik asid	: Çözünür



Şekil 3.21. Bileşik A-2'nin kristal fotoğrafı (x 6.3)

3.5.2.1 "Bileşik A-2"nin Spektroskopik ve Elementel Analiz Sonuçları:

IR (potasyum bromür): 3100-3000 (aromatik, =C-H gerilimi), 3000-2880 (metil-C-H gerilimi), 1590-1565 ve 1490 (azotlu heteroçökük, C=C ve C=N gerilimi), 1520 ve 1345 (NO₂, asimetrik ve simetrik N=O salınımlı), 850, 800 ve 725 (substitue halka, düzlem dışı =C-H eğilim salınımlı), 690 (C-Cl gerilimi) cm⁻¹.

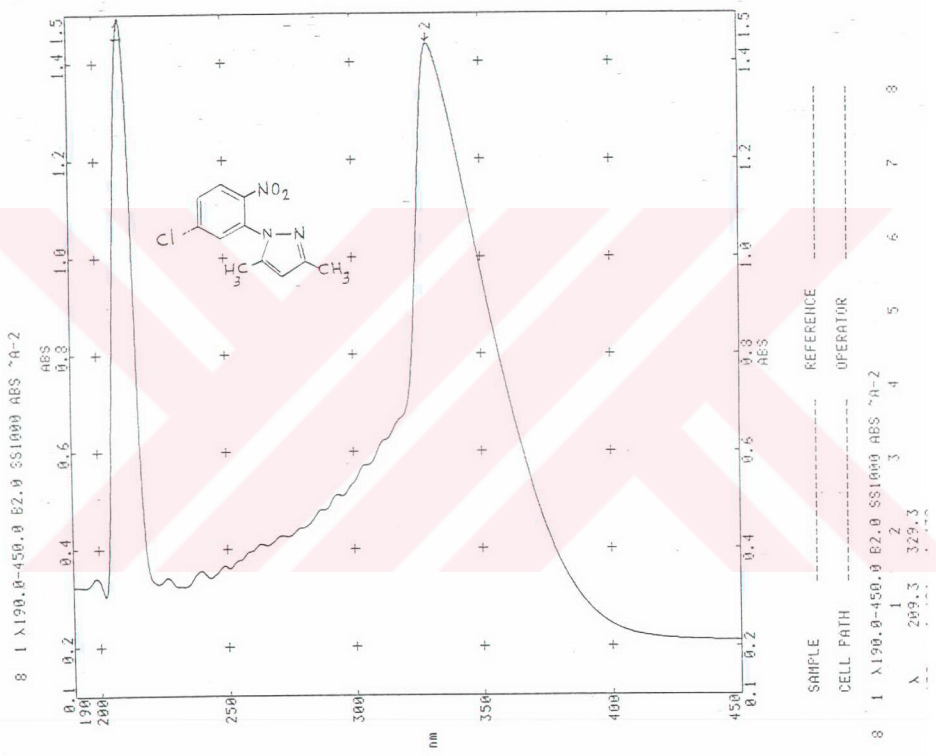
¹H NMR (kloroform-D): δ 2.15 (s, pirazol 3-CH₃, 3H), 2.22 (s, pirazol 5-CH₃, 3H), 6.00 (s, CH, 1H), 7.20-8.05 (m, aromatik, 3H).

UV (aseton): λ_{max} 209.3, 329.3 nm.

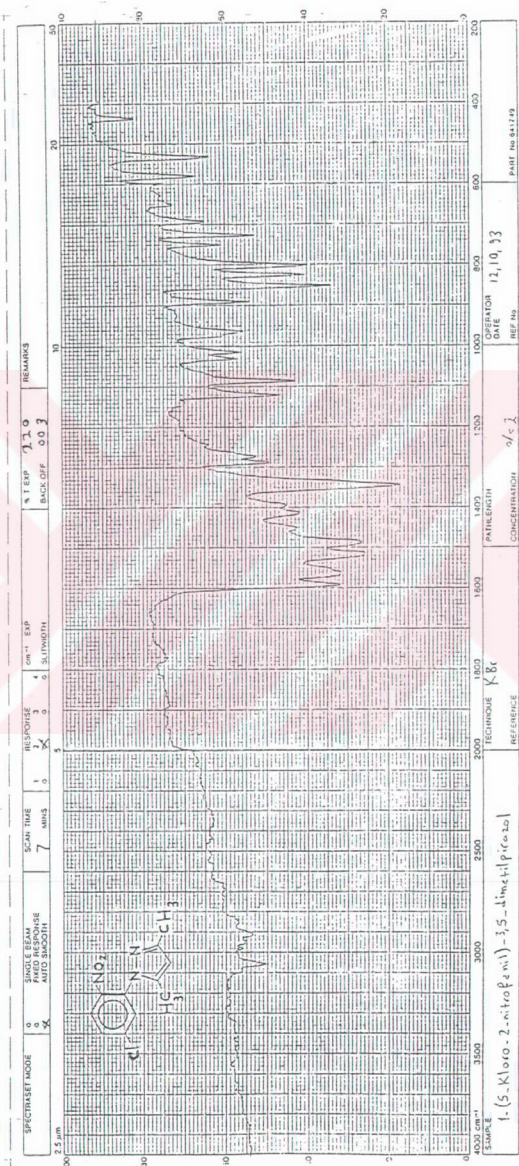
MS: m/z (bağıl şiddet) 253 (M+2, 3.5), 252 (M+1, 1.8), 251 (M*, 10.5), 95 (34.1), 43 (99.9).

Elementel Analiz : C₁₁ H₁₀ Cl N₃ O₂ (251.671)

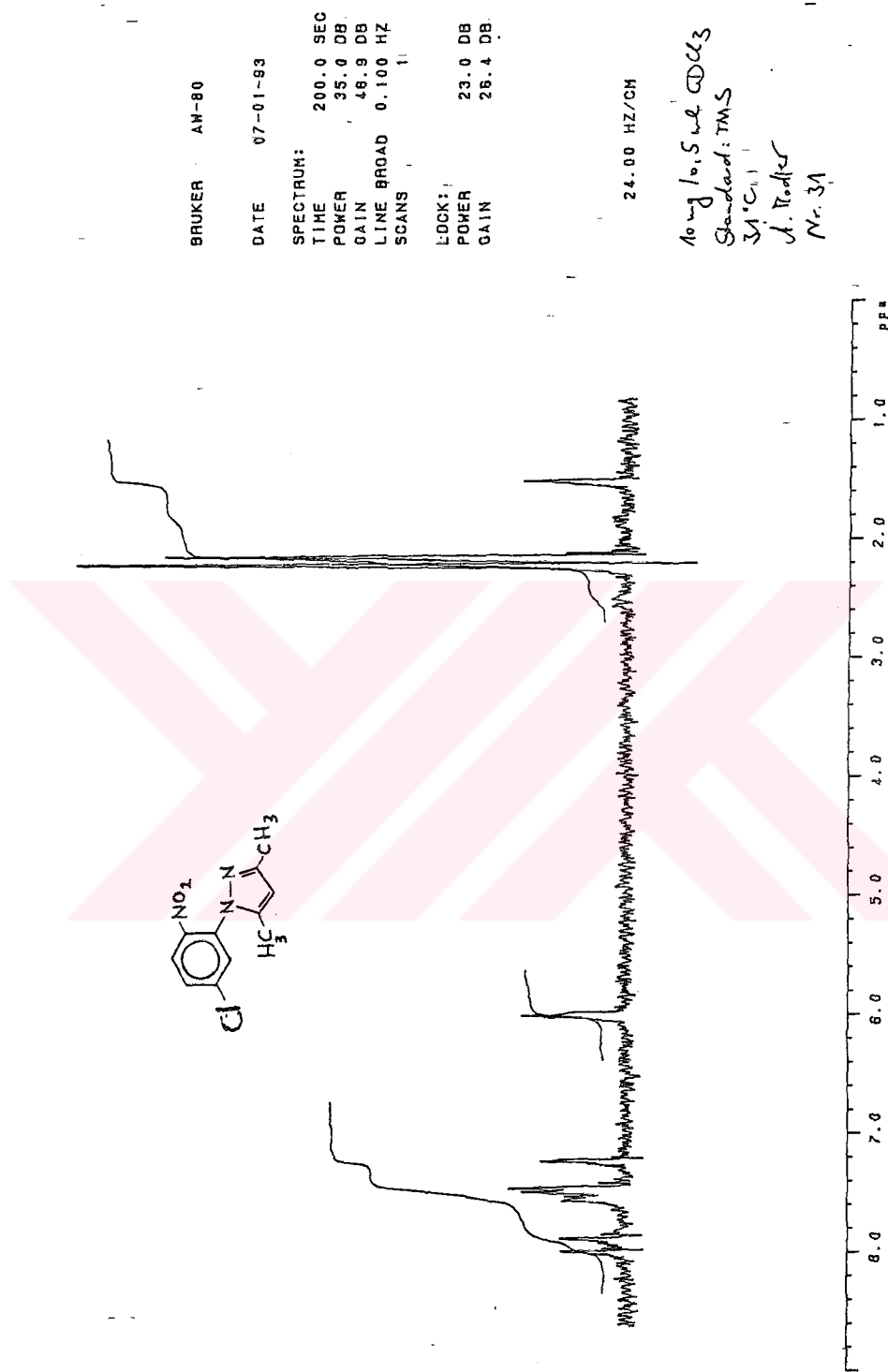
Hesaplanan	:	C 52.49	H 4.00	N 16.69
Bulunan	:	C 52.27	H 4.06	N 16.42



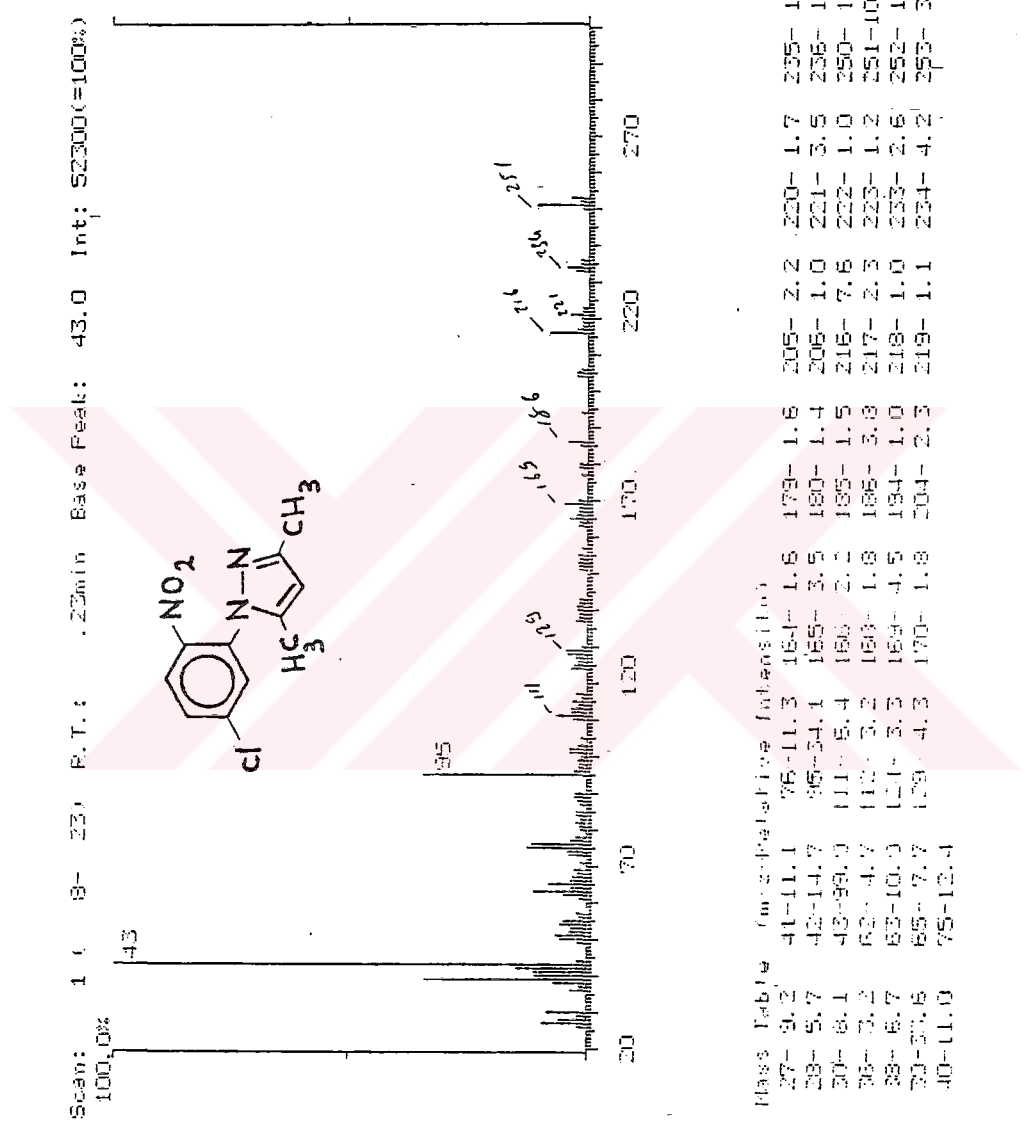
Şekil 3.22. Bileşik A-2'nin UV Spektrumu (aseton)



Şekil 3.23. Bileşik A-2'nin IR Spektrumu (KBr)

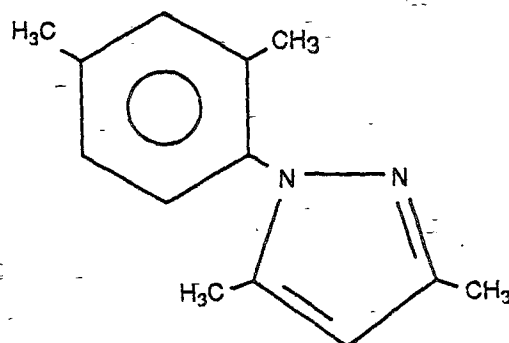


Şekil 3.24. Bileşik A-2'nin ¹H NMR Spektrumu (kloroform-D)



Şekil 3.25. Bleşik A-2'ının MS Spektrumu

3.5.3 1-(2,4-Dimetilfenil)-3,5-dimetilpirazol (A-3):



7.5 mmol (731.0 mg) A'nın 2 ml etil alkoldeki çözeltisine 5.0 mmol (863.0mg) 2,4-dimetilfenilhidrazin'in (3) 8 ml sıcak etil alkol ve çözünunceye kadar destile su ilavesiyle oluşan çözeltisi katıldı. Kırmızı-turuncu renkli bu reaksiyon karışımı buz banyosunda soğutularak -2°C'de bir saat karıştırdı. Buz banyosunun uzaklaştırılmasını takiben oda sıcaklığına gelen reaksiyon karışımı geri soğutucu altında su banyosu üzerinde bir saat kaynatıldıktan sonra buzlu suya döküldü, dietil eter ile ekstrakte edildi. Susuz sodyum sulfat ile kurutulan eter fazından eter uçurulduktan sonra ele geçen likid ham ürünün başlangıç maddeleri ile karşılaşmalı TLC kontrolü metilen klorürde çözülerek toluende yapıldı.

0.720 g (% 72) açık sarımsı yeşil likid, k.n. 130-140°C / 2 mmHg, 260-265°C / 760 mmHg, $n_{D}^{25} = 1.5431$ (Vakumda destillenerek).

D

Çözünürlüğü:

n-Hekzan	: Sıcakta çözünür	Dietil eter	: Çözünür
Benzen	: Çözünür	Aseton	: Çözünür
Metilen klorür	: Çözünür	Etil alkol	: Çözünür
Kloroform	: Çözünür	Asetik asid	: Çözünür

3.5.3.1. "Bileşik A-3"ün Spektroskopik ve Elemental Analiz Sonuçları:

IR (film): 3130-3000 (aromatik, =C-H gerilimi), 3000-2760 (metil, C-H gerilimi), 1535 ve 1495 (azotlu heteroçöklik, C=C ve C=N gerilimi), 810 ve 765 (substitue halka, düzlem dışı =C-H eğilim salınımı) cm⁻¹.

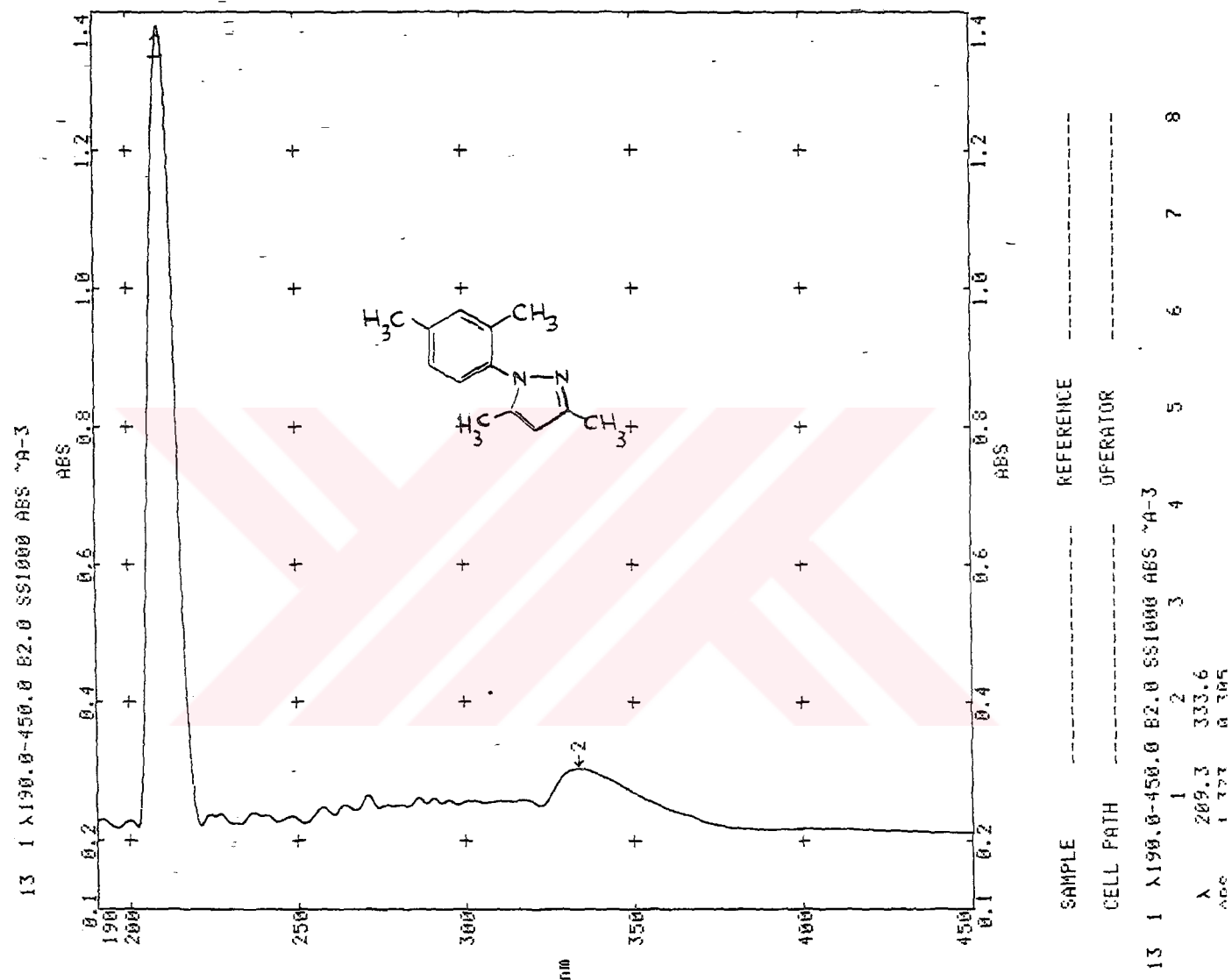
¹H NMR (kloroform-D): δ 2.00 (s, pirazol 3-CH₃, 3H), 2.06 (s, pirazol 5-CH₃, 3H), 2.30 (s, fenil 2-CH₃, 3H), 2.38 (s, fenil 4-CH₃, 3H), 5.94 (s, CH, 1H), 7.02-7.28 (m, aromatik, 3H).

UV (aseton): λ_{max} 209.3, 333.6 nm.

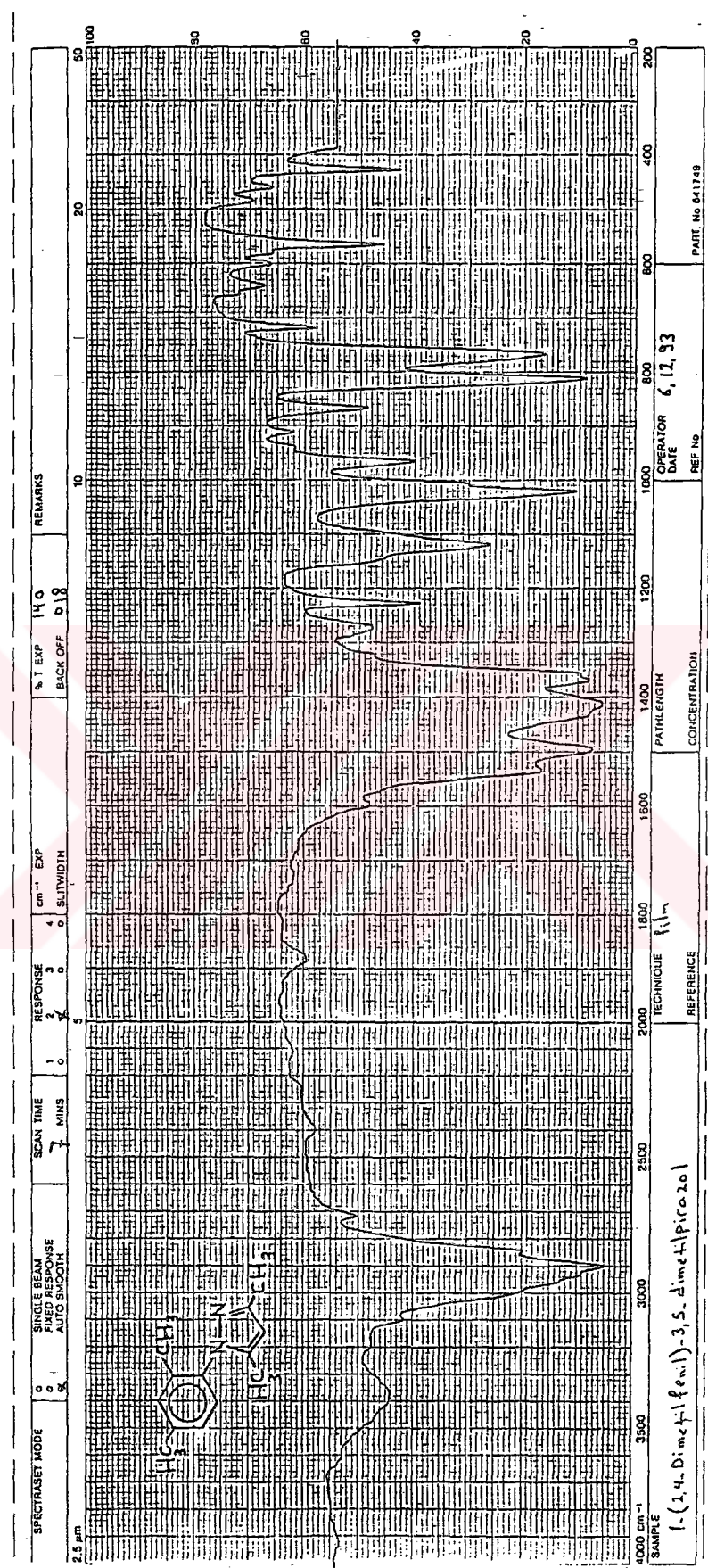
MS: m/z (bağlı şiddet) 201 (M+1, 14), 200 (M⁺, 100), 199 (13), 185 (96), 170 (8), 158 (44), 95 (3).

Elemental Analiz : C₁₃ H₁₆ N₂ (200.282)

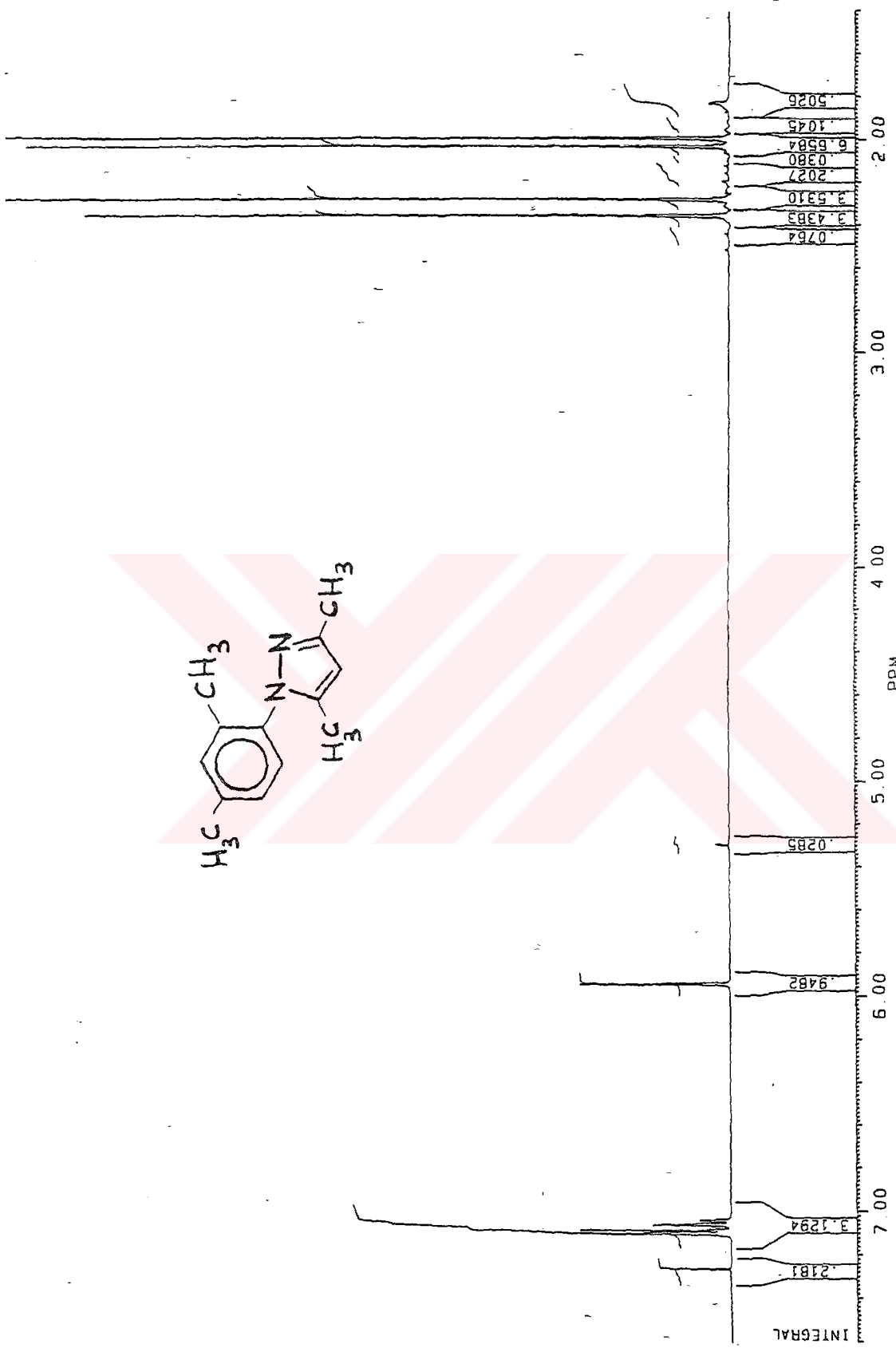
Hesaplanan	:	C 77.96	H 8.05	N 13.98
Bulunan	:	C 78.15	H 7.97	N 13.86



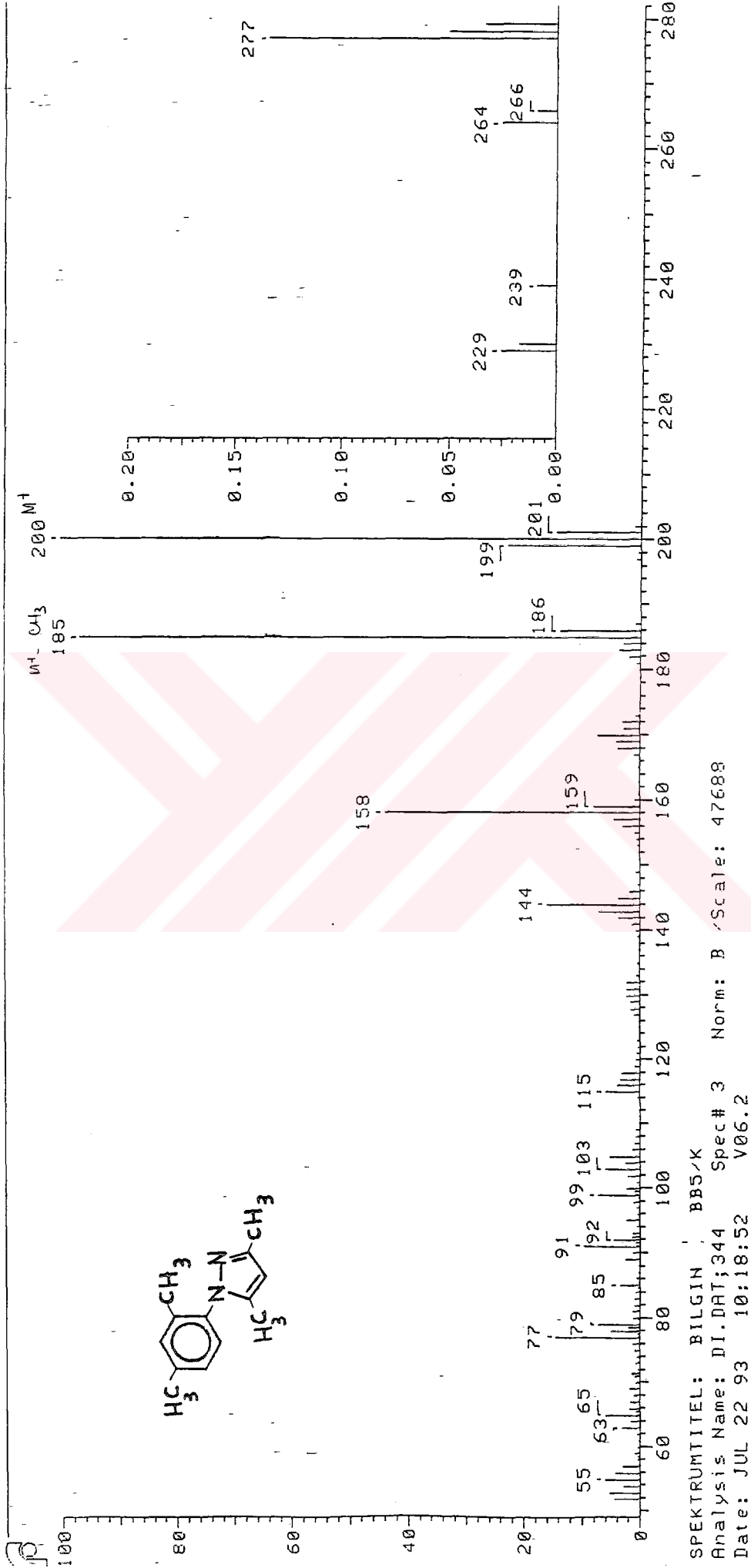
Şekil 3.26. Bileşik A-3'ün UV Spektrumu (aseton)



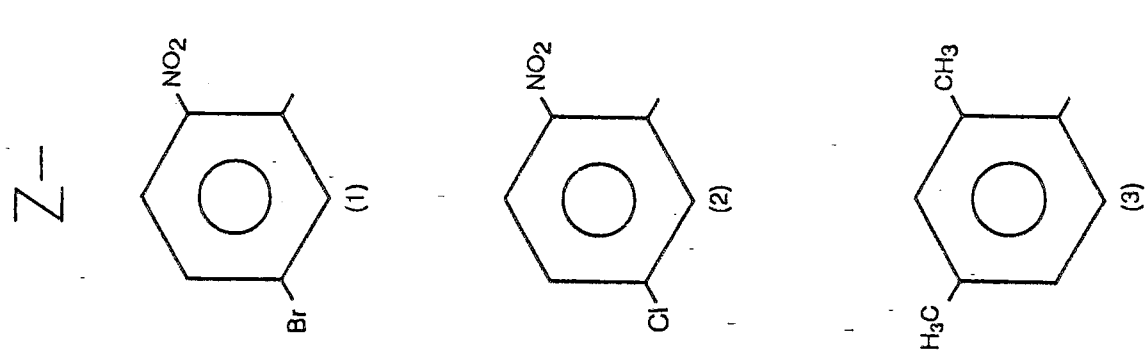
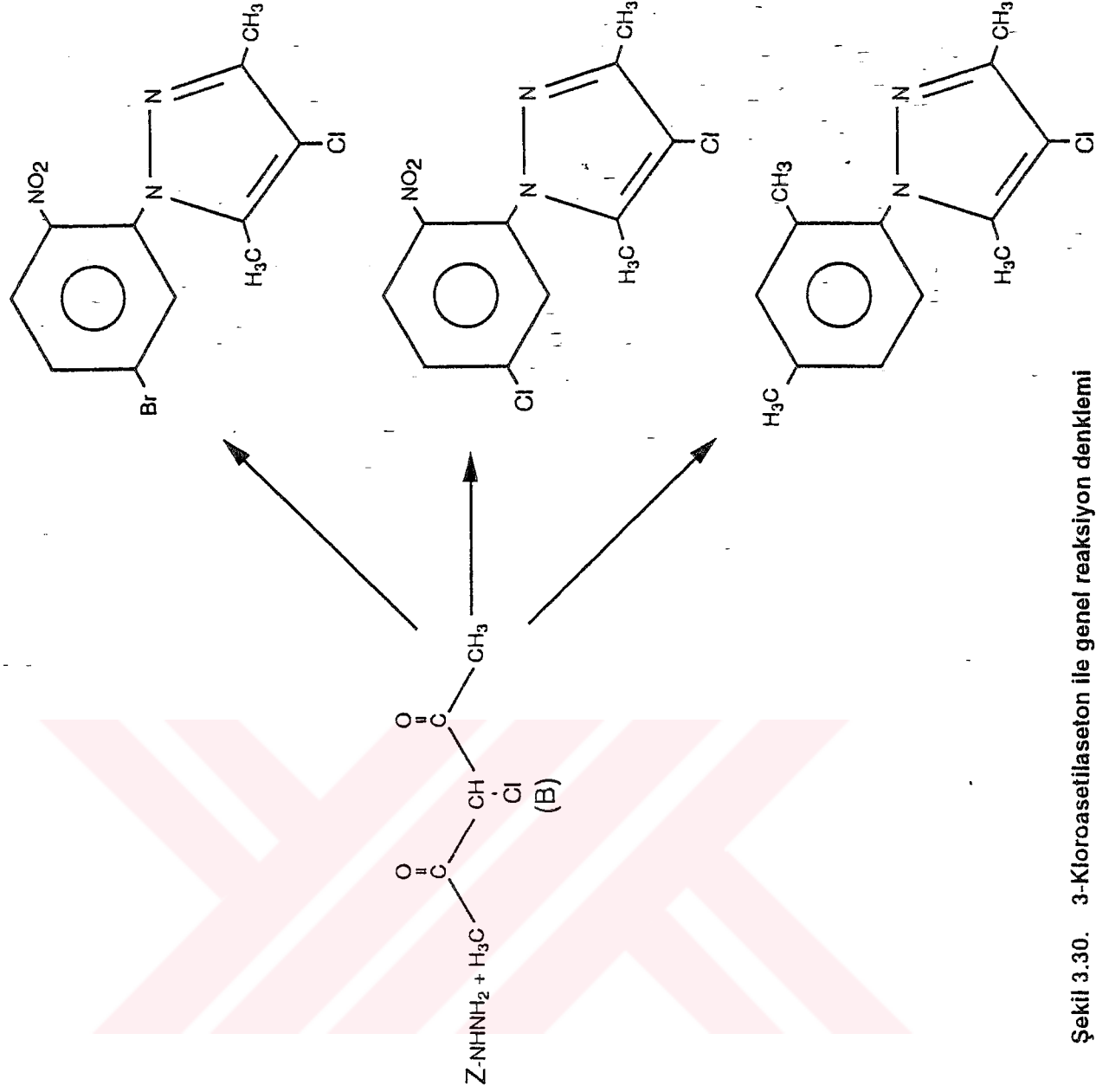
Şekil 3.27. Bileşik A-3'ün IR Spektrumu (film)



Sekil 3.28. Bileşik A-3'ün ^1H NMR Spektrumu (kloroform-D)

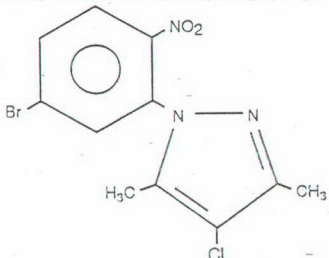


Şekil 3.29. Bileşik A-3'ün MS Spektrumu



Şekil 3.30. 3-Kloroasetilaseton ile genel reaksiyon denklemi

3.5.4. 1-(5-Bromo-2-nitrofenil)-4-kloro-3,5-dimetilpirazol (B-1):

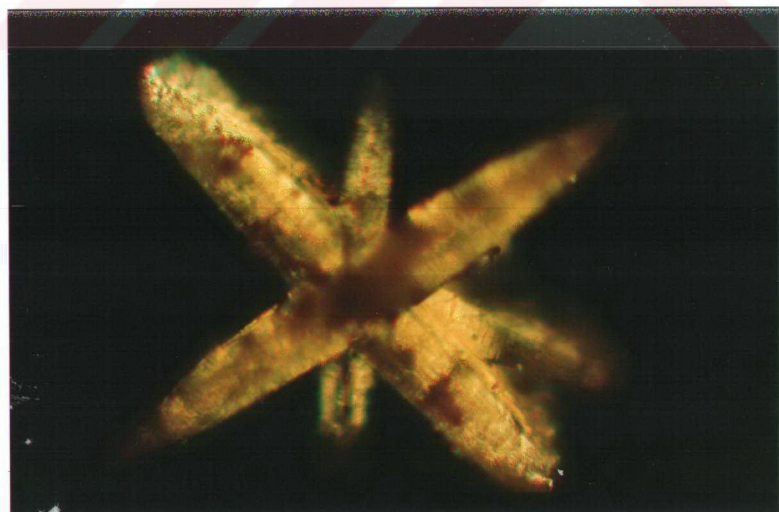


1.0 mmol (142.2 mg) 3-kloroasetilaseton'un (B) 1 ml susuz etil alkoldeki çözeltisi ve 0.5 mmol (116.0 mg) 1'in 10 ml susuz etil alkoldeki çözeltisi katıldı. Başlangıçta kırmızı iken su banyosu üstünde geri soğutucu altında kaynatılmaya başlatıldıktan yaklaşık iki saat sonra kırmızımsı kahve rengine dönen reaksiyon karışımı dört saat kaynatıldı. Alkolü iyice uçurulan reaksiyon karışımı soğumaya bırakıldığında çöken kristaller metilen klorürde çözülüp toluende yürütüllererek başlangıç maddeleri ile karşılaştırmalı TLC kontrolü yapıldı.

0.066 g (% 40) portak renkli şeffaf çubuk kristaller, e.n. 135°C (etyl alkolden üç kez kristallendirerek).

Çözünürlüğü:

n-Hekzan	: Sıcakta çözünür	Dietil eter	: Çözünür
Benzen	: Çözünür	Aseton	: Çözünür
Metilen klorür	: Çözünür	Etil alkol	: Sıcakta çözünür
Kloroform	: Çözünür	Asetik asid	: Sıcakta çözünür



Şekil: 3.31 Bileşik B-1'in kristal fotoğrafı (x 16)

3.5.4.1. "Bileşik B-1"in Spektroskopik ve Elementel Analiz Sonuçları:

IR (potasyum bromür): 3120-3000 (aromatik, =C-H gerilimi), 3000-2800 (metil, C-H gerilimi), 1590-1565 ve 1480 (azotlu heteroçöklik, C=C ve C=N gerilimi), 1515 ve 1340 (substitue halıka, düzlemler dışı =C-H eğilim salınımı) cm⁻¹.

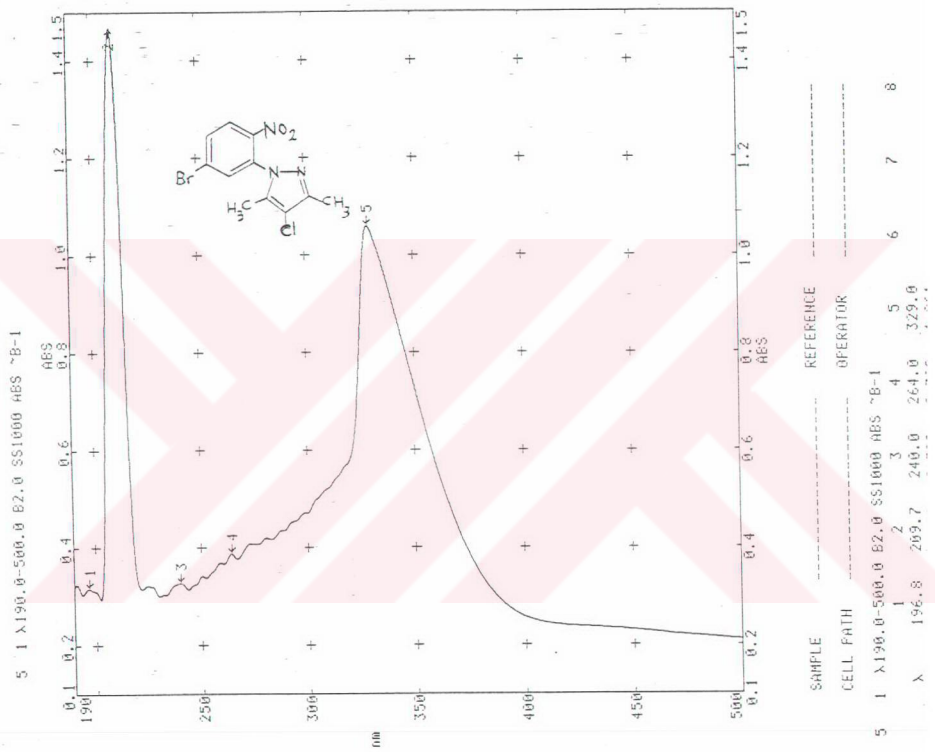
¹H NMR (kloroform-D): δ 2.18 (s, pirazol 3-CH₃, 3H), 2.25 (s, pirazol 5-CH₃, 3H), 7.64-7.93 (m, aromatik, 3H).

UV (aseton): λ_{max} 209.7, 329.0 nm.

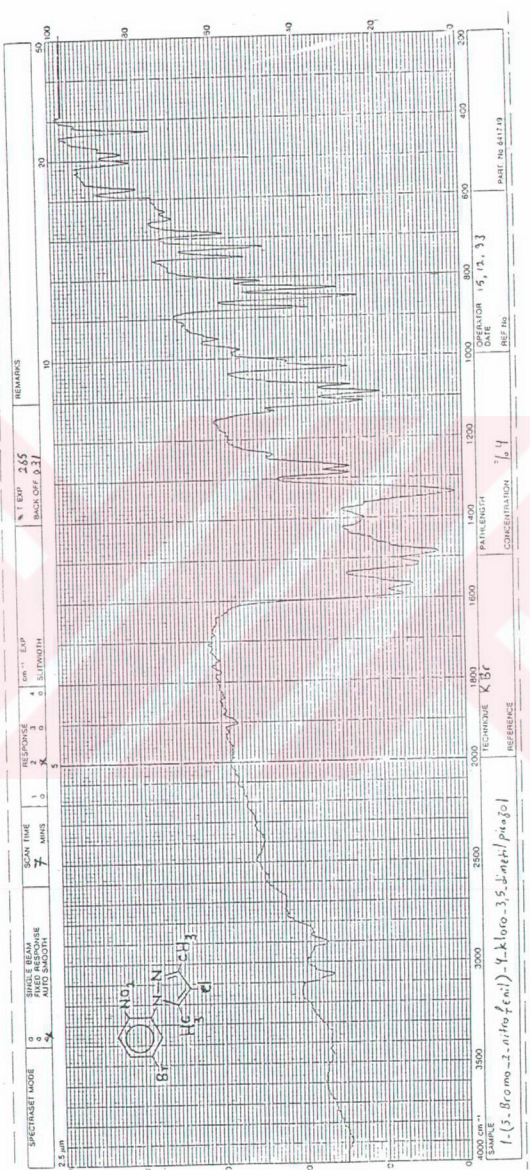
MS: m/z (bağlı şiddet) 332 (M+2, 1.6), 331 (M+1, 8.6), 330 (M⁺, 1.9), 329 (7), 220 (5.7), 129 (20.5), 43 (99.9).

Elementel Analiz : C₁₁ H₉ Br Cl N₃ O₂ (330.568)

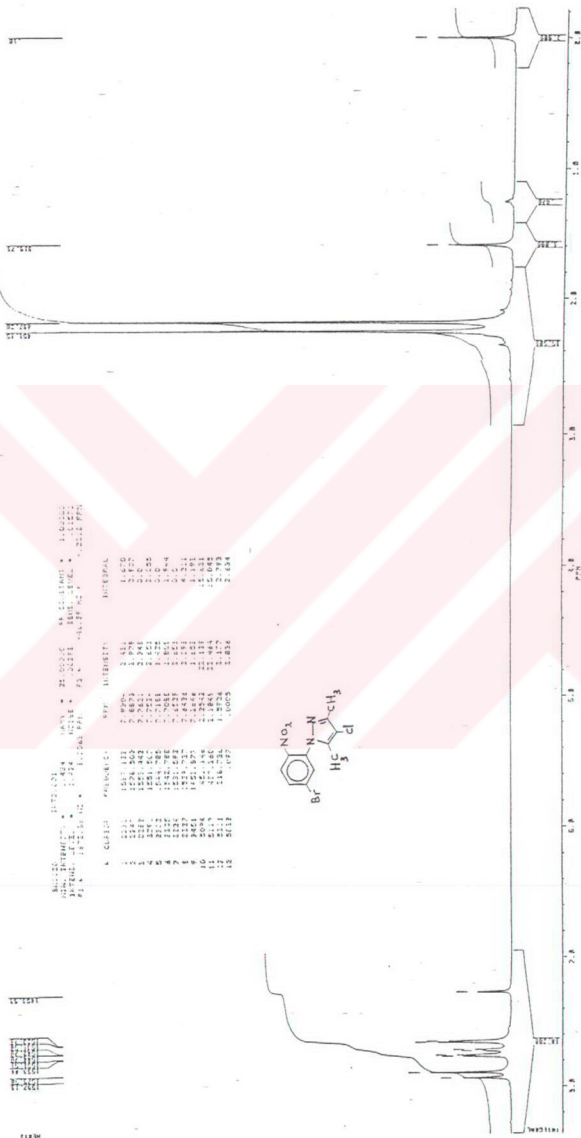
Hesaplanan	:	C 39.96	H 2.74	N 12.71
Bulunan	:	C 39.75	H 2.77	N 12.73



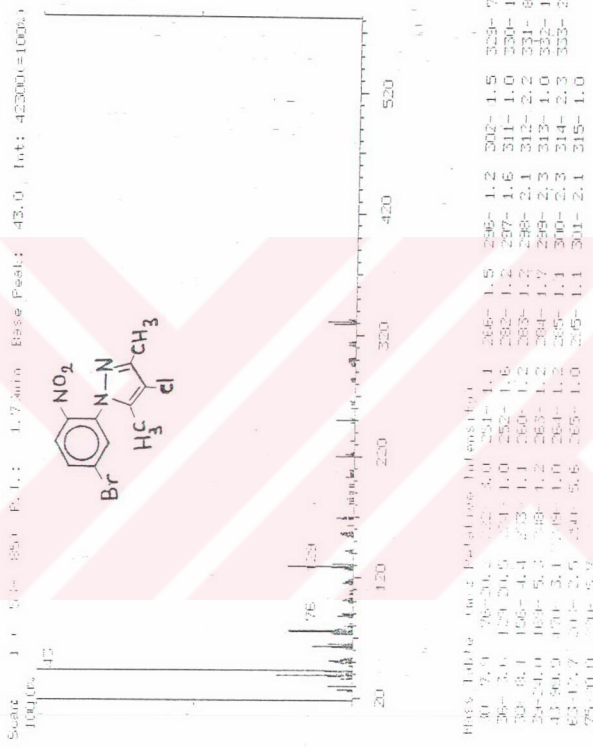
Şekil 3.32. Bileşik B-1'in UV Spekturumu (aseton)



Şekil 3.33. Bileşik B-1'in IR Spekturmumu (KBr)

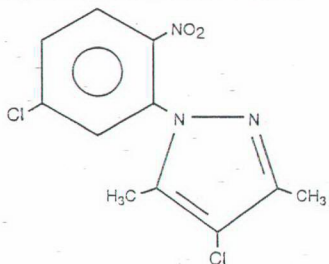


Şekil 3.34. Bileşik B-1'in ^1H NMR Spektrumu (kloroform-D)



Şekil 3.35. Bileşik B-1'in MS Spektrumu

3.5.5. 1-(5-Kloro-2-nitrofenil)-4-kloro-3,5-dimetilpirazol (B-2):

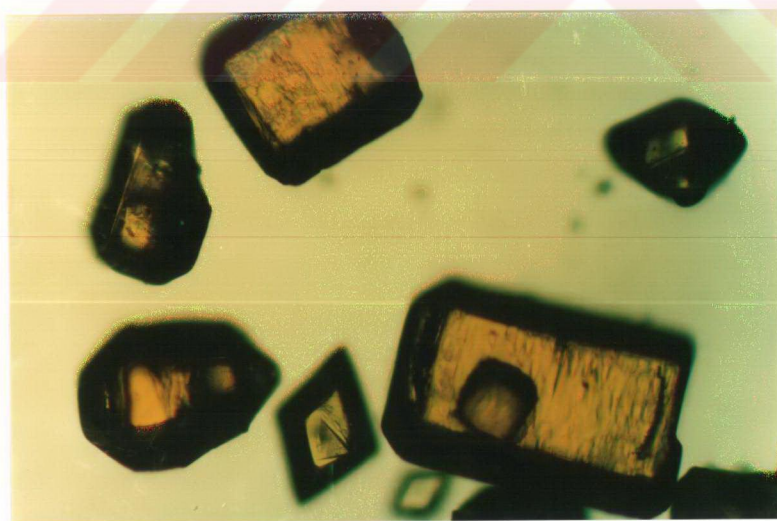


2.2 mmol (296.2 mg) B'nin 2 ml susuz etil alkoldeki çözeltisine 1.0 mmol (187.0 mg) 2'nin 20 ml susuz etil alkoldeki çözeltisi katılarak Bileşik B-1'deki işlem aynen uygulandı. Reaksiyonun tamamlanmasından sonra alkolün uzaklaştırılmasıyla ele geçen ham ürünün başlangıç maddeleri ile karşılaştırılmışa TLC kontrolü metilen klorürde çözülmüş toluende yapıldı.

0.062 g (% 43) portak renkli kübik kristaller, e.n. 130°C (etil alkolden üç kez kristallendirerek).

Çözünürlüğü:

n-Hekzan	: Sıcakta çözünür	Dietil eter	: Çözünür
Benzen	: Çözünür	Aseton	: Çözünür
Metilen klorür	: Çözünür	Etil alkol	: Sıcakta çözünür
Kloroform	: Çözünür	Asetik asid	: Sıcakta çözünür



Şekil 3.36. Bileşik B-2'nin kristal fotoğrafı (x 6.3)

3.5.5.1. "Bileşik B-2"nin Spektroskopik ve Elementel Analiz Sonuçları:

IR (potasyum bromür): 3130-3000 (aromatik, =C-H gerilimi), 3000-2800 (metil, C-H gerilimi), 1590 -1575 ve 1490 (azotlu heteroçöklik, C=C ve C=N gerilimi), 1520 ve 1340 (NO₂, asimetrik ve simetrik N=O salınımı), 860, 830 ve 735 (substitue halka, düzlem dışı =C-H eğilim salınımı), 690 (C-Cl gerilimi) cm⁻¹.

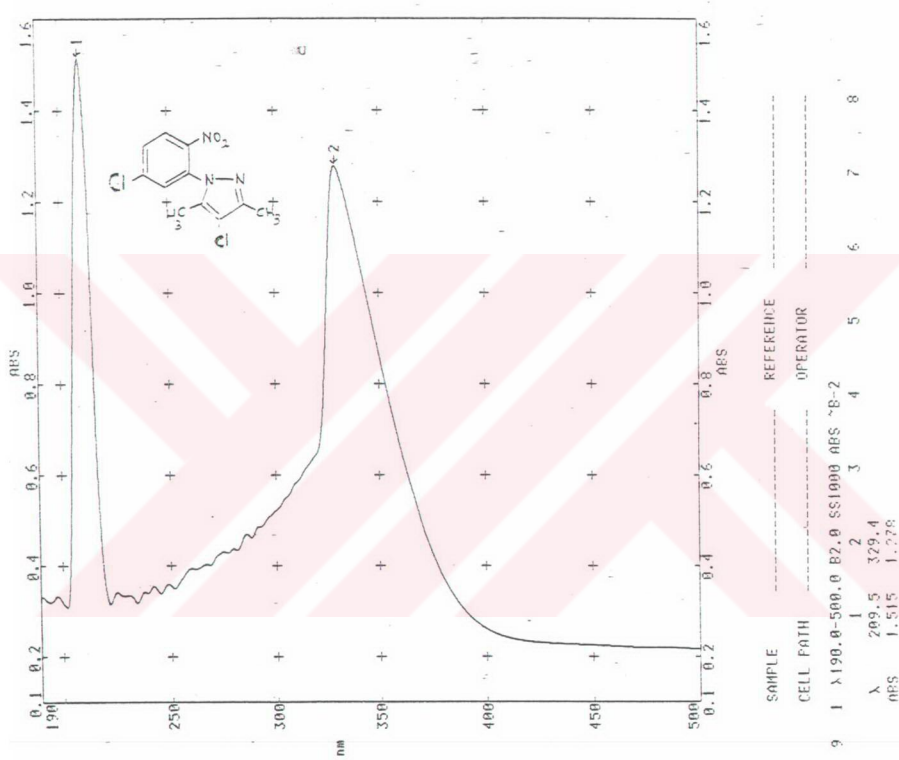
¹H NMR (kloroform-D): δ 1.96 (s, pirazol 3-CH₃, 3H), 2.07 (s, pirazol 5-CH₃, 3H), 7.06-8.00 (m, aromatik, 3H).

UV (aseton): λ_{max} 209.5, 329.4 nm.

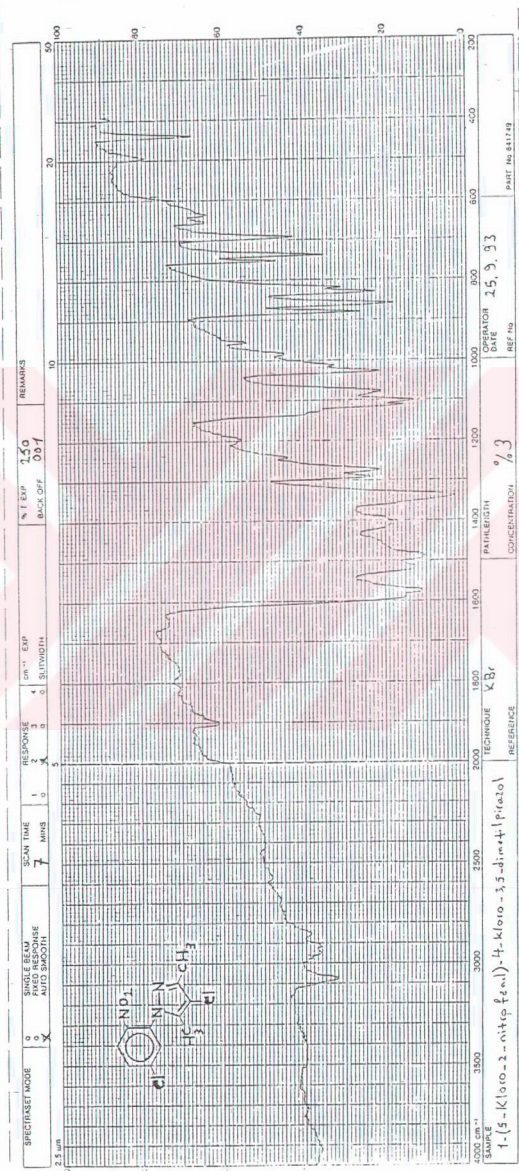
MS: m/z (bağlı şiddet) 288 (M+2, 1.8), 287 (M+1, 12), 286 (M⁺, 3.3), 285 (18.5), 250 (12.4), 129 (24.8), 43 (99.9).

Elementel Analiz : C₁₁ H₉ Cl₂ N₃ O₂ (286.117)

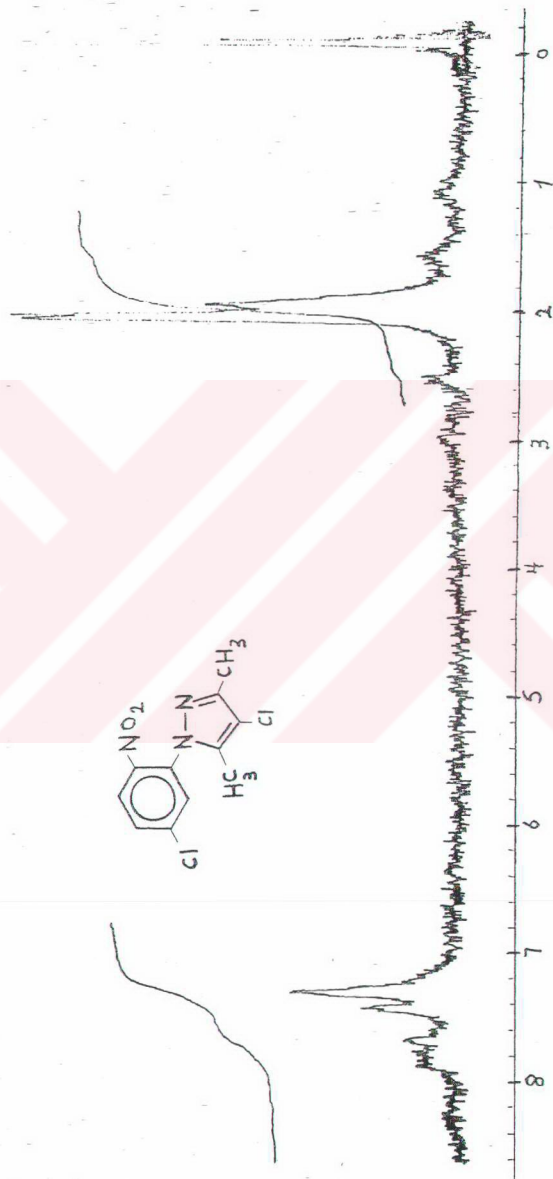
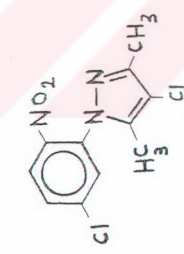
Hesaplanan	:	C 46.18	H 3.17	N 14.68
Bulunan	:	C 46.41	H 3.18	N 14.65



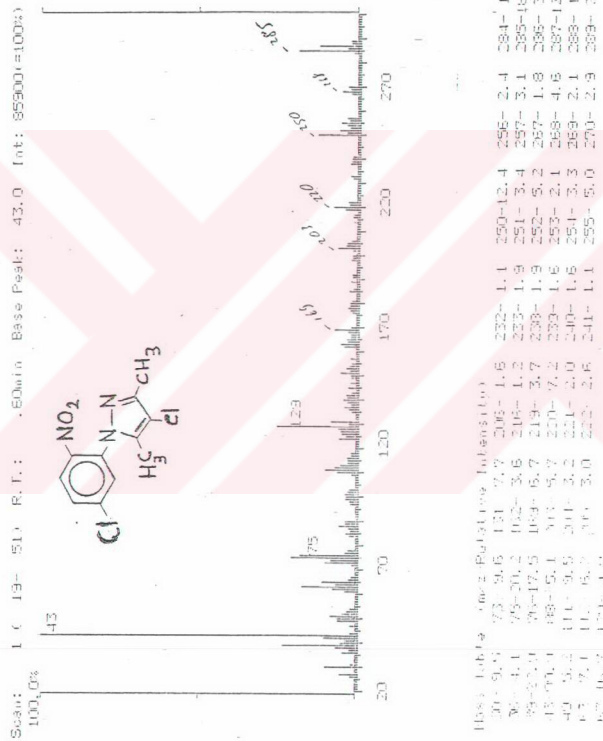
Şekil 3.37. Bileşik B-2'nin UV Spektrumu (aseton)



Şekil 3.38. Bileşik B-2nin IR Spektrumu (KBr)



Şekil 3.39. Bileşik B-2'nin ¹H NMR Spektrumu (kloroform-D)



3.5.6. 1-(2,4-Dimetilfenil)-4-kloro-3,5-dimetil pirazol (B-3):

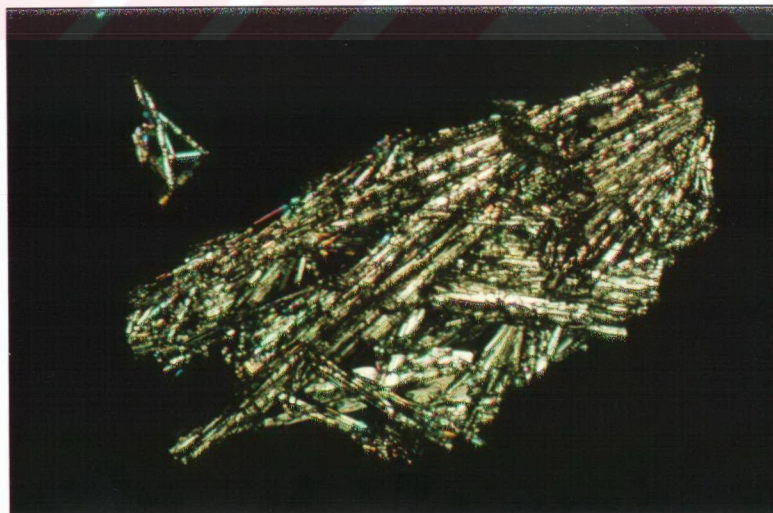


6.6 mmol (888.8 mg) B'nin 2 ml etil alkoildeki çözeltisine 5.0 mmol (863.0 mg) 3'ün 15 ml sıcak etil alkol ve çözünençeye kadar destile su ilavesiyle oluşan çözeltisi katıldı. Geri soğutucu altında su banyosu üstünde kaynatılmaya başlatıldıktan yirmi dakika sonra başlangıçtaki kırmızı rengi koyulaşan reaksiyon karışımı dört saat kaynatıldı. Etil alkolün uçurulmasını takiben ele geçen yağlısı madde, petrol eteri (40-60°) ile ekstrakte edildi. Petrol eteri uzaklaştırıldıktan sonra oluşan yağlısı kristaller halindeki ürün vakumda süblimasyonla saflaştırıldı. Başlangıç maddeleri ile karşılaştırmalı TLC kontrolü metilen klorürde çözürek toluende yapıldı.

0.726 g (% 62) açık sarı iğnemsi kümeye kristaller, e.n. 53°C (süblimleştirek):

Çözünürlüğü:

Petrol eteri (40-60°C):	Çözünür	Aseton	Çözünür
n-Hekzan	Çözünür	Izopropil alkol	Çözünür
Benzen	Çözünür	İzobütil alkol	Çözünür
Metilen klorür	Çözünür	Etil alko	Çözünür
Kloroform	Çözünür	Asetik asid	Çözünür
Dietil eter	Çözünür		



Şekil 3.41. Bileşik B-3'ün kristal fotoğrafı (x 2.5)

3.5.6.1. "Bileşik B-3"ün Spektroskopik ve Elementel Analiz Sonuçları:

IR (potasyum bromür): 3100-3000 (aromatik, =C-H gerilimi), 3000-2800 (metil-C-H gerilimi), 1550 ve 1495 (azotlu heteroçöklik, C=C ve C=N gerilimi), 815 ve 725 (subsstitue halka, düzlem dışı =C-H eğilim salınımı), 595 (C-Cl gerilimi) cm^{-1} .

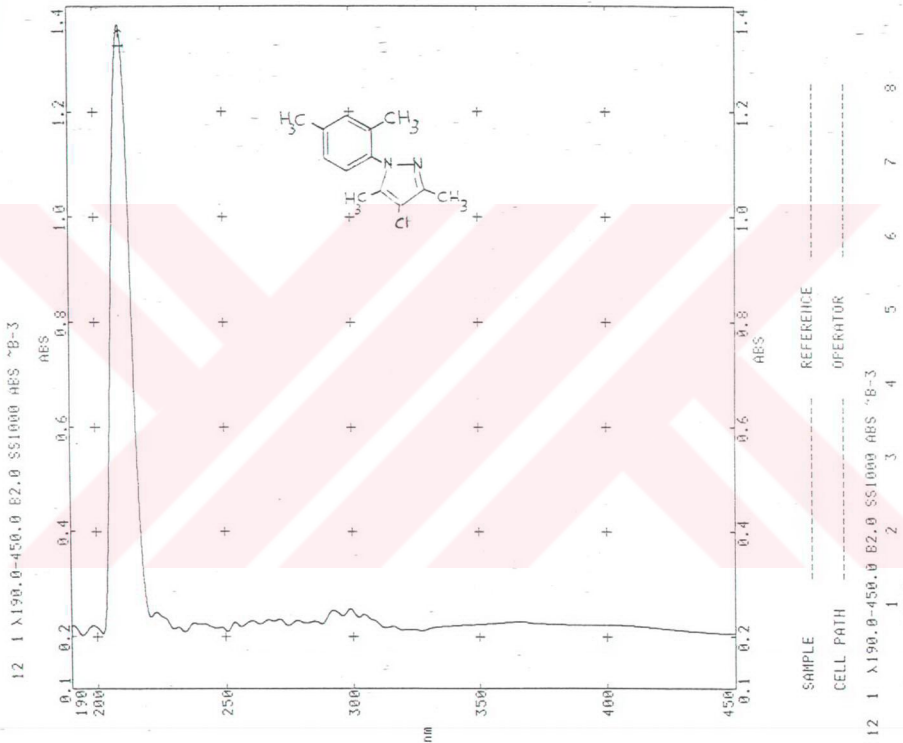
$^1\text{H NMR}$ (kloroform-D): δ 1.69-2.00 (s, fenil 2- CH_3 , ve 4- CH_3 , 6H), 2.07 (s, pirazol 3- CH_3 , 3H), 2.23 (s, pirazol 5- CH_3 , 3H), 6.66-7.06 (m, aromatik, 3H).

UV (aseton): λ_{max} 210.0 nm.

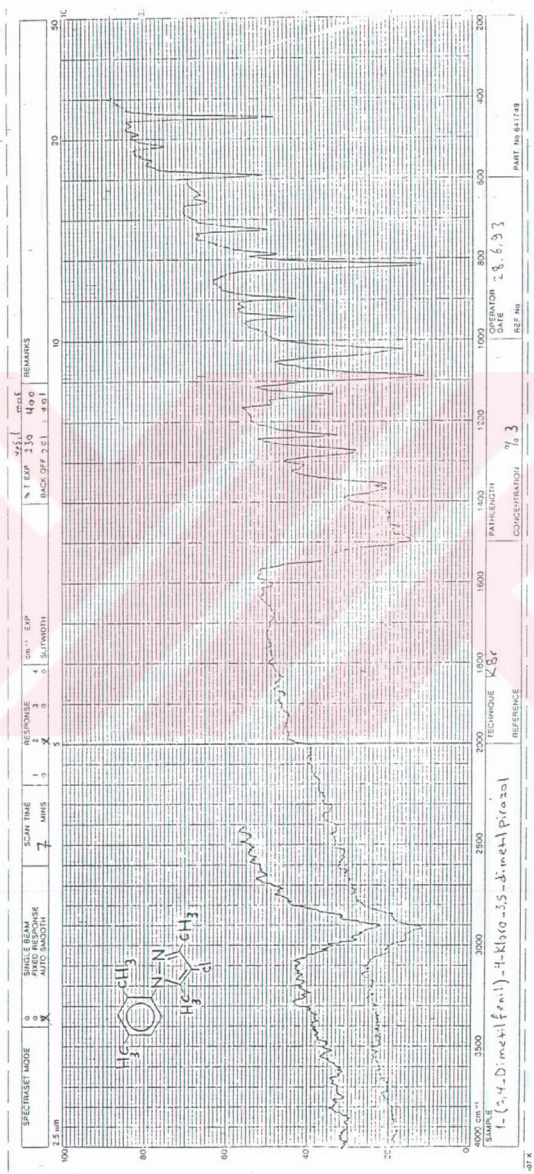
MS: m/z (bağıl şiddet) 236 ($M+2$, 34), 235 ($M+1$, 20), 234 (M^+ , 100), 233 (15), 219 (95), 199 (32).

Elementel Analiz : $\text{C}_{13}\text{H}_{15}\text{ClN}_2$ (234.727)

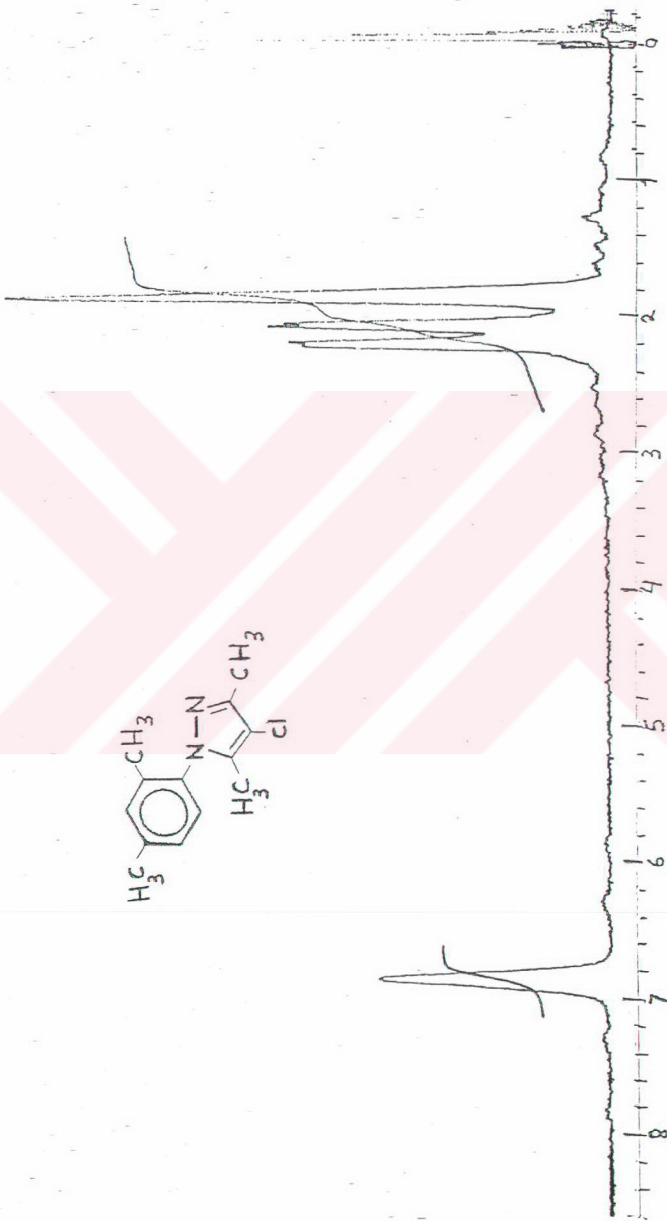
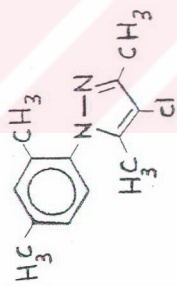
Hesaplanan	:	C 66.52	H 6.44	N 11.93
Bulunan	:	C 66.37	H 6.50	N 12.05



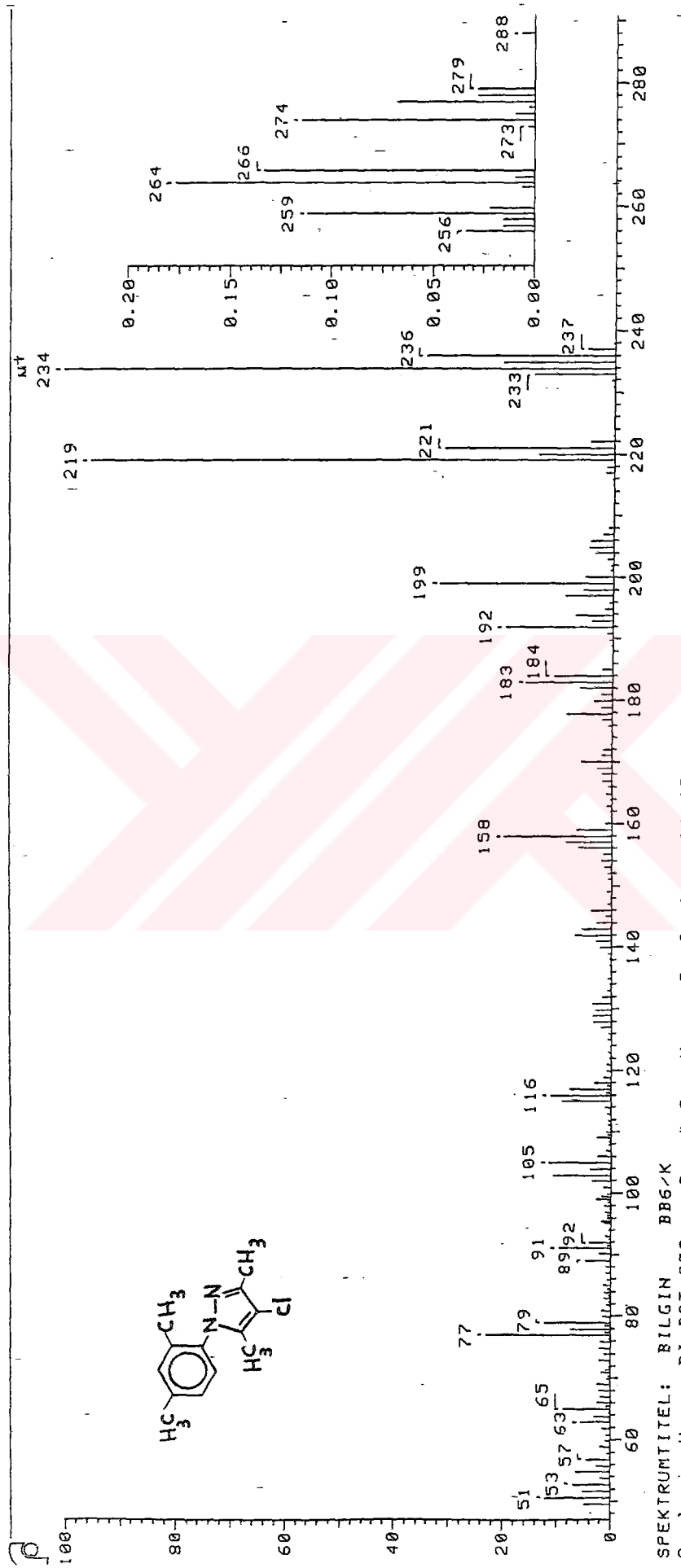
Şekil 3.42. Bileşik B-3'ün UV Spektrumu (aseton)



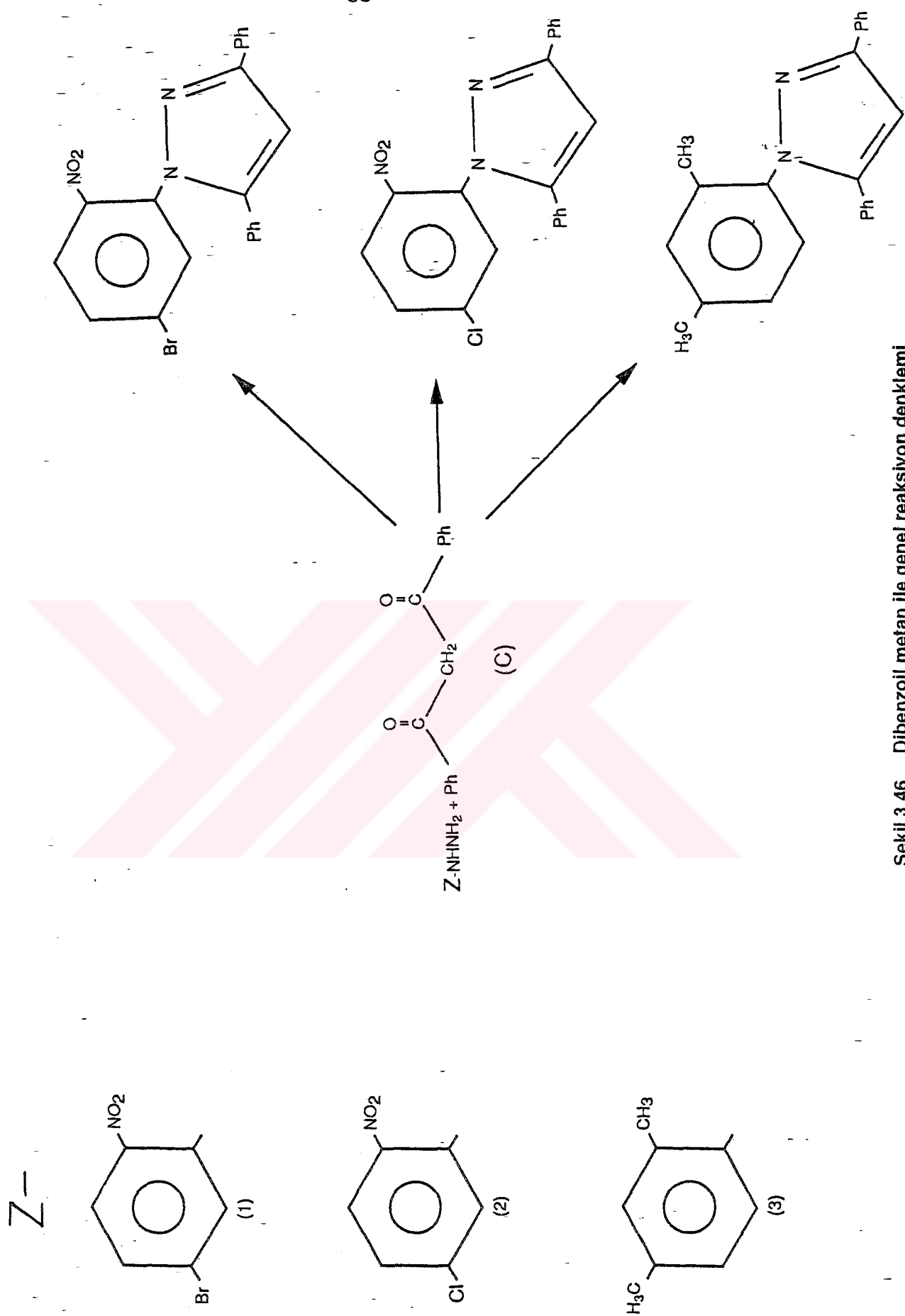
Şekil 3.43. Bileşik B-3'ün IR Spektrumu (KBr)



Şekil 3.44. Bileşik B-3'ün ^1H NMR Spektrumu (kloroform-D)

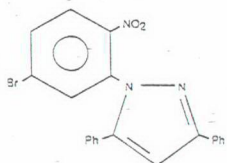


Şekil 3.45. Bileşik B-3'ün MS Spektrumu



Şekil 3.46. Dibenzoyl metan ile genel reaksiyon denklemi

3.5.7. 1-(5-Bromo-2-nitrofenil)-3,5-difenilpirazol (C-1):

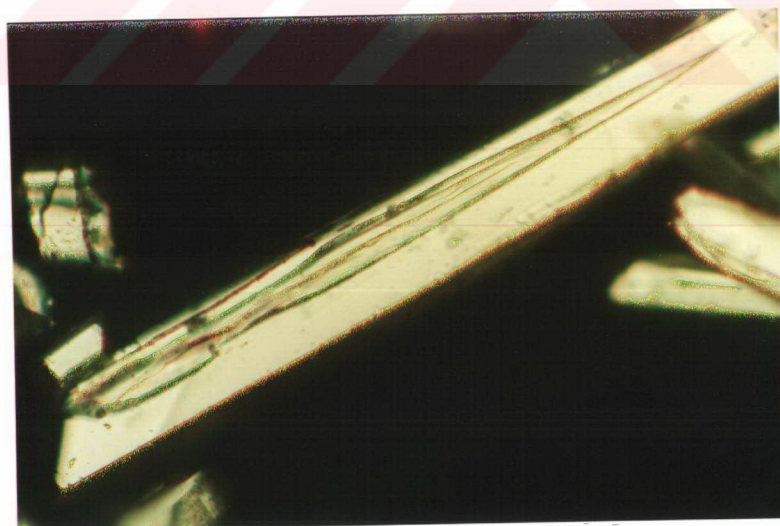


0.5 mmol (112.5 mg) dibenzoilmetan'ın (C) 10 ml susuz etil alkoldeki çözeltisinin 0.5 mmol (116.0 mg) 1'in 15 ml susuz etil alkoldeki çözeltisine katılmasıyla ele geçen kırmızı-turuncu renkli reaksiyon karışımına birkaç damla derişik sulfat asidi ilave edildi ($\text{pH}=2$). Oluşan sarı renkli çözelti geri soğutucu altında su banyosu üzerinde TLC kontrolü yapılarak altı saat kaynatıldı. Soğutulduktan sonra çöken ürün kristaller metilen klorürde çözülmüş başlangıç maddeleri ile karşılaştırılmış TLC kontrolü toluende yürütülecek yapıldı.

0.162 g (% 77) sarı renkli şeffaf çubuk kristaller, e.n. 167°C (etil alkolden üç kez kristallendirerek).

Çözünürlüğü:

n-Hekzan	: Sıcakta çözünür	Dietili eter	: Sıcakta çözünür
Benzen	: Sıcakta çözünür	Aseton	: Çözünür
Metilen klorür	: Çözünür	Etil alkol	: Sıcakta çözünür
Kloroform	: Sıcakta çözünür	Asetik asid	: Sıcakta çözünür



Şekil.3.47 Bileşik C-1'in kristal fotoğrafı (x 16)

3.5.7.1. "Bileşik C-1"in Spektroskopik ve Elementel Analiz Sonuçları:

IR (potasyum bromür): 3140-3000 (aromatik, =C-H gerilimi), 1585-1560 ve 1475 (azotlu heteroçiklik, C=C ve C=N gerilimi), 1515 ve 1330 (NO₂ asimetrik ve simetrik N=O salınımı), 845 ve 760 (substitue haika,düzen dışı =C-H eğilim salınımı), 520 (C-Br gerilimi) cm⁻¹.

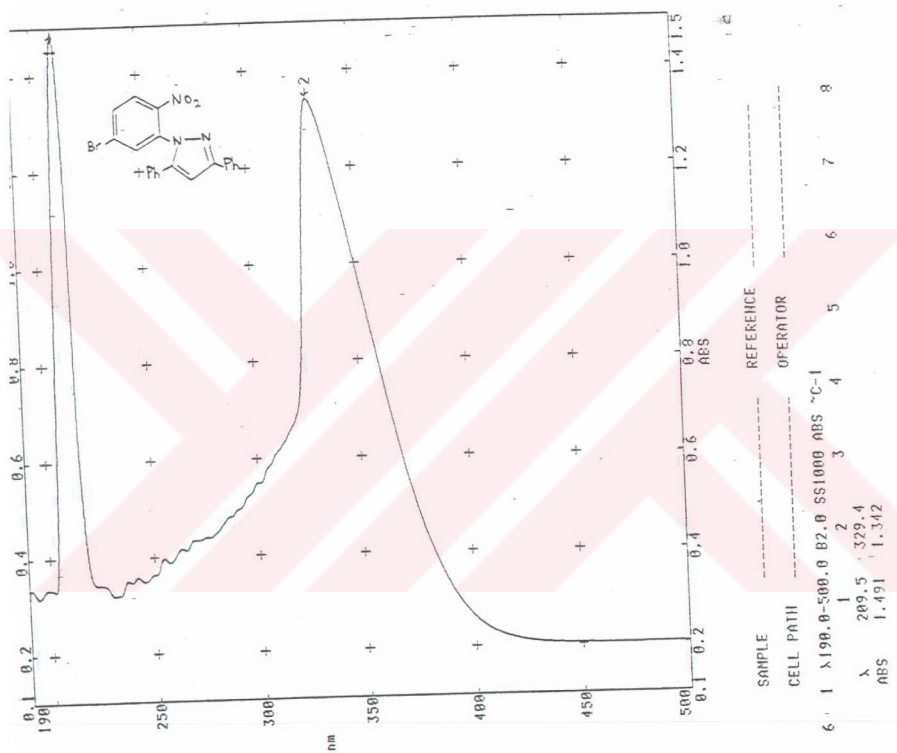
¹H NMR (kloroform-D): δ 6.69 (s, CH, 1H), 7.00-8.23 (m, aromatik, 13H).

UV (aseton): λ_{max} 209.5, 329.4 nm.

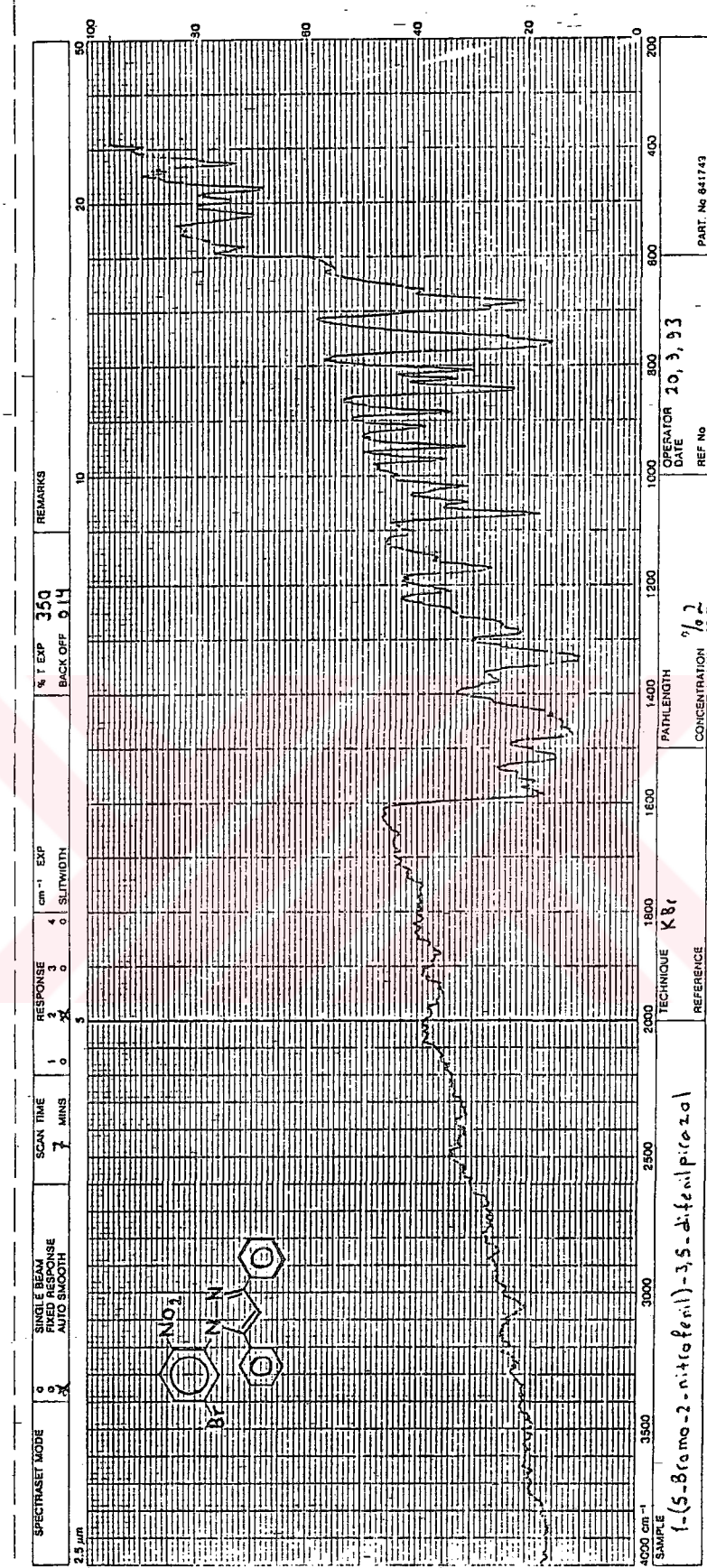
MS: m/z (bağlı şiddet) 422 (M+2, 7.8), 421 (M+1, 27.7), 420 (M⁺, 6.6), 419 (26.2), 373 (8.4), 294 (37.5), 105 (99.9), 77 (41.1).

Elementel Analiz : C₂₁ H₁₄ Br N₃ O₂ (420.264)

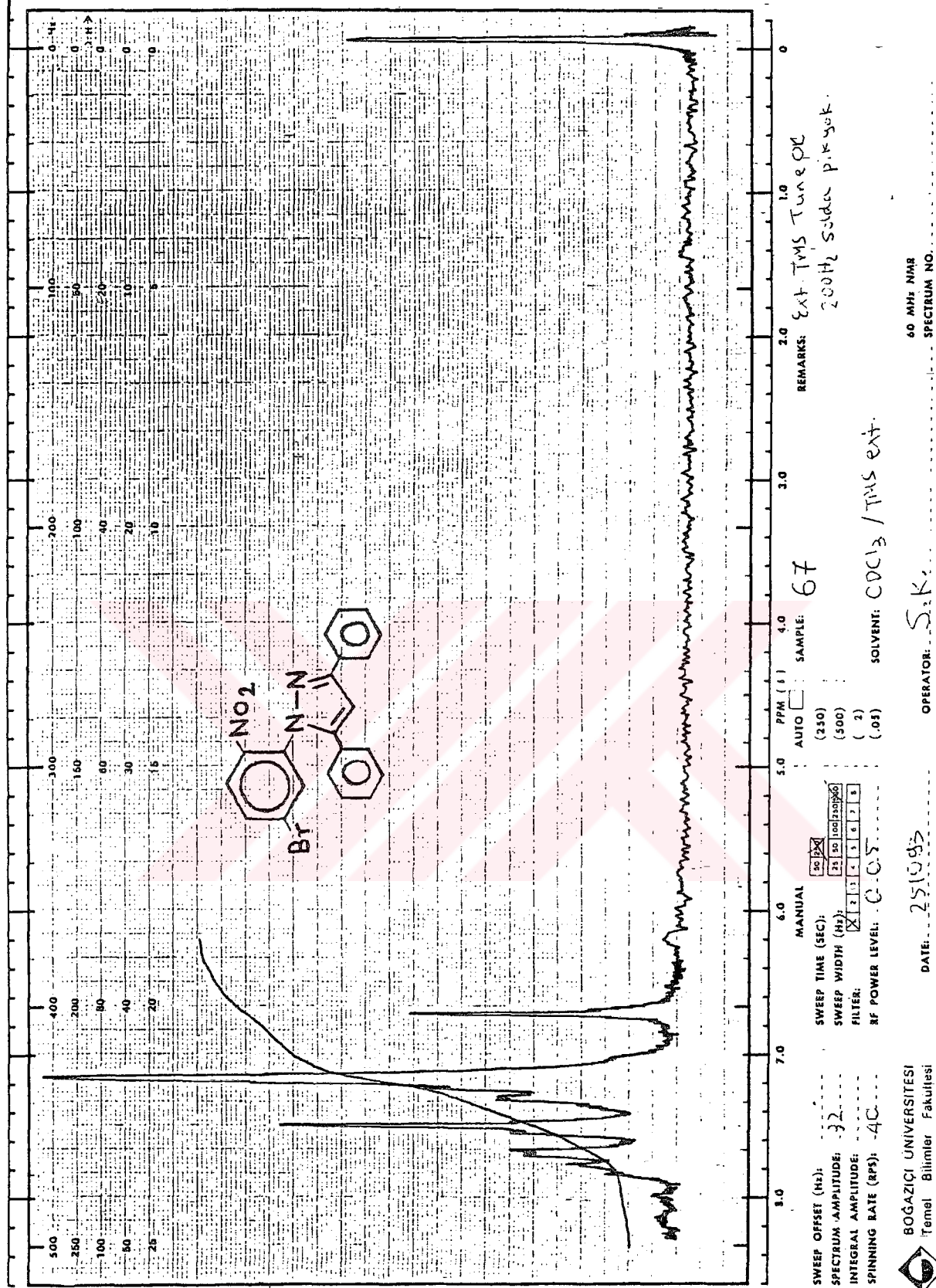
- Hesaplanan	:	C 60.01	H 3.35	N 9.99
Bulunan	:	C 59.87	H 3.49	N 9.96



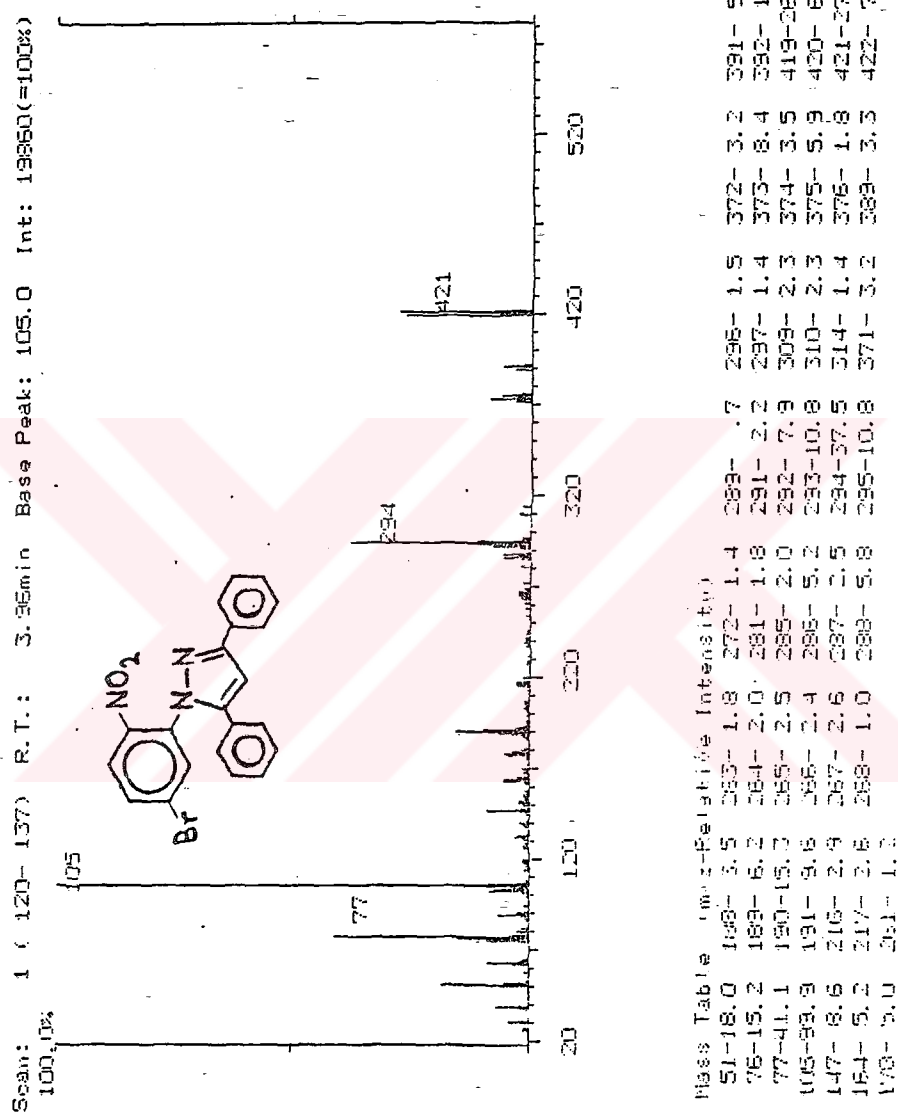
Sekil 3.48. Bileşik C-1'in UV Spektrumu (aseton)



Sekil 3.49. Bileşik C-1'in IR Spektrumu (KBr)

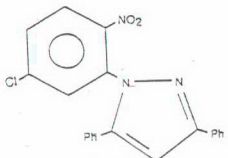


Şekil 3.50. Bileşik C-1'in ¹H NMR Spektrumu (kloroform-D)



Şekil 3.51. Bileşik C-1'in MS Spektrumu

3.5.8. 1-(5-Kloro-2-nitrofenil)-3,5-difenilpirazol (C-2);

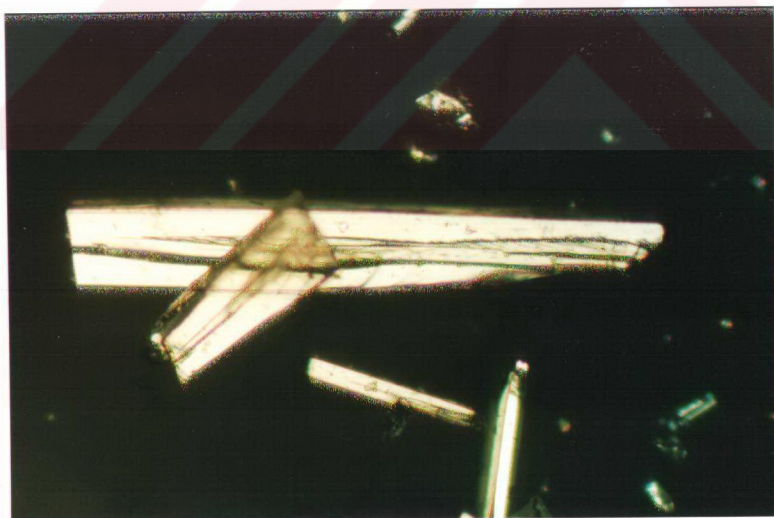


0.5 mmol (112.5 mg) C'nin 10 ml susuz etil alkoldeki çözeltisine 0.5 mmol (94.0 mg) 2'nin 20 ml susuz etil alkoldeki çözeltisi katılarak Bileşik C-1'deki işlem uygulandı. Reaksiyonun tamamlanmasından sonra soğutulan açık sarı renkli çözeltiden ayrılan kristalize haldeki harn ürünü metilen klorürde çözülmek bağılangıç maddeleri ile karşılaşmalıdır TLC kontrolü toluende yapıldı.

0.175 g (% 93) sarı renkli şeffaf çubuk kristaller, e.n. 155-6°C (etil alkoiden üç kez kristallendirerek).

Çözünürlüğü:

n-Hekzan	: Sicakta kısmen çözünür	Dietil eter	: Sicakta çözünür
Benzen	: Sicakta çözünür	Aseton	: Çözünür
Metilen klorür	: Çözünür	Etil alkol	: Sicakta çözünür
Kloroform	: Çözünür	Asetik asid	: Sicakta çözünür



Şekil 3.52. Bileşik C-2'nin kristal fotoğrafı (x 6.3)

3.5.8.1. "Bileşik C-2"nin Spektroskopik ve Elementel Analiz Sonuçları:

IR (potasyum bromür): 3120-3000 (aromatik, =C-H gerilimi), 1590-1565 ve 1470 (azotlu heteroçiklik, C=C ve C=N gerilimi), 1515 ve 1335 (NO₂, asimetrik ve simetrik N=O salınımı), 850 ve 760 (substitue halka, düzlem dışı =C-H eğilim salınımı), 685 (C-Cİ gerilimi) cm⁻¹.

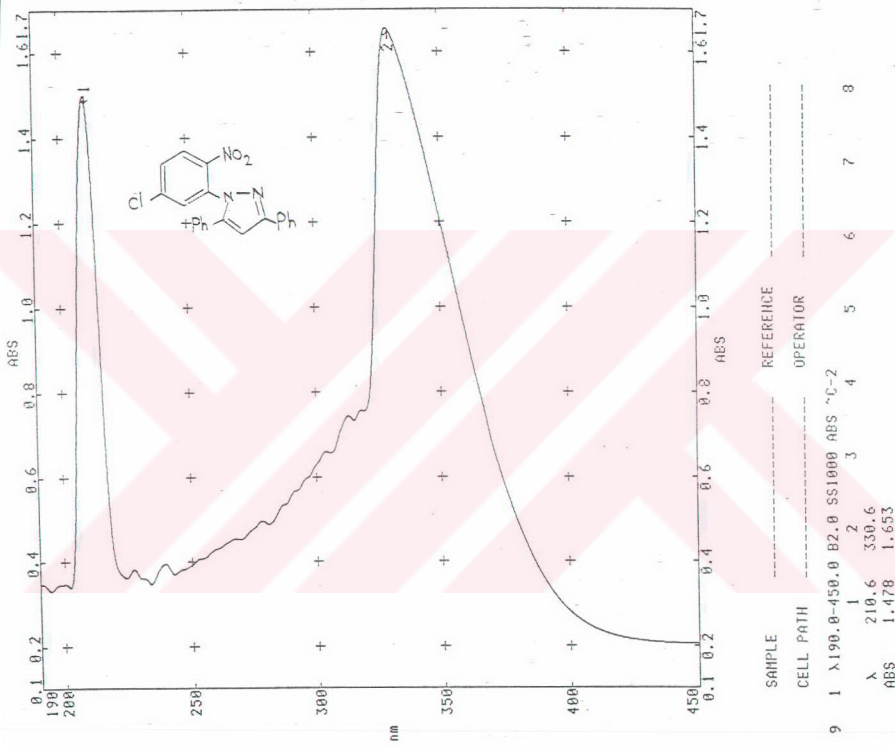
¹H NMR (kloroform-D): δ 6.69 (s, CH, 1H), 7.03-7.94 (m, aromatik, 13H).

UV (aseton): λ_{max} 210.6, 330.6 nm.

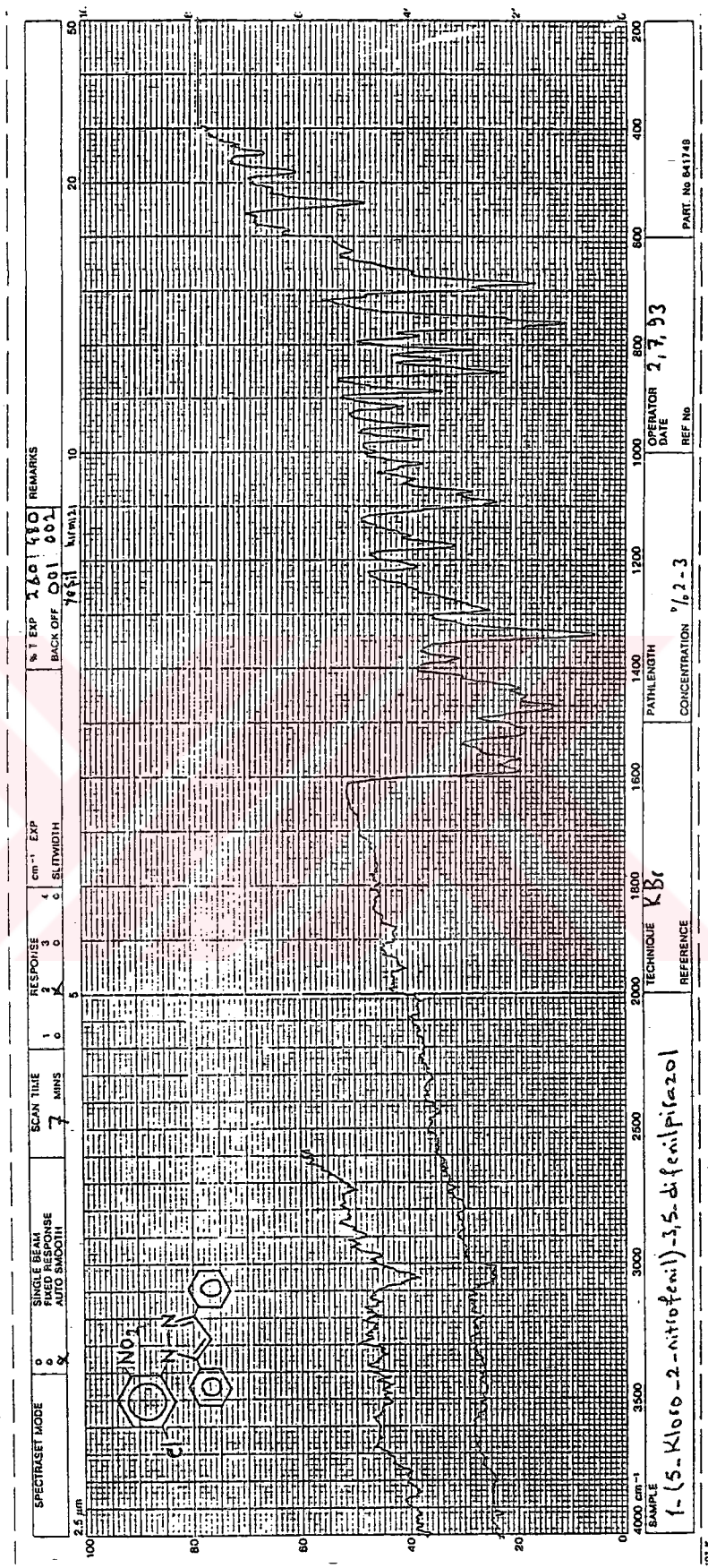
MS: m/z (bağlı şiddet) 377 (M+2, 14.5), 376 (M+1, 9.4), 375 (M*, 44.1), 329 (25.2), 191 (12), 105 (99.9), 77 (39.2).

Elementel Analiz : C₂₁ H₁₄ Cl N₃ O₂ (375.813)

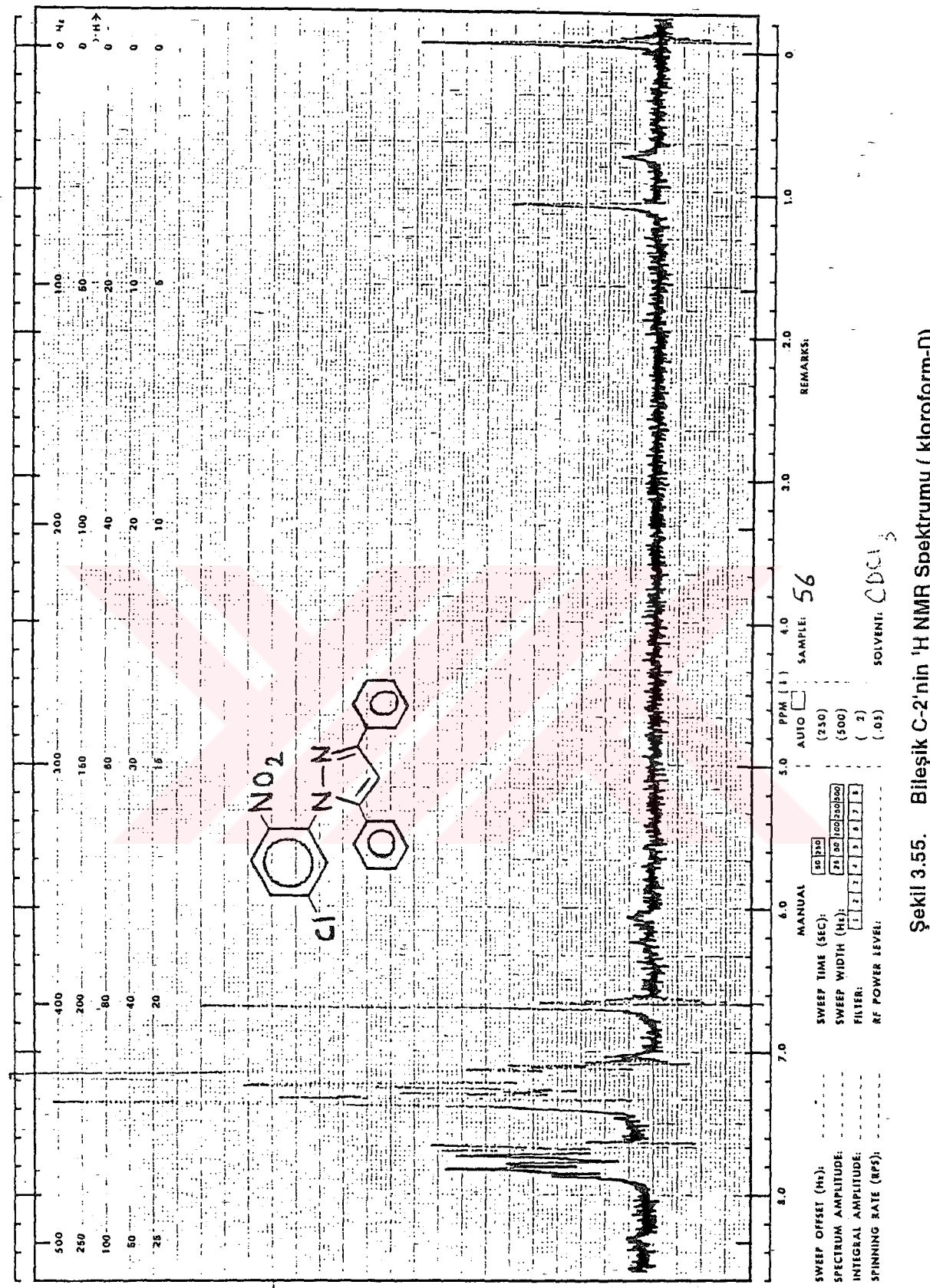
Hesaplanan	:	C 67.11	H 3.75	N 11.18
Bulunan	:	C 67.09	H 3.73	N 11.37



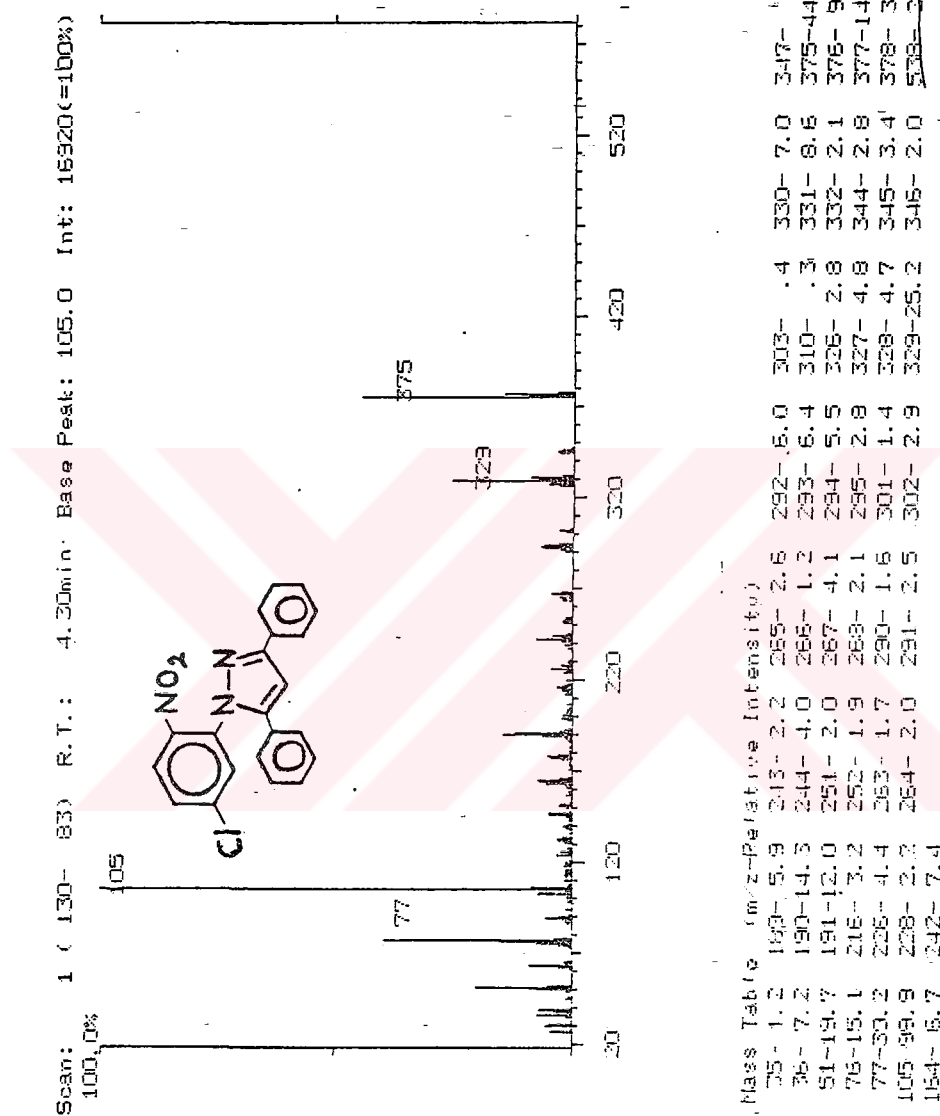
Şekil 3.53. Bileşik C-2'nin UV Spektrumu (aseton)



Şekil 3.54. Bileşik C-2'nin IR Spektrumu (KBr)

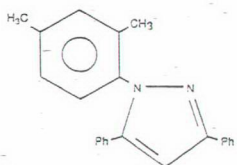


Şekil 3.55. Bileşik C-2'nin ^1H NMR Spektrumu (Kloroform-D)



Sekil 3.56. Bileşik C-2'nin MS Spektrumu

3.5.9. 1-(2,4-Dimetilfenil)-3,5-dimetilpirazol (C-3):

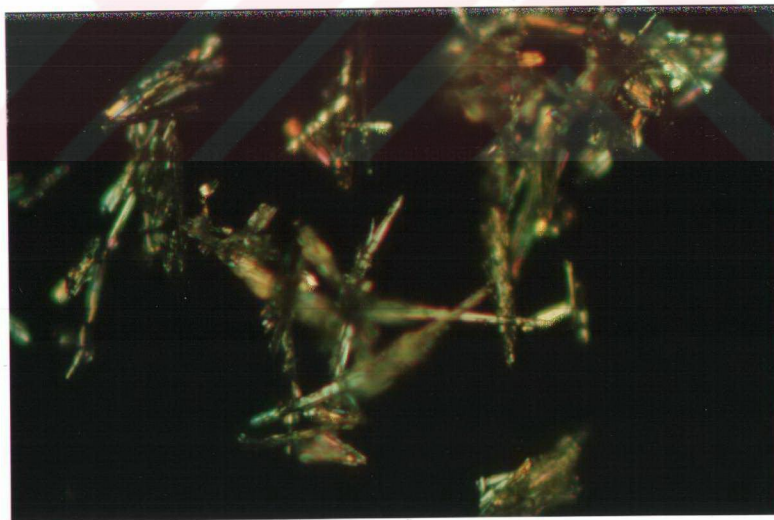


1.8 mmol (314.9 mg) 3'ün 10 ml susuz etil alkolde çözüldükten sonra süzülerek elde edilen berrak çözeltilisi 1.8 mmol (409.2 mg) C'nin 10 ml susuz etil alkoldeki çözeltilisi ne katıldı. Sarı renkli reaksiyon karışımı belirli aralıklarla TLC kontrolü yapılmak suretiyle geri soğutucu altında su banyosu üzerinde yedi saat kaynatıldı. Alkolün uzaklaştırılmışından sonra ele geçen ham ürünün metilen klorürde çözülmüş kloroformda yürütüllererek başlangıç maddeleri ile karşılaştırılmış TLC kontrolü yapıldı.

0.523 g (% 88) beyaz iğnemsi küme kristaller, e.n. 103-4°C (etil alkolden iki kez kristallendirerek).

Çözünürlüğü:

n-Hekzan	: Sicakta çözünür	Dietil eter	: Çözünür
Benzen	: Çözünür	Aseton	: Çözünür
Metilen klorür	: Çözünür	Etil alkol	: Çözünür
Kloroform	: Çözünür	Asetik asid	: Sicakta çözünür



Şekil 3.57. Bileşik C-3'ün kristal fotoğrafı (x 6.3)

3.5.9.1. "Bileşik C-3"ün Spektroskopik ve Elementel Analiz Sonuçları:

IR (potasyum bromür): 3080-3000 (aromatik, C-H gerilimi), 3000-2860 (metil C-H gerilimi), 1595 ve 1475 (azotlu heteroçöklik, C=C ve C=N gerilimi), 820 ve 760 (substitue halka, düzlem dışı C-H eğilim salınımı) cm^{-1} .

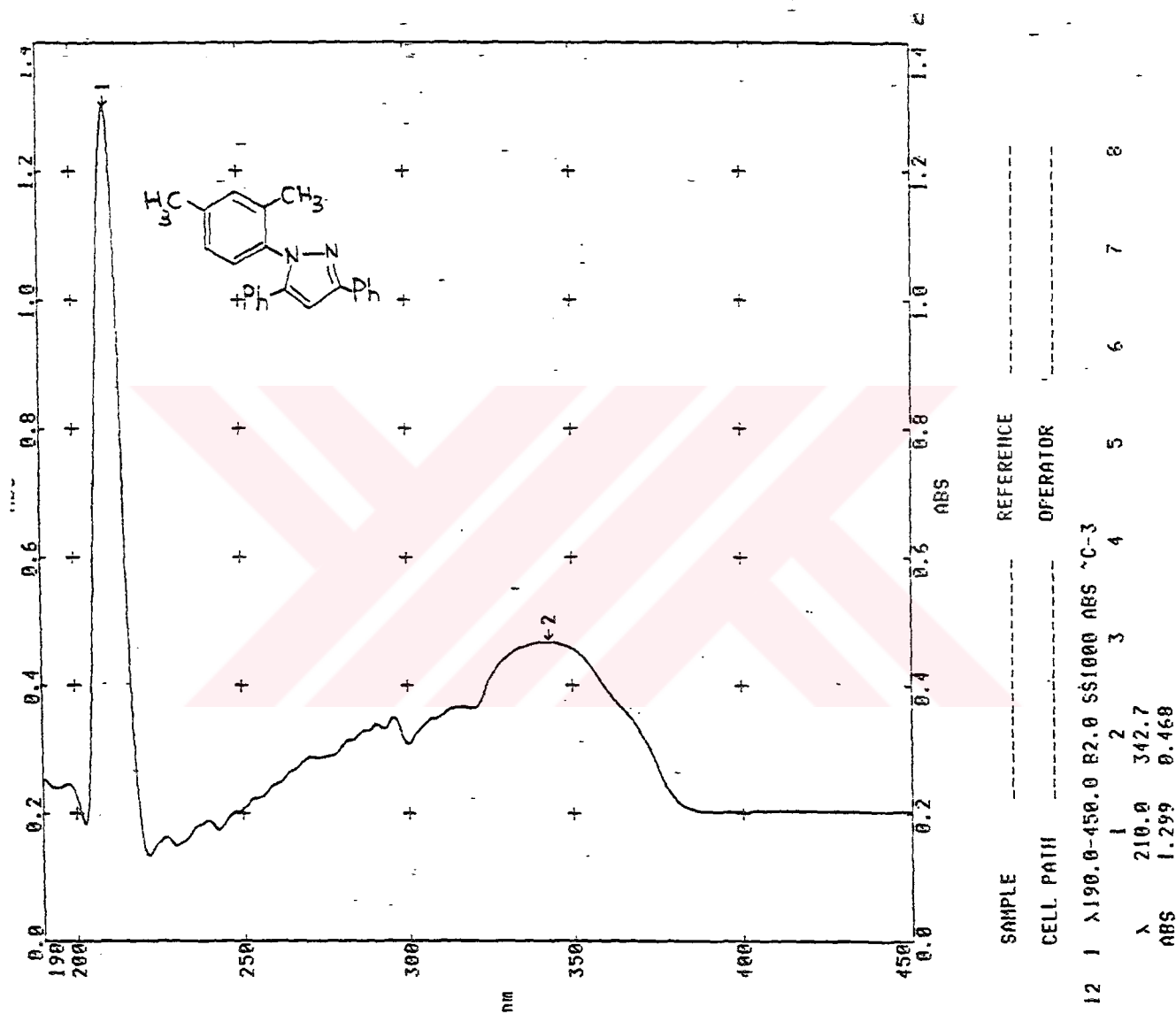
$^1\text{H NMR}$ (kloroform-D): δ 1.79 (s, fenil 2- CH_3 , 3H), 2.10 (s, fenil 4- CH_3 , 3H), 6.51 (s, CH, 1H), 6.64-7.80 (m, aromatik, 13H).

UV (aseton): λ_{max} 210.0, 324.7 nm.

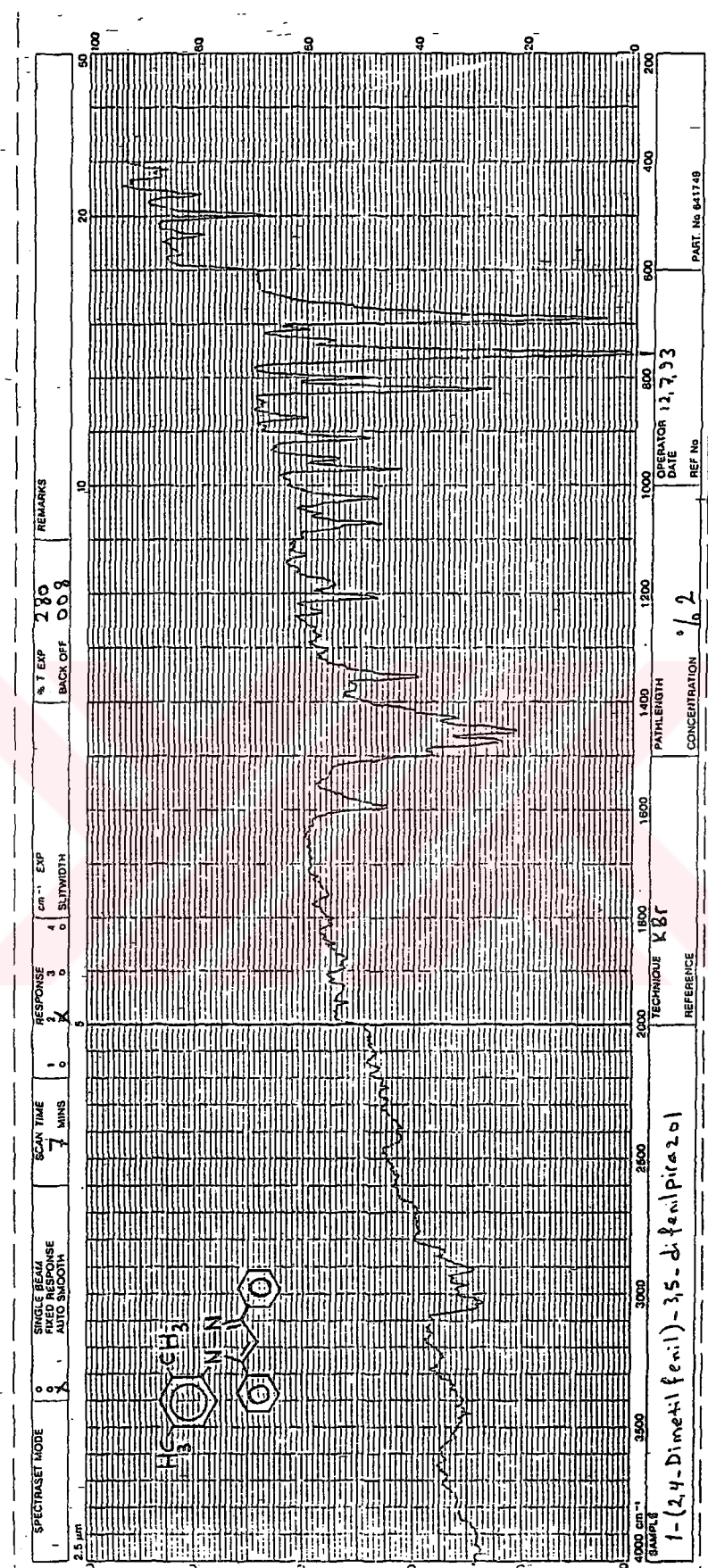
MS: m/z (bağlı şiddet) 326 ($M+2$, 1.1), 325 ($M+1$, 18.4), 324 (M^+ , 99.9), 323 (98.7), 220 (33.6), 309 (52.6), 220 (33.6), 104 (24.7), 77 (82.9).

Elementel Analiz : $\text{C}_{23}\text{H}_{20}\text{N}_2$ (324.424)

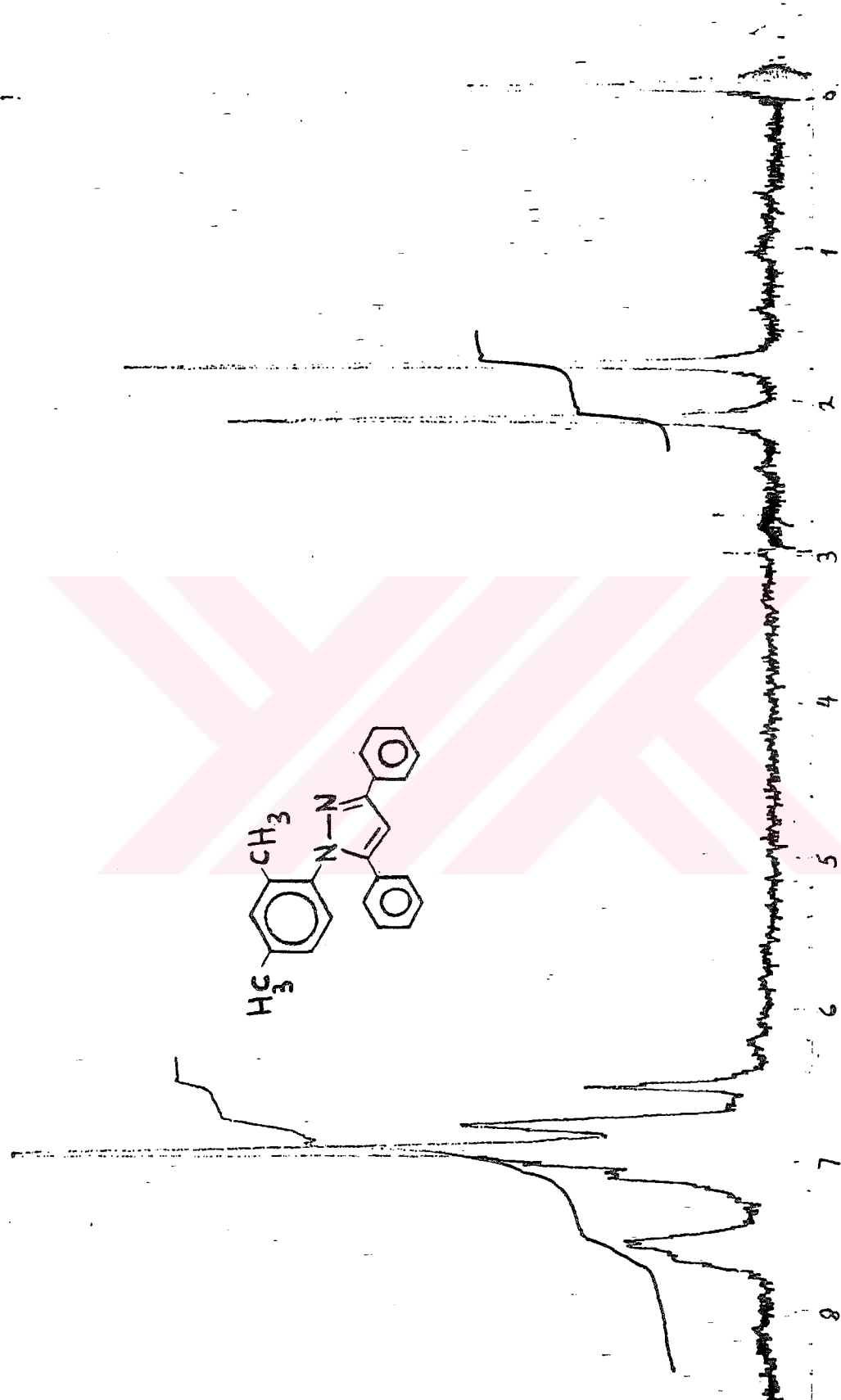
Hesaplanan	: C 85.15	H 6.21	N 8.63
Bulunan	: C 84.95	H 6.32	N 8.53



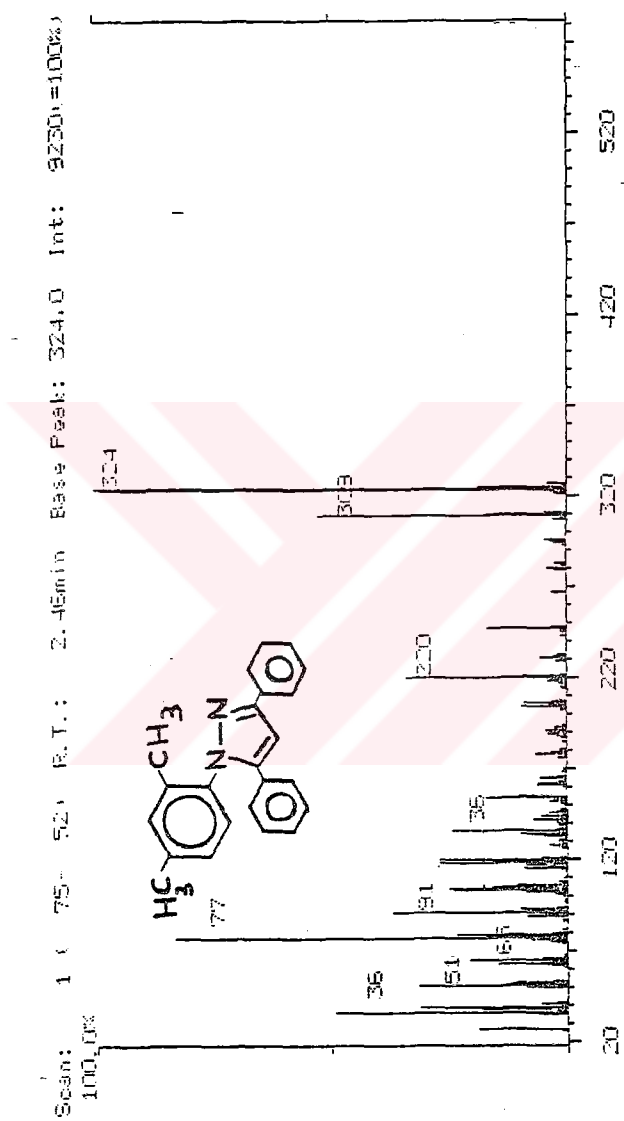
Şekil 3.58. Bileşik C-3'ün UV Spektrumu (aseton)



Şekil 3.59. Bileşik C-3'ün IR Spektrumu (KBr)



Sekil 3.60. Bilezik-C-3'ün ^1H NMR Spektrumu (kloroform-D)



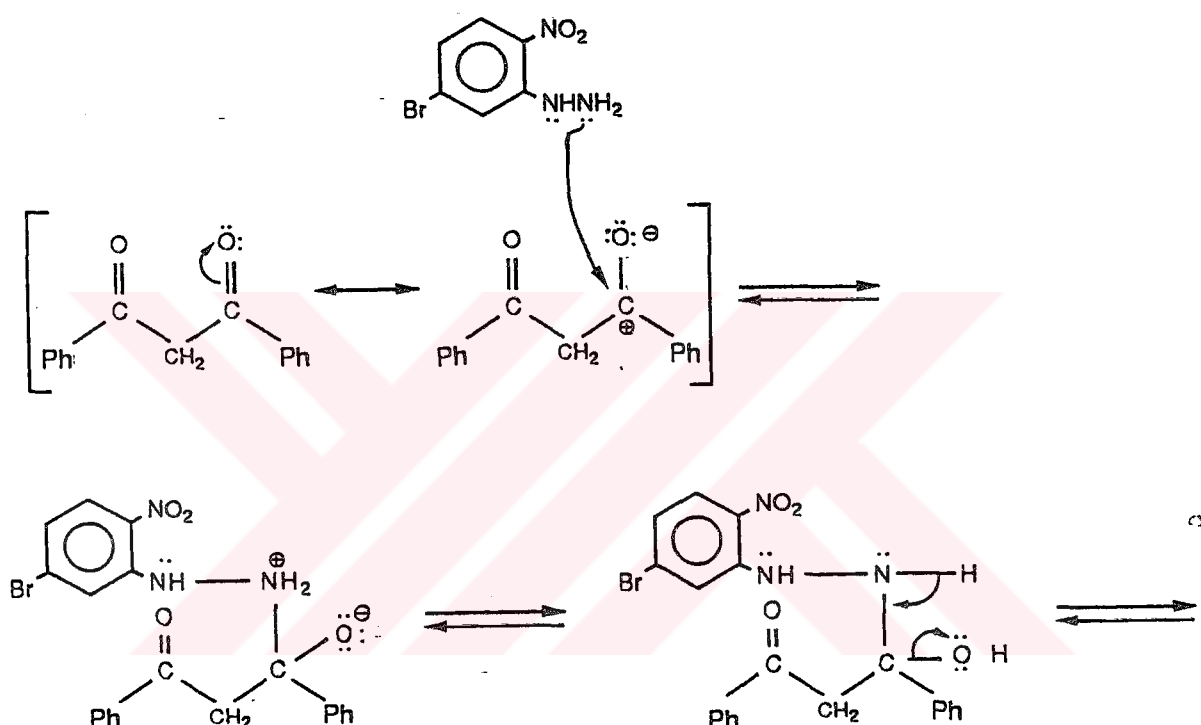
Mass Table (m/z-Relative Intensity)	
37-18.5	77-82.9
35-6.2	120-25.9
36-49.2	135-24.0
38-17.9	219- 3.9
39-30.8	154-16.8
51-31.3	219- 3.7
65-20.4	247-16.5
79-23.0	248- 2.8
91-36.9	253- 1.8
103-23.5	257- 2.8
104-24.7	279- 2.3
118-25.8	251- 5.3
119-15.3	292- 4.1
205- 0.6	282- 1.0
210- 0.6	307- 3.0
219- 0.6	322- 3.2
230- 0.6	323-38.7
231- 0.6	324-39.9
232- 0.6	325-18.4
233- 0.6	326- 1.1
234- 0.6	327- 3.9

Şekil 3.61. BileşikC-3'ün MS Spektrumu

4. TARTIŞMA VE SONUÇ

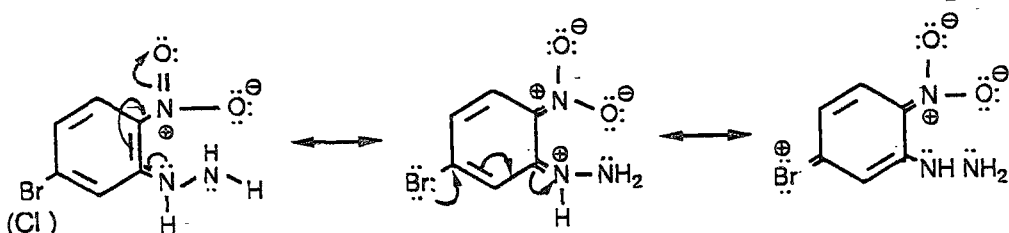
Özellikle ilaç sanayiinde başlangıç maddesi olarak yaygın bir şekilde kullanılmakta olan heterohalkalı temel bileşiklere katkıda bulunabilmek amacıyla yapılan bu çalışmada sentezlenen dokuz yeni substitue pirazol, substitue β -dikarbonillerin substitue fenilhidrazinlerle olan reaksiyonlarından elde edilmişlerdir.

Genel anlamda bu reaksiyonlar, reaktif olarak kullanılan hidrazinin β -dikarbonil bileşidine nükleofilik hücumu sonucunda, amin bileşığının açillendirilmesini takiben ayrılma ile tamamlanan kondenzasyon işlemiyle gerçekleşmektedir. Aşağıdaki örnek reaksiyonumuzla açıklanan kondenzasyonun mekanizmasında, reaktifteki azot atomunun ortaklanmamış elektron çifti ile yapacağı nükleofilik hücum için gereklili substrattaki pozitif merkez, substrat karboninde bulunan π elektronlarının oksijene kayması ile on taya çıkan mezomerik etkiyle sağlanmaktadır:



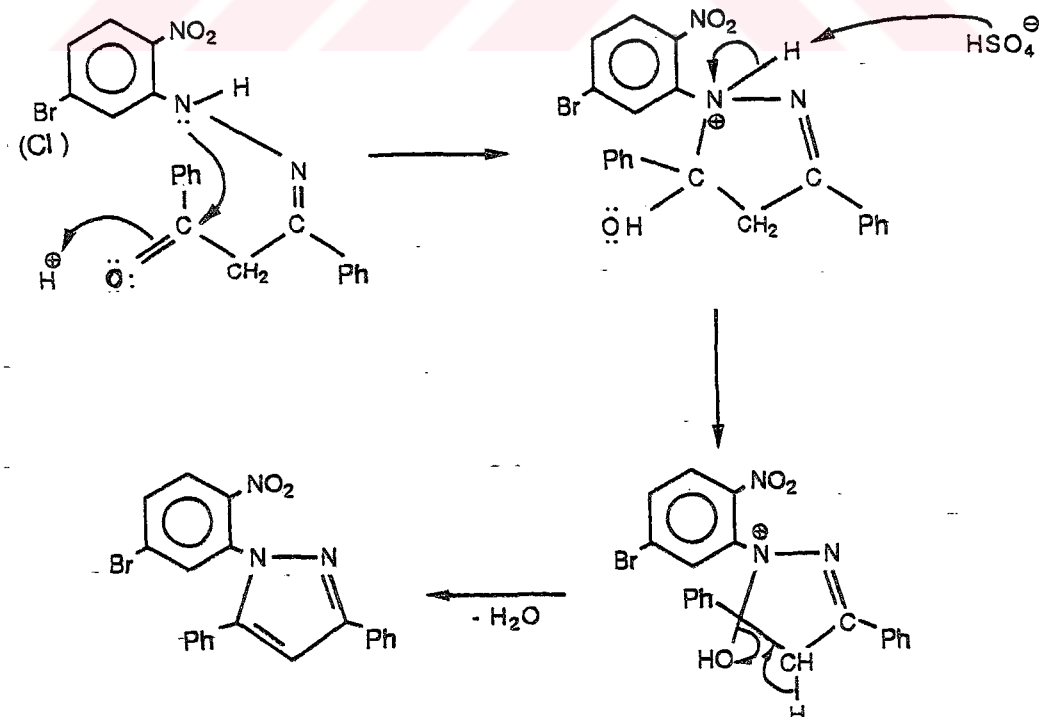
Her ne kadar reaksiyonlarımızda substrat olarak kullandığımız 1,3-dikarbonil bileşığında metil gruplarının induktif etkileri ve fenil gruplarının da mezomerik etkileri nedeniyle karbonildeki pozitif yükün lokalize olması engellenirse de β -dikarbonil bileşığının tautomerizasyonla oluşabilecek enol yapısı gözönüne alınacak olursa, bu durumda oluşacak çelatın da karbonil karbonuna nükleofilî kabul etmesi açısından yardımcı olabileceği düşünülmelidir.

Diger taraftan reaksiyonlarda kullanılan Reaktif 1 ve 2'deki deaktive edici NO_2 gruplarının reaktifin nükleofilik gücünü zayıflatılabileceği akla gelebilirse de formülden de görüleceği üzere mezomerik etki nükleofilik ucu kadar iletilememektedir. Ayrıca, meta konumundaki halojen atomları zayıfça deaktive edici olmakla beraber ortaklanmamış elektron çiftleriyle rezonansa katılarak bu etkiyi bir dereceye kadar zayıflatırlar:



Buna karşılık Reaktif 3'teki metil gruplarından özellikle 2-konumunda bulunan metilin induktif etkisi ve hatta bir dereceye kadar hiperkonjugasyon da reaktifin nükleofilik gücünde yardımcı olacaktır.

Reaksiyonun bundan sonraki aşaması, intramoleküler bir nükleofilik hücum üzerinden ilerleyen halka kapanmasını takiben dehidrasyon olup, kararlı yapıdaki beş üyeli heteroçiklik bileşığının meydana getirilmesidir.



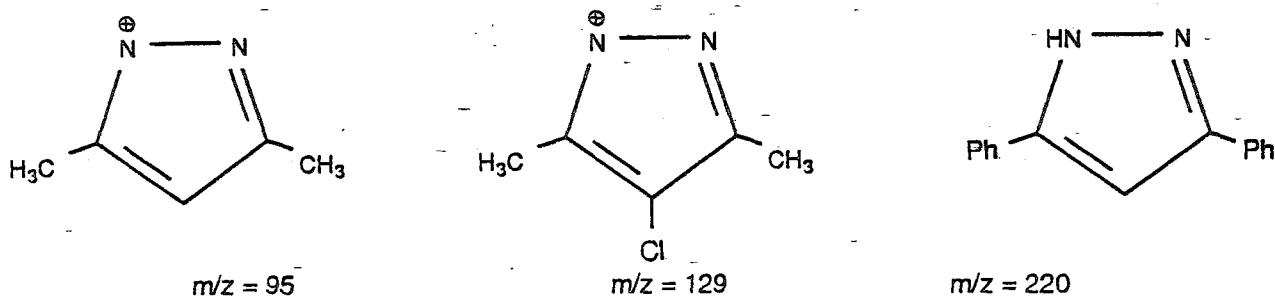
Doğal olarak gerek substrat ve gerekse reaktiflerde yer alan substituentlerin az önce bahsettiğimiz etkilerinin reaksiyonun bu aşamasında da ortaya çıkması beklenilmelidir. Nitekim karbonil karbonundaki pozitif yükün mezomerik ve nükleofilik etkilerle zayıflatıldığı Substrat A ve C'nin deaktive edici grupları içeren Reaktif 1 ve 2 ile olan halka kapanması reaksiyonlarında, halkaya komşu ve nükleofilik gücü zayıflatılmış durumda azot atomunu çekerilecek pozitif merkez asid katalizörü yardımıyla sağlanabilmektedir. Bu düşüncelerin ışığı altında yapılan pekçok sayıdaki deneme de her bir bileşik için optimum koşullar belirlenerek iyi bir verimle ürünlerin elde edilmesine çalışılmıştır.

Sentezlenen tüm bileşiklerin (sayfa 51, 57, 63, 70, 76, 82, 89, 95 ve 101) infrared spektrumları incelendiğinde aromatik $=\text{C}-\text{H}$ gerilimleri ve substitue halka düzlem dışı $\text{C}-\text{H}$ eğilim salınımıları kendileri için belirgin olan bölgelerde gözlenilmektedir. Reaksiyonlarda substrat olarak kullanılan A, B ve C bileşiklerinin (sayfa 26, 29 ve 32) spektrumlarında görüleceği üzere yaklaşık $1725-1600 \text{ cm}^{-1}$ arasındaki bölgede dikarbonil bileşikleri için son derece karakteristik olan $\text{C}=\text{O}$ gerilimleri bulunmaktadır. Diğer taraftan reaksiyonlarda nükleofil görevini üstlenen Reaktif 1, 2 ve 3'ün (sayfa 35, 40 ve 44) spektrumlarında $3400-3300$ ile $3300-3200 \text{ cm}^{-1}$ arasında asimetrik ve simetrik $\text{N}-\text{H}$ gerilimleri görülmektedir. Elde edilen her bir yeni bileşigin infrared spektrumu başlangıç maddelerinin spektrumları ile karşılaştırıldığında, fonksiyonel gruplara özgü absorpsiyon bandlarının kaybolmuş olmalarının yanısıra $1590-1540$ ve $1490-1470 \text{ cm}^{-1}$ arasında azot içeren heterohalkalı bileşikler için karakteristik olan konjuge $\text{C}=\text{C}$ ve $\text{C}=\text{N}$ gerilimlerinin ortaya çıkması reaksiyonların gerçekliğini göstermektedir. Ayrıca Reaktif 1 ve 2'den oluşturulan ürünlerde $1520-1515$ ve $1345-1335 \text{ cm}^{-1}$ de NO_2 grubuna ait asimetrik ve simetrik $\text{N}=\text{O}$ salınımıları ile $690-685 \text{ cm}^{-1}$ de $\text{C}-\text{Cl}$ ve $520-495 \text{ cm}^{-1}$ de $\text{C}-\text{Br}$ gerilimlerinin belirmesi, Reaktif 3'ün kullanıldığı reaksiyonlardan elde edilen ürünlerde de metil $\text{C}-\text{H}$ gerilimlerinin daha belirgin gözlenmesi önerilen bileşik yapılarını diğer verilerle birlikte desteklemektedir [20-25].

Elde edilen bileşikler, kloroform-D'de çözülmek TMS standartına göre ^1H nükleer manyetik rezonsans spektrumları alınmıştır. Reaksiyonlarda başlangıç maddesi olarak kullanılan Reaktif 1, 2 ve 3'ün ^1H NMR spektrumlarında (sayfa 36, 41 ve 45) yaygın birer singlet halinde görülen NH_2 ve NH piklerine bileşiklerin spektrumlarında rastlanmaması önerilen yapıların belirlenmesine yardımcı olmaktadır. Diğer taraftan substrat A ve B'den oluşturulan pirazol bileşiklerinin (A-1, A-2, A-3, B-1, B-2 ve B-3) 3- ve 5-konumlarındaki metil singletlerinin sırasıyla $1.96-2.15 \text{ ppm}$ ve $2.06-2.25 \text{ ppm}$ arasında görülmesi; ayrıca Reaktif 3'ün 2.33 ve 2.40 ppm 'deki $2-\text{CH}_3$ ve $4-\text{CH}_3$ singletlerinin sentezlenen Bileşik A-3, B-3 ve C-3'ün spektrumlarında da gözlenmesi yapıları desteklemektedir. Bütün bunlara ek olarak, spektrumların aşağı alanlarında $6.64-8.23 \text{ ppm}$ arasında aromatik proton rezonsansına ait çoklu pikler ile $6.69-5.94 \text{ ppm}$ arasında yer alan ve pirazol halkasının 4-konumundaki protona ait singletler ortaya çıkmaktadır. Gerek karakteristik sinyal grupları ve gerekse bütün bölgelerin kendilerine özgü integrasyonu sentezlenen ürünlerin yapılarının aydınlatılmasına yardımcı olmaktadır.

Bu yapılara kesinlik kazandırmak amacıyla yapılan kütle spektral analizlerinde (sayfa 53, 59, 65, 72, 78, 84, 91, 97 ve 103) her bir bileşik molekülünden bir elektronun kaybı ile meydana gelen ($\text{M:} \longrightarrow \text{M}^+ + \text{e}^-$) moleküller iyon pikinden sağlanan m/z oranları A-1, A-2, A-3, B-1, B-2, B-3, C-1, C-2 ve C-3 bileşikleri için sırayla 296, 251, 200, 330, 286, 234, 420, 375 ve 324 olup bileşiklerin molekül kütlesine eşit olan bu pikleri belirtmektedir. Ayrıca bileşiklerin spektrumlarında, içerdikleri element atomlarından ileriye ge-

len $M+1^{\pm}$ ve $M+2^{\pm}$ izotop pikleri de gözlenilmektedir. Bilindiği üzere [26], molekülde klorun ve bromun varlığı ve sayıları ^{37}Cl ve ^{81}Br izotoplarının $M+2$ ve $M+4$ piklerine katkıları ile anlaşılmaktadır. Nitekim A-2, B-3 ve C-2 bileşiklerinin spektrumundaki $M+2^{\pm} / M^{\pm}$ oranı sırası ile $3.5 / 10.5 = 1/3$, $34/100 \approx 1/3$ ve $14.5/44.1 \approx 1/3$ olup bu $1/3$ oranı moleküllerde bir-Cl atomunun bulunduğu; A-1 ve C-1 bileşiklerinde de yine sırasıyla $1.2/1.5 \approx 1/1$ ve $7.8/6.6 \approx 1/1$ olan oran her bir molekülde bir Br atomunun varlığını belirlemektedir. Diğer taraftan spektrumlardaki kütle yapısal parçalanmalar incelendiğinde, pirazol halkalarının oluşumunu belirleyen A-1, A-2 ve A-3 bileşikleri için $m/z = 95$ ile B-1, B-2 ve B-3 için $m/z = 129$ ve C-3 için $m/z = 220$ karakteristik parça-iyon piklerinin yanısıra ortaya



çıkan $\text{PhCH} = \text{NH}$ için $m/z = 105$ ve $\text{CH}_3\text{CH} = \text{NH}$ için $m/z = 43$ pikleri kaynak verilerle [21, 27, 26, 23, 22, 20] desteklenmektedir.

Bileşik yapılarının aydınlatılmasının son aşamasında, analitik saflıkta hazırlanan ürünlerin elementel analizleri yaptırılmıştır. Bileşikler için hesaplanan C, H ve N yüzdeleri bulunan analiz sonuçlarıyla tam bir uyum içinde olup yapılarına kesinlik kazandırmaktadır.

KAYNAKLAR

- [1] A.N.Kost and I.I. Grandberg "Progress in Pyrazole Chemistry" in "Advances in Heterocyclic Chemistry", A.R. Katritzky and A.J. Boulton, eds, Academic Press Inc., New York, 1966, p. 347-429.
- [2] C.Ribiere, H.Rouoch, R.Nordmann, J.Nordmann and J.Nordmann, *Chem. Abstr.*, **85**, 29119 m (1976)
- [3] L.K. Clay, W.D. Watkins, and R.C. Murphy, *Chem. Abstr.*, **87**, 47894f (1977).
- [4] D.Lester, W.Z. Keokosky and F.Feizenberg, *Chem. Abstr.*, **69**, 75290c (1968).
- [5] M.Reynier, H.Theorell and J.Sjovall, *Chem. Abstr.*, **71**, 67546s (1969).
- [6] A.Streitwieser, C.H. Heathcock and E.M. Kosower, "Introduction to Organic Chemistry", 4th., Macmillan Publishing Company, New York, 1992.
- [7] L.A. Paquette, "Principles of Modern Heterocyclic Chemistry", 3rd Ed., W.A. Benjamin Inc., Massachusetts, 1974, p. 183-221.
- [8] M.H. Palmer, "Heterocyclic Chemistry", E.Arnold Ltd, London, 1967, p. 364-385.
- [9] J.A. Joule and G.F. Smith, "Heterocyclic Chemistry", The Garden City Press Ltd., London, 1972, p. 129.
- [10] R.C.Weast, "CRC, Handbook of Chemistry and Physics", 58th Ed. CRC Press, Inc., Florida, 1978.
- [11] A.L. Ternay, Jr., "Contemporary Organic Chemistry", 2nd, Ed., W.B. Saunders Company, Philadelphia, 1979, p. 765.
- [12] C.J. Pouchert, "The Aldrich Library of NMR Spectra", 2nd Ed., Aldrich Chemical Company Inc., USA, 1983.
- [13] "Aldrich Catalog Handbook of Fine Chemicals", Aldrich Chemical Company, Inc., Milwaukee, 1992-93.
- [14] "Merck Reagents, Diagnostics, Chemicals Catalog", E.Merck, Frankfurt, 1992-93.
- [15] C.J. Pouchert, "The Aldrich Library of IR Spectra", 2nd Ed., Aldrich Chemical Company, Inc., USA, 1975.
- [16] a) B.S. Furniss, A.J. Hannaford, V.Rogers, P.W.G. Smith and A.R. Tatchell, "Vogel's Textbook of Practical Organic Chemistry", 4th Ed., Longman Group Ltd., London, 1986, p. 633; b) ibid, p. 662; c) ibid, p. 699.
- [17] A.Laubenheimer, *Chem. Ber.* **9**, 760 (1876).

- [18] L.Maaskant, *Recl. Trav. Chim. Pay B.* **56**, 223 (1937).
- [19] a) E.Aydemir, "Heterohalkalı Karboksaldehid Türevleri", Yüksek Lisans Tezi, Y.T.Ü. Fen Bilimleri Enstitüsü, 1992, p. 60; b) ibid, p. 54.
- [20] V.M.Parikh, "Absorption Spectroscopy of Organic Molecules", Addison-Wesley Publishing Company, California, 1974.
- [21] R.M.Silverstein, G.C. Bassler, and T.C. Morril, "Spectrometric Identification of Organic Compounds", John Wiley and Sons. Inc., New York, 1981.
- [22] D.L.Pavia, G.M.Lampman and G.S.Kria, Jr., "Introduction to Spectroscopy", W.B.Saunders Company, Philadelphia, 1974.
- [23] D.H. Williams and I.Fleming, "Spectroscopic Methods in Organic Chemistry", 4th Ed., McGraw-Hill Book Company, 1987.
- [24] J.R.Dyer, "Applications of Absorption Spectroscopy of Organic Compounds", Prentice-Hall, Inc., London, 1965.
- [25] S.F.Dyke, A.J.Floyd, M.Sainsbury and R.S.Theobald, "Organic Spectroscopy", Longman Group Ltd., London, 1978.
- [26] F.W.Mc Lafferty, "Interpretation of Mass Spectra", W.A. Benjamin Inc., New York, 1980.
- [27] H.Budzikiewicz, C.Djerassi and D.H.Williams, "Interpretation of Mass Spectra of Organic Compounds", Holden Day, San Francisco, 1964.

TEŞEKKÜR

Bu tezi hazırlarken çalışmaların planlanması, uygulanmasını yönlendiren; değerlendirmesini sağlayan ve desteklerini esirgemeyen değerli hocalarım Y. Doç. Dr. Yıldız BAL ve Prof. Dr. Şeniz KABAN'a sonsuz saygı ve şükranları sunarım.

Ayrıca, bileşiklerin yapılarının aydınlatılmasında yararlanılan elementel analiz sonuçları ile nükleer manyetik rezonans ve kütle spektrumlarının çekilmesini sağlayan İstanbul Boğaziçi Üniversitesi'nden Prof.Dr. S. Küsefoğlu'na, Almanya - Regensburg Üniversitesi'nden Prof. Dr. A.Mannschreck'e, Eskişehir Anadolu Üniversitesi'nden Prof. Dr. H. C. Baßer'e, TÜBİTAK Marmara Araştırma Merkezi'ne; Kristal fotoğraflarının alınmasını gerçekleştiren İstanbul Üniversitesi'nden Prof. Dr. B. Aytuğ'a ve emeği geçen tüm meslektaş ve arkadaşlarımı teşekkürü bir borç bilirim.

T.C. VİZE
DÜZENLEME İSTANBUL İL MÜDÜRLÜĞÜ

ÖZGEÇMİŞ

1963 yılında İran'ın Gonbad kentinde doğdum. İlk, orta ve lise eğitimimi doğduğum kentin çeşitli okullarında yaptıktan sonra lisenin son sınıfını Tahran Azadegan Lisesi'nde tamamladım. Aralık 1984'de Türkiye'ye geldim. 1985 yılında Yıldız Üniversitesi Fen-Edebiyat Fakültesi Kimya Bölümü'nü kazandıktan sonra 1986 yılında bu bölümde yüksek öğrenimime başlayarak 1990 yılında mezun oldum. Y.T.Ü. Fen Bilimleri Enstitüsü Yüksek Lisans programındaki öğrenimime 1991 yılında Kimya Anabilim Dalı Organik Kimya Bilim Dalında başladım.